



Jaarboek van het mijnwezen in Nederlandsch-Oost-Indië

<https://hdl.handle.net/1874/222271>

J A A R B O E K

VAN HET

M I J N W E Z E N

IN

NEDERLANDSCH OOST-INDIË.

ZEVEN EN DERTIGSTE JAARGANG

1908.

WETENSCHAPPELIJK GEDEELTE.

ATLAS

BEVATTENDE:

KAART N^o. I KAART VAN HET OOSTELIJKE GEDEELTE VAN DEN NEDERLANDSCH-INDISCHEN ARCHIPEL, Schaal 1 : 3.000.000.

KAART N^o. II. GEOLOGISCHE SCHETSKAART VAN HET OOSTELIJKE GEDEELTE VAN DEN NEDERLANDSCH-INDISCHEN ARCHIPEL, Schaal 1 : 3.000.000.

ACHTTIEN BIJLAGE-BLADEN (N^o. I—XVIII), bevattende de teekeningen en profielen Fig. 1—517.

BATAVIA
LANDSDRUKKERIJ
1908.

UBU

LIGK

9194

BIBLIOTHEEK UNIVERSITEIT UTRECHT

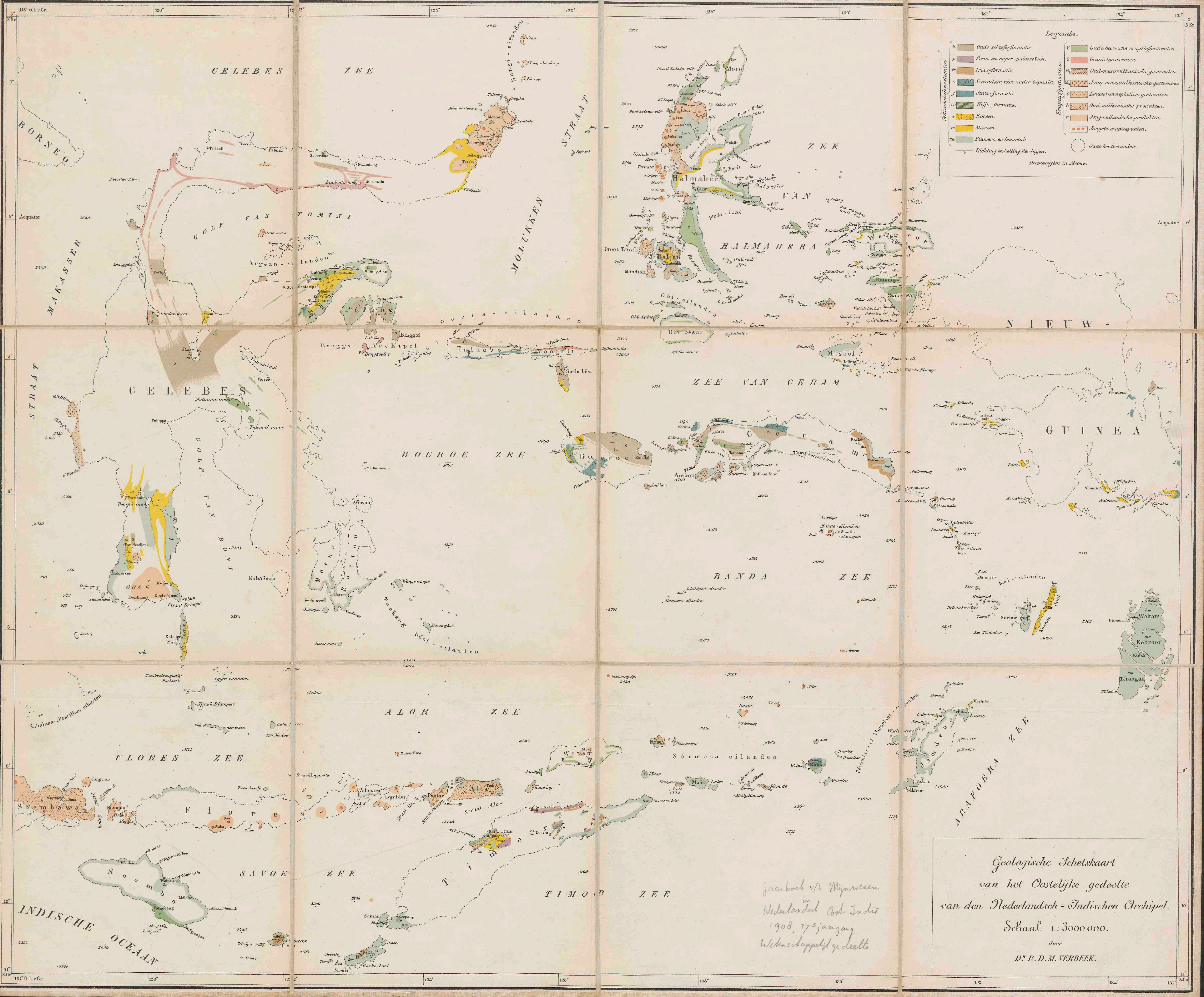


3155 728 7



Kaart van het Oostelijke gedeelte van den
Nederlandsch-Indischen Archipel.
Schaal 1:3000 000.
Reisroute van D^r. Verbeek in 1899.

0-200 Meter diepte.
200-1000 „ „
meer dan 1000 Meter diepte.
Dieptecijfers in Meter.



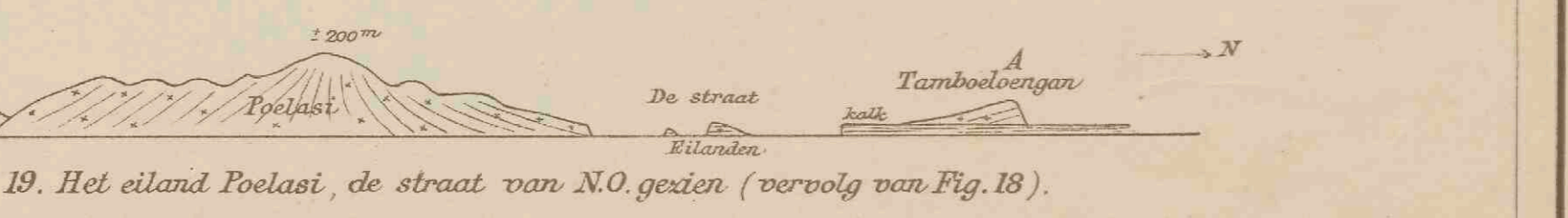
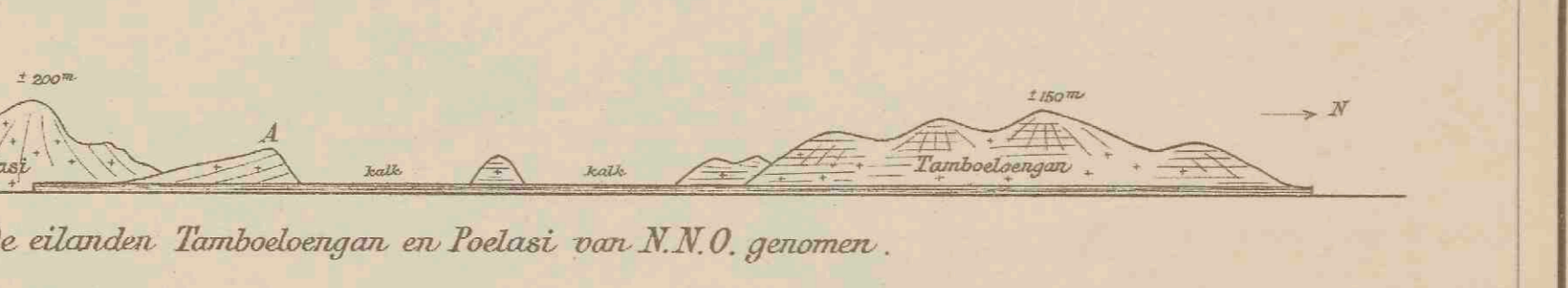
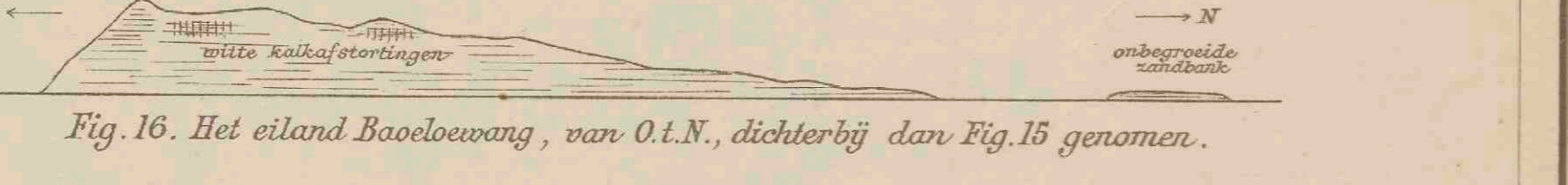
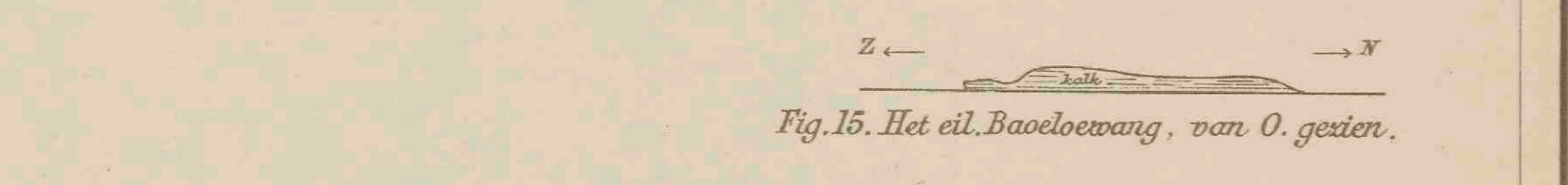
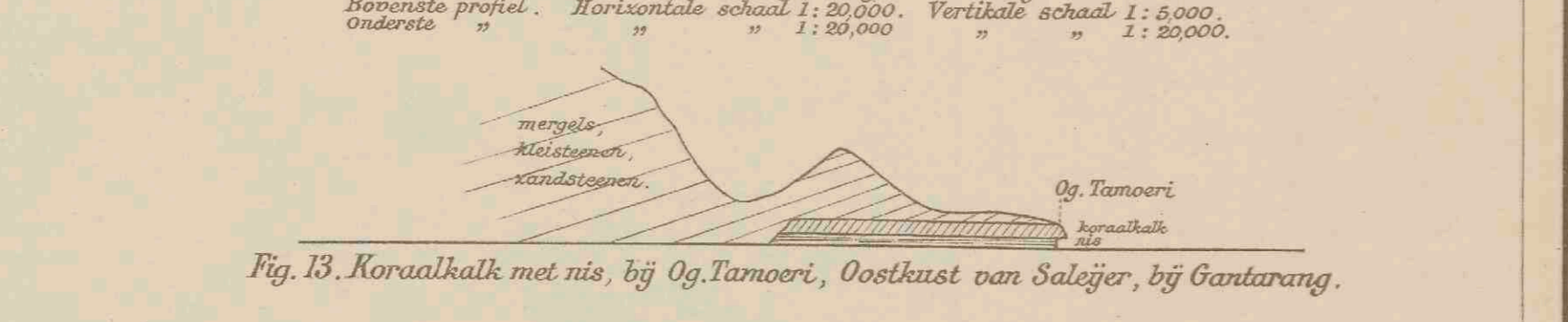
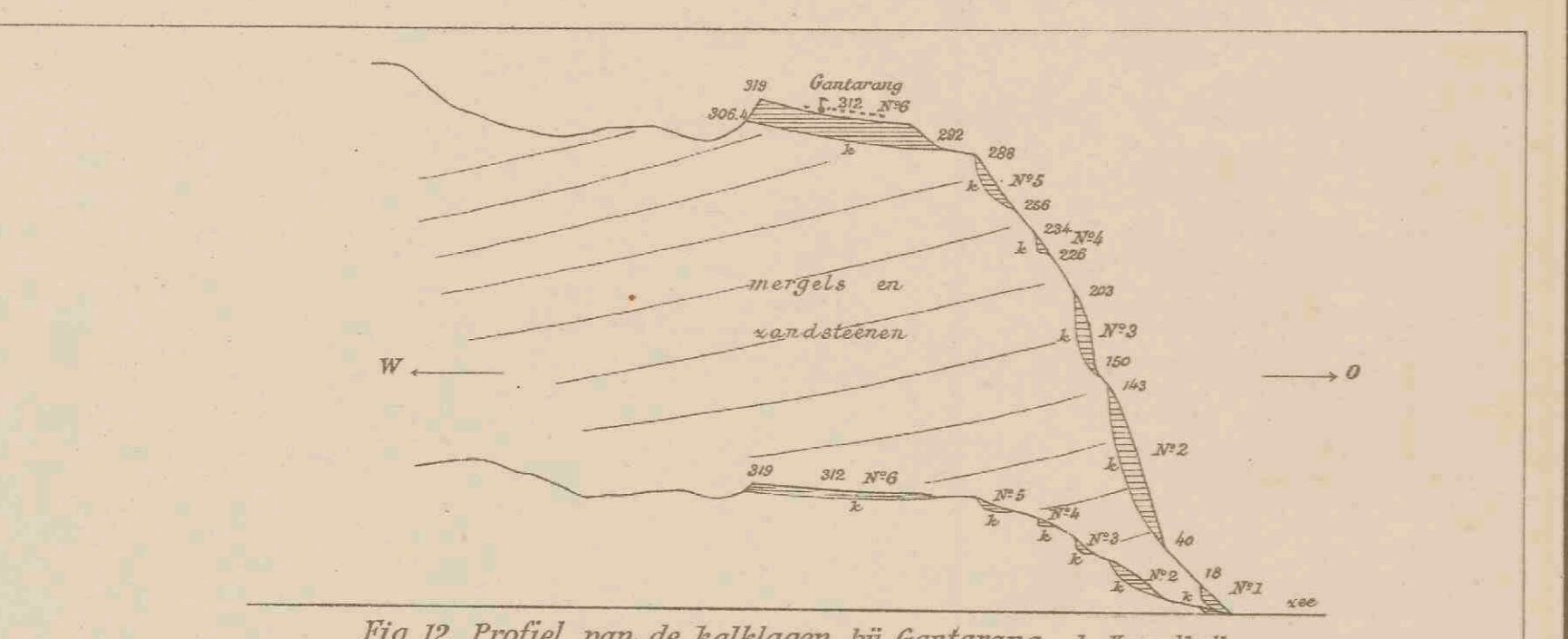
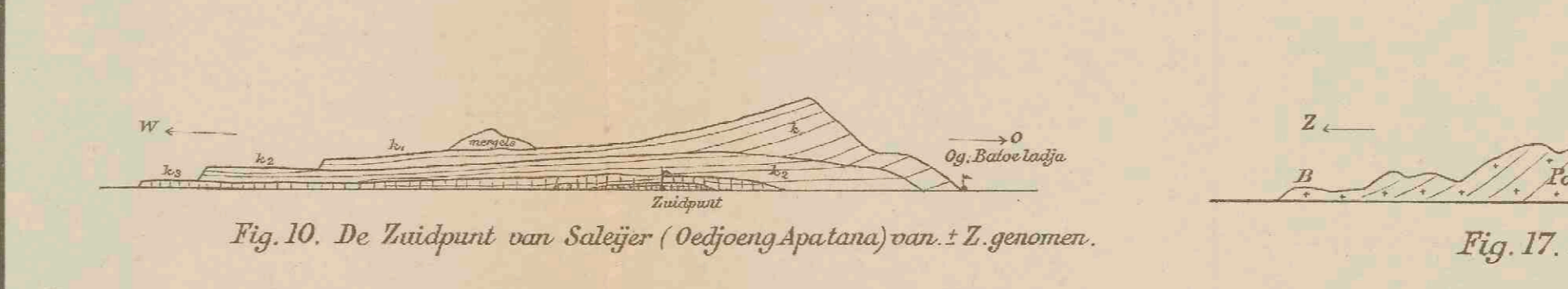
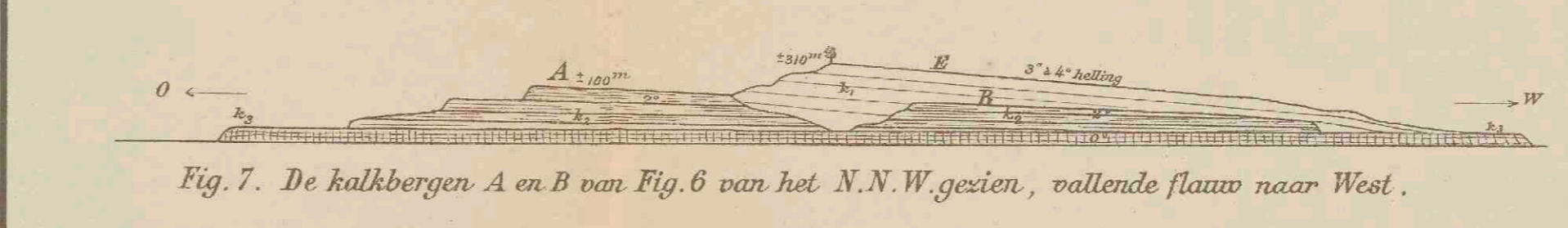
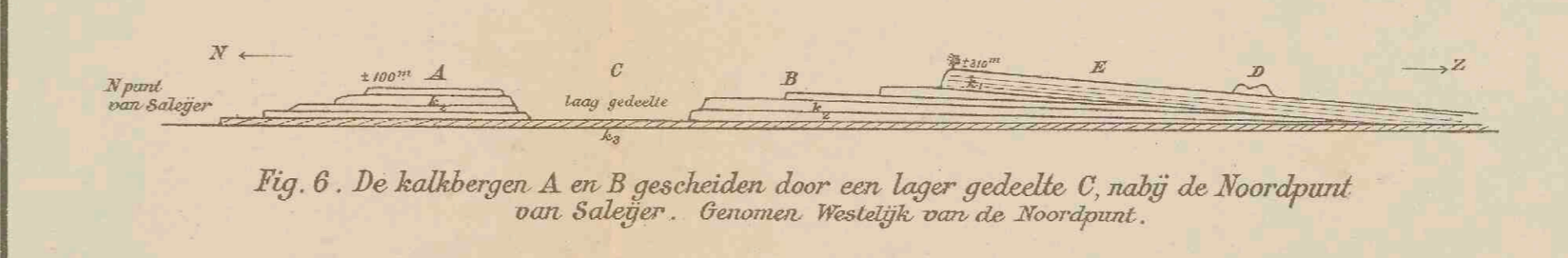
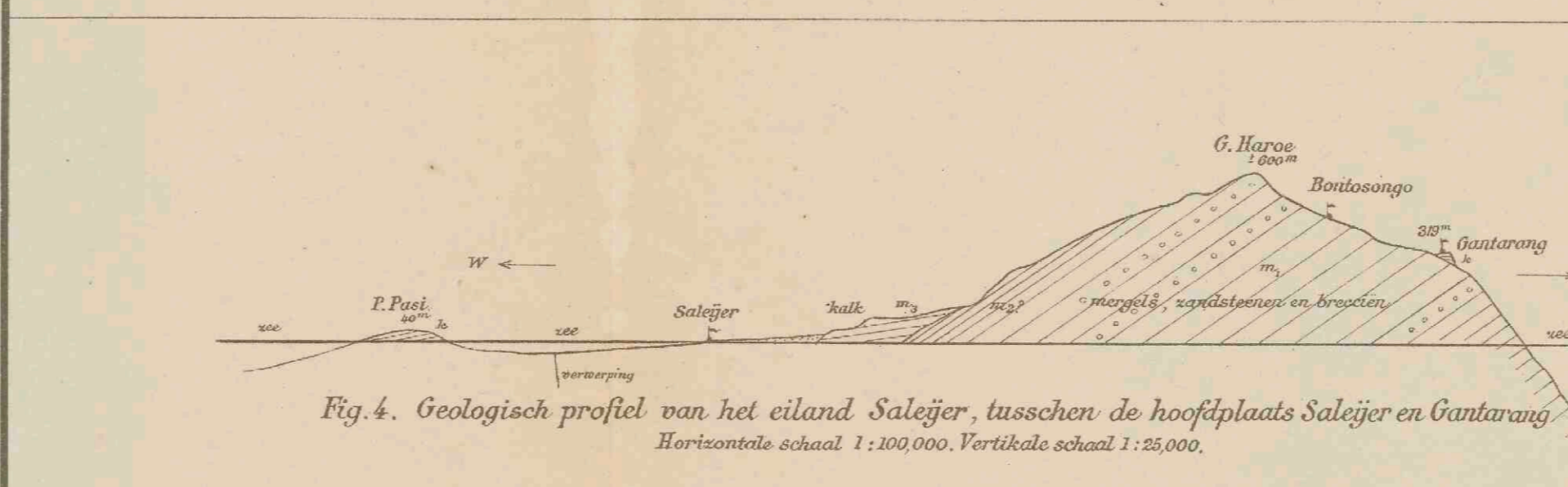
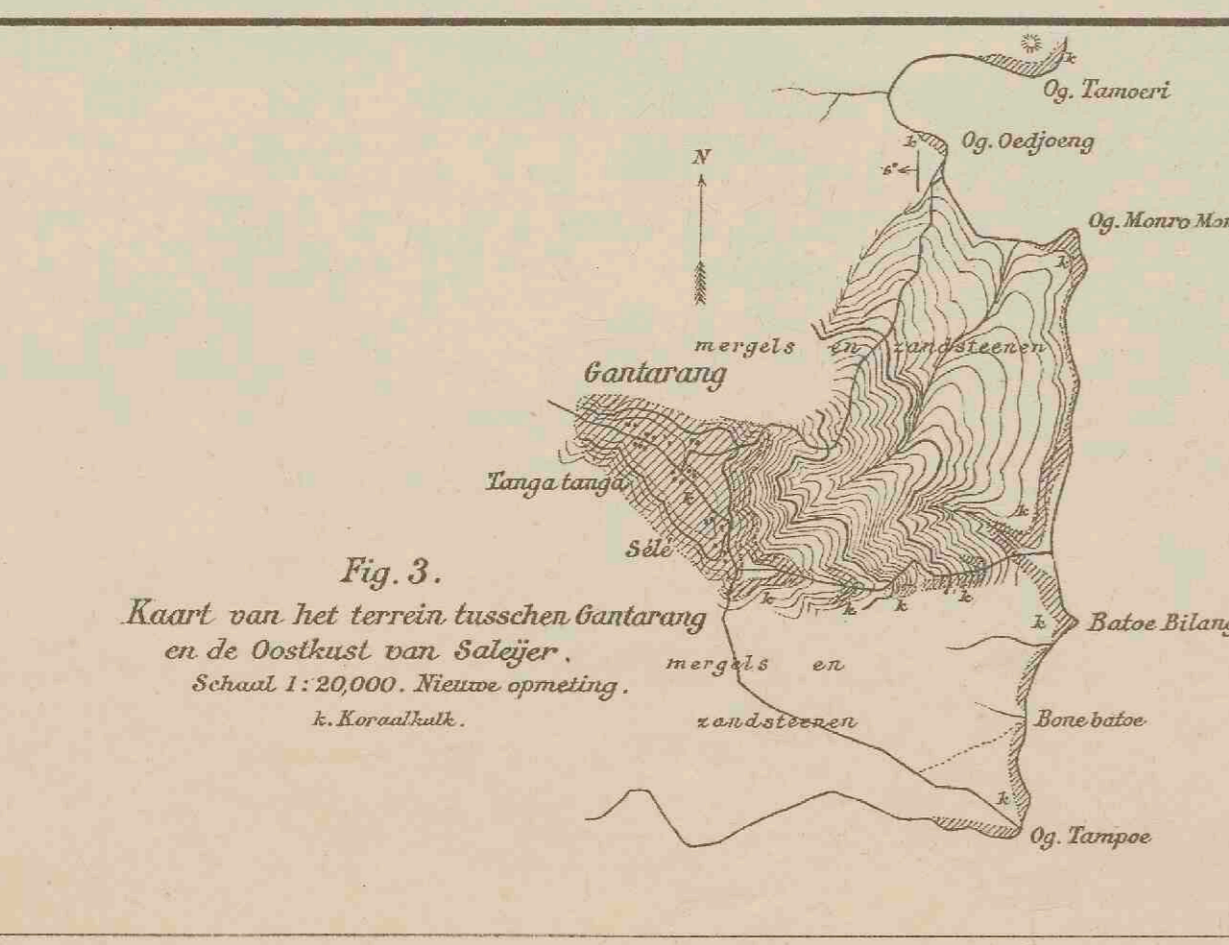
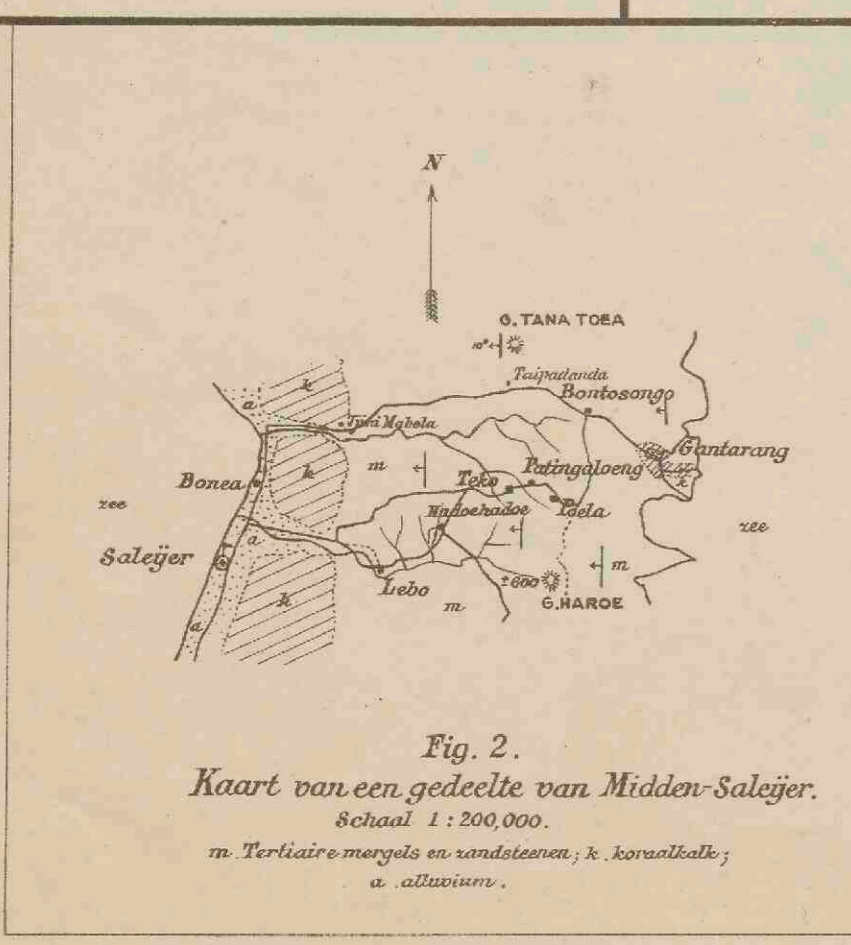
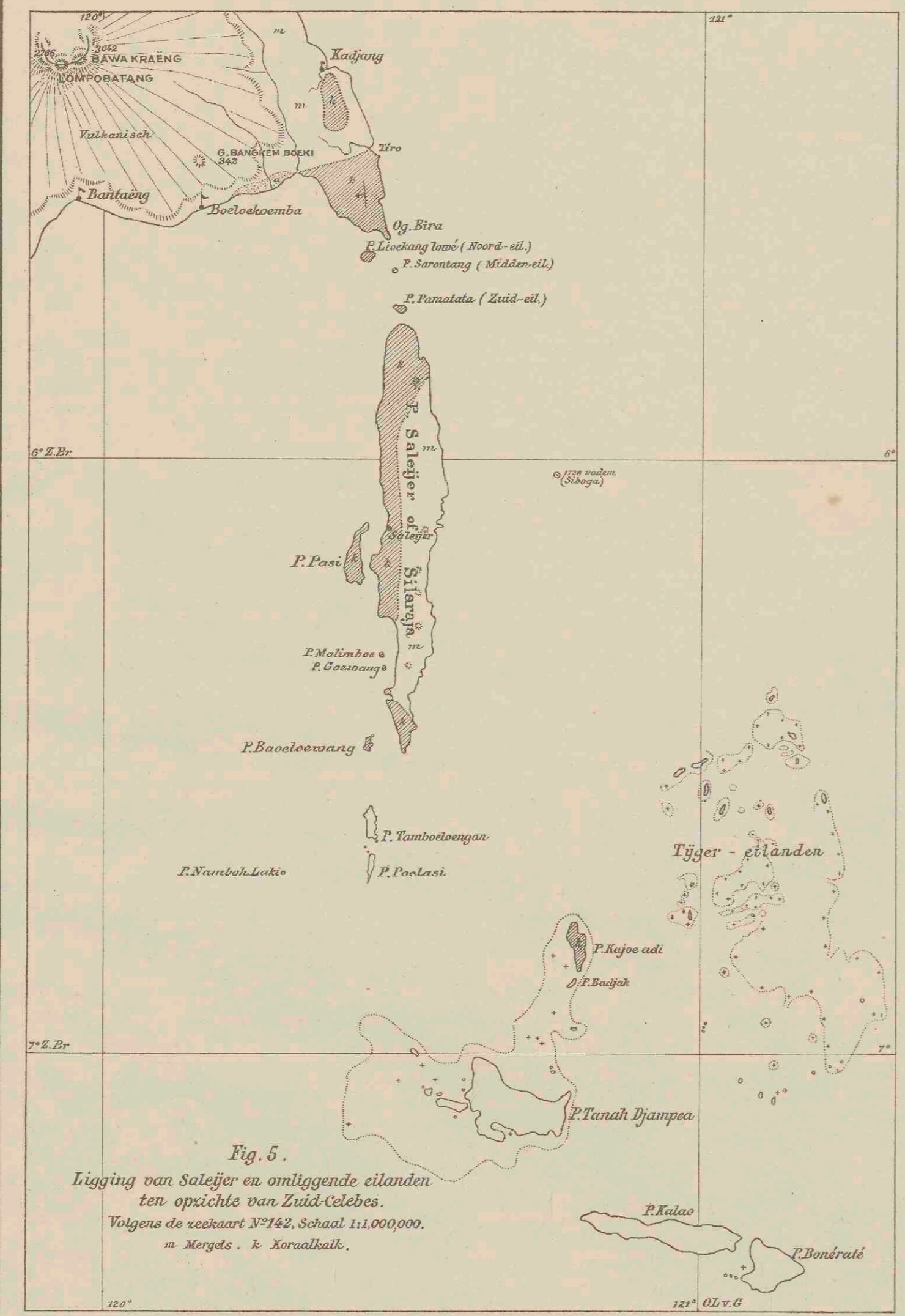
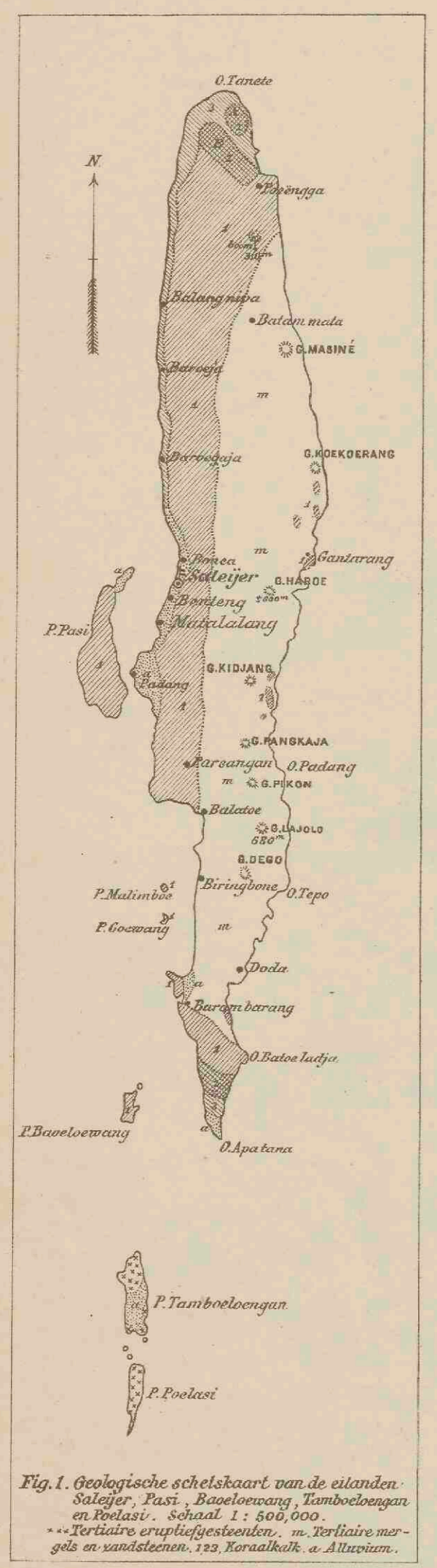
Legenda.

S	Oude schieferformatie.	F	Oude basische eruptiegesteenten.
P	Pern. en opper-paleocöen.	G	Granietgesteenten.
T	Trias-formatie.	M	Oud-mesozoïsche gesteenten.
U	Secundair, niet nader bepaald.	L	Jong-mesozoïsche gesteenten.
J	Jura-formatie.	H	Leuciet-en-nephelien-gesteenten.
K	Krijt-formatie.	V	Oud-vulkanische producten.
E	Eocöen.	W	Jong-vulkanische producten.
M	Mioocöen.	○	Jongste eruptiepunten.
km	Pliocöen en kwartaair.	○	Oude kratervanden.
—	Richting en helling der lagen.		

Dieptecijfers in Meters.

Jaarboek v/h Mijnwezen
 in
 Nederlandisch Oost-Indië
 1908, 37^e jaargang
 Wetenschappelijk gedeelte

*Geologische Schetskaart
 van het Oostelijke gedeelte
 van den Nederlandsch-Indischen Archipel.
 Schaal 1:3000000.
 door
 D^r. R. D. M. VERBEEK.*



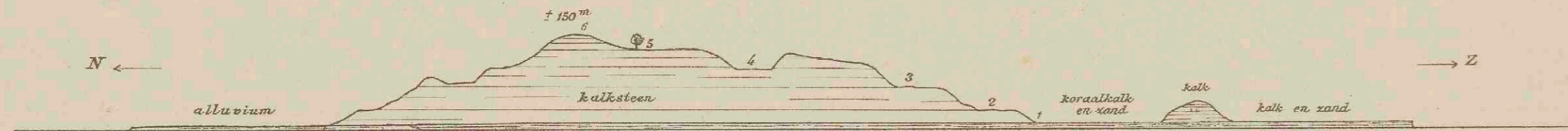


Fig. 21. Het eiland Kajoe adi, van W.N.W. ¾ W. gezien.



Fig. 22. Het eiland Tanah Djampéa, flauw gezien van bewesten Kajoe adi (ongeveer van Noord).

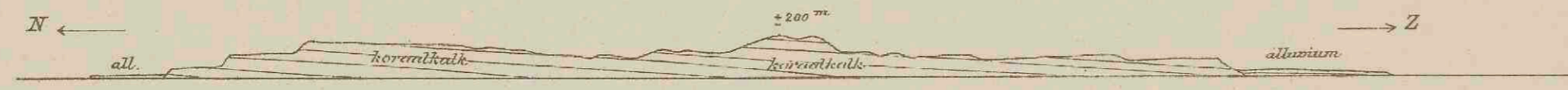


Fig. 23. Het eiland Wangi wangi, ten O. van den Oosthoek van Boeton gelegen; gezien van het Westen.

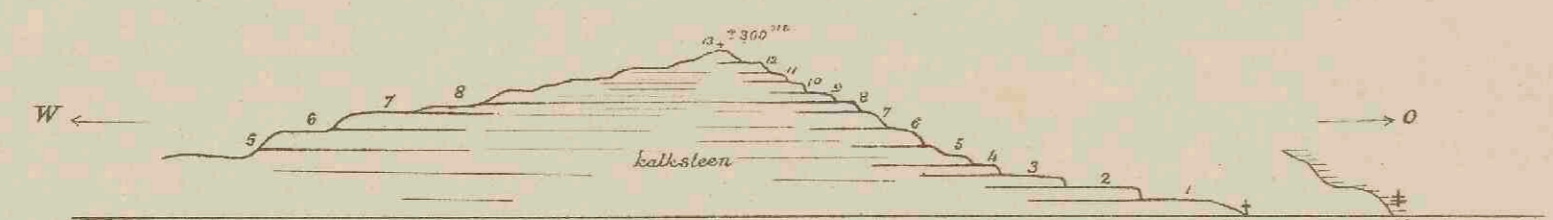


Fig. 25. De hoek Wapolaka (Zuidkust van Boeton) van het Zuiden gezien, met 13 kalkterrassen.

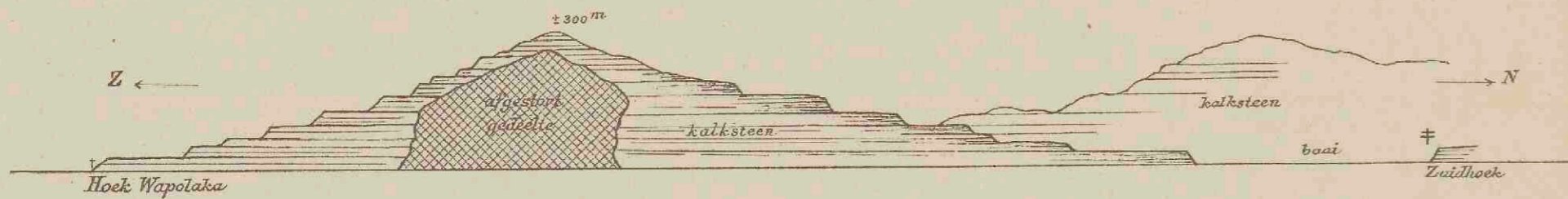


Fig. 26. De hoek Wapolaka, van Z.O. gezien, met het afgestorte gedeelte.



Fig. 27. Het eiland Siempoe bij Boeton, van het Zuiden genomen, tamelijk dichtbij.

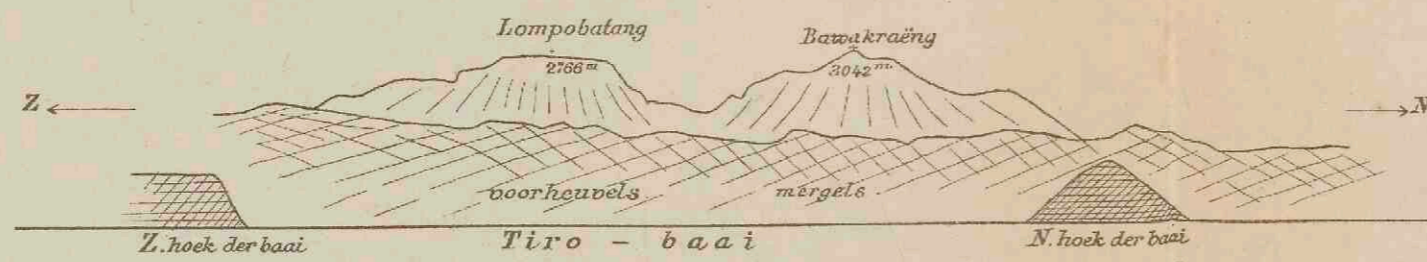


Fig. 35. De vulkaan van Bantaeng (Bonthain), met de twee toppen Lombabatang en Bawa kraeng, genomen van de Tiro-baai, de eerste top van O. ½ Z., de laatste van O. ¼ Z.



Fig. 43. Poeloe Sangean (bij Soembawa) van Z. gezien.

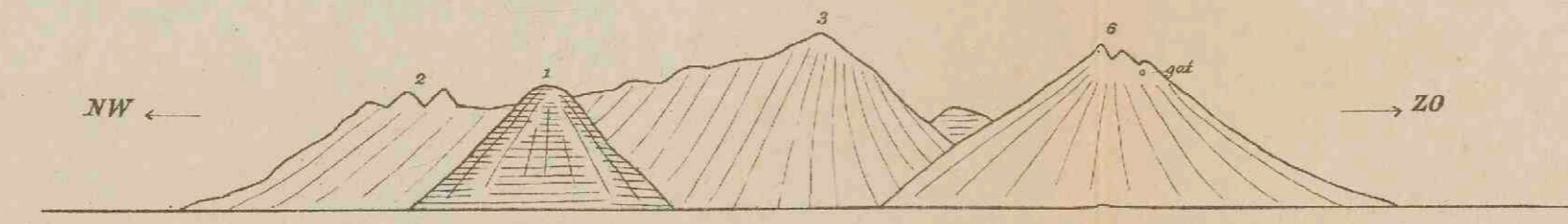


Fig. 44. Poeloe Sangean, van Z.W. gezien.

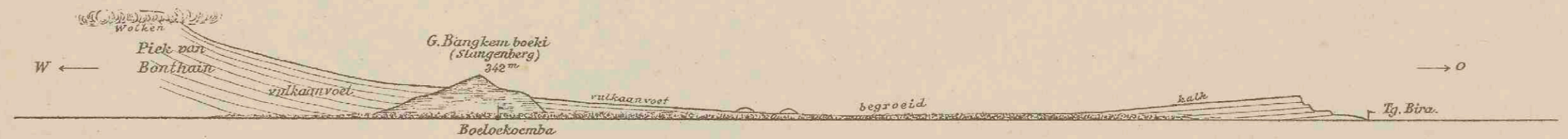


Fig. 28. De Zuidkust van Celebes, gezien van de reede van Boeloekoemba (van Z.); van de piek van Bonthain tot aan Tandjoeng Bira.



Fig. 29. Het kalkgebergte bij Tj. Bira, met Noord-eiland en Midden-eiland op den voorgrond, genomen van Z., bij Zuid-eiland.



Fig. 30. Het kalkgebergte bij Tj. Bira, dichtbij Tj. Bira van Z.Z.O. gezien.

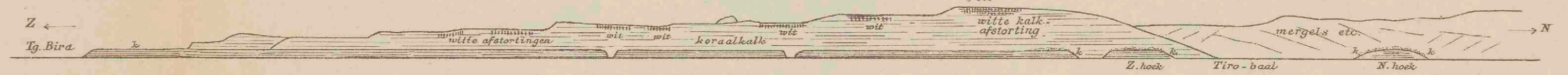


Fig. 31. Het kalkgebergte van Tj. Bira tot aan de Tiro-baai, genomen van O., uit de baai van Bont.



Fig. 32. Zadel in mergels en conglomeraten, aan de kust te Kadjang, gezien van de reede van Kadjang.

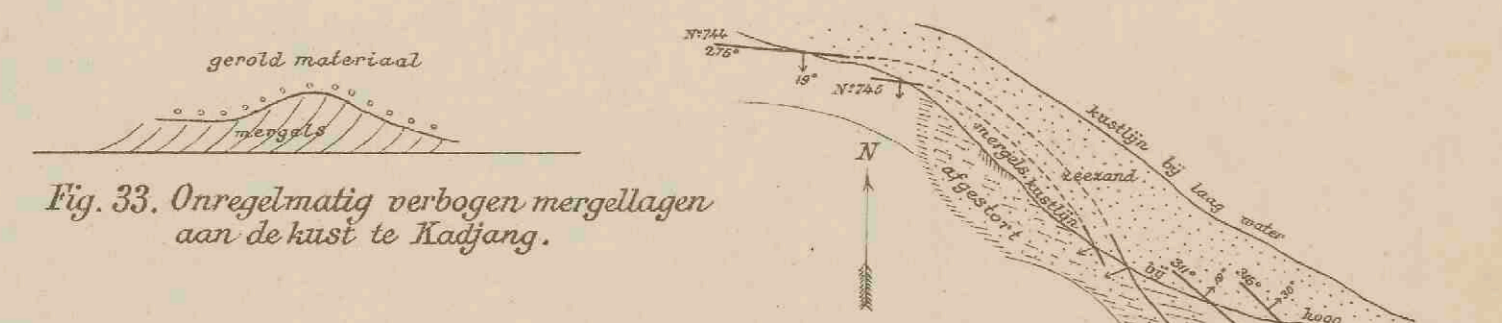


Fig. 33. Onregelmatig verbogen mergellagen aan de kust te Kadjang.

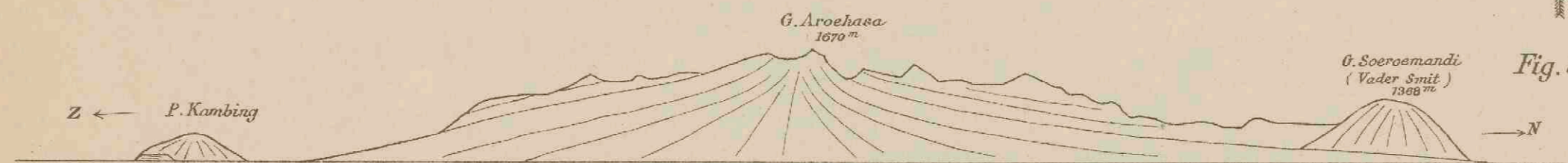


Fig. 37. De Westzijde van de baai van Bima, van O. gezien.



Fig. 38. De baai van Bima, van Z. naar N. gezien, met de twee vulkaanhellingen a en b, en den berg Vader Smit.

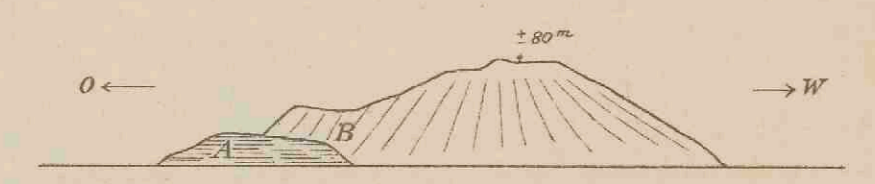


Fig. 39. Poeloe Kambing IV bij Bima, van N.N.O. gezien.

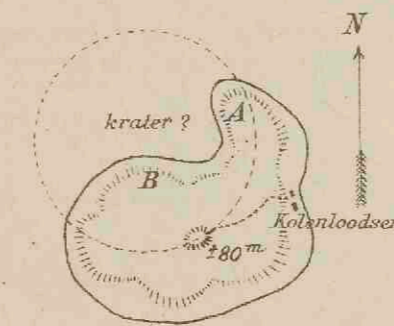


Fig. 40. Poeloe Kambing IV bij Bima. Schets.

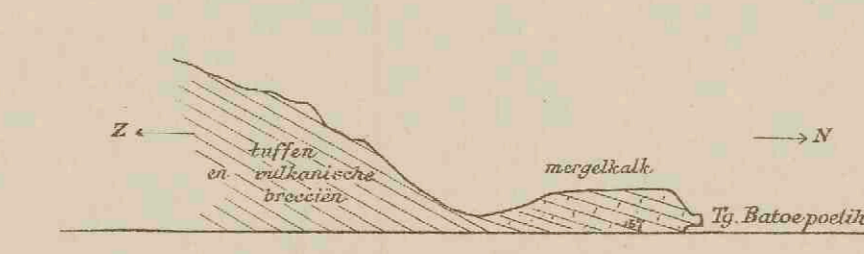


Fig. 41. Ligging van witte mergelkalk op tuffen, aan den ingang der baai van Bima, bij Tj. Batoe poeth.

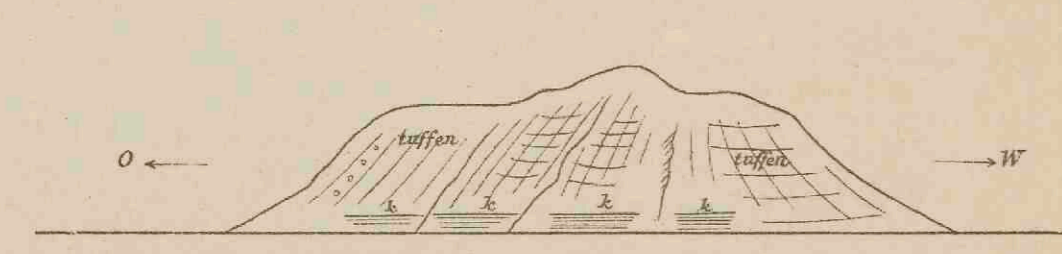


Fig. 42. Koralkalk op tuffen, 10 tot 12 meter boven zee, aan de Noordkust van Soembawa, beoosten Tj. Batoe poeth, van N. gezien.



Fig. 45. Schematische doorsnede door de vlakke Makassar-Maros-Panghaljéne en het aangrenzend gebergte, van W. naar O.

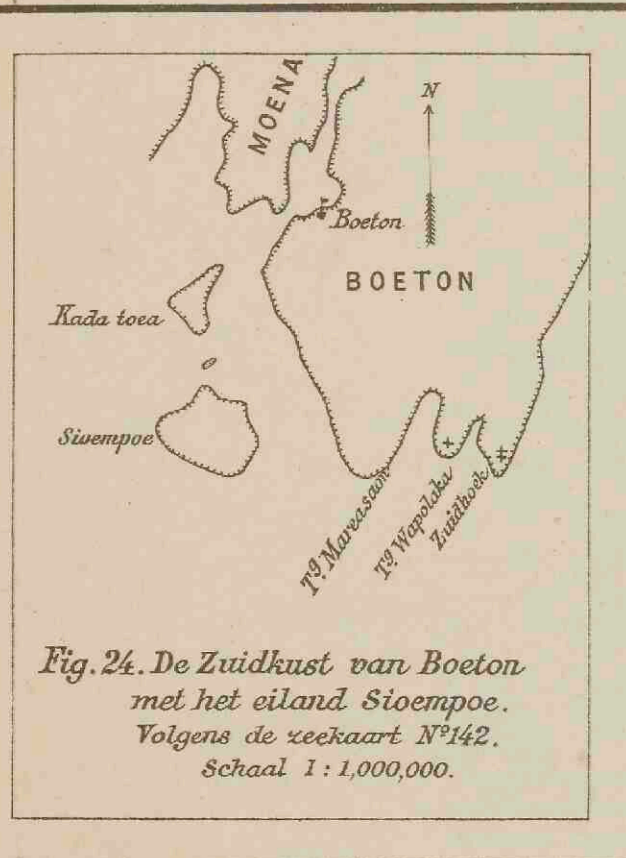


Fig. 24. De Zuidkust van Boeton met het eiland Siempoe. Volgens de reekaart N°142. Schaal 1:1,000,000.

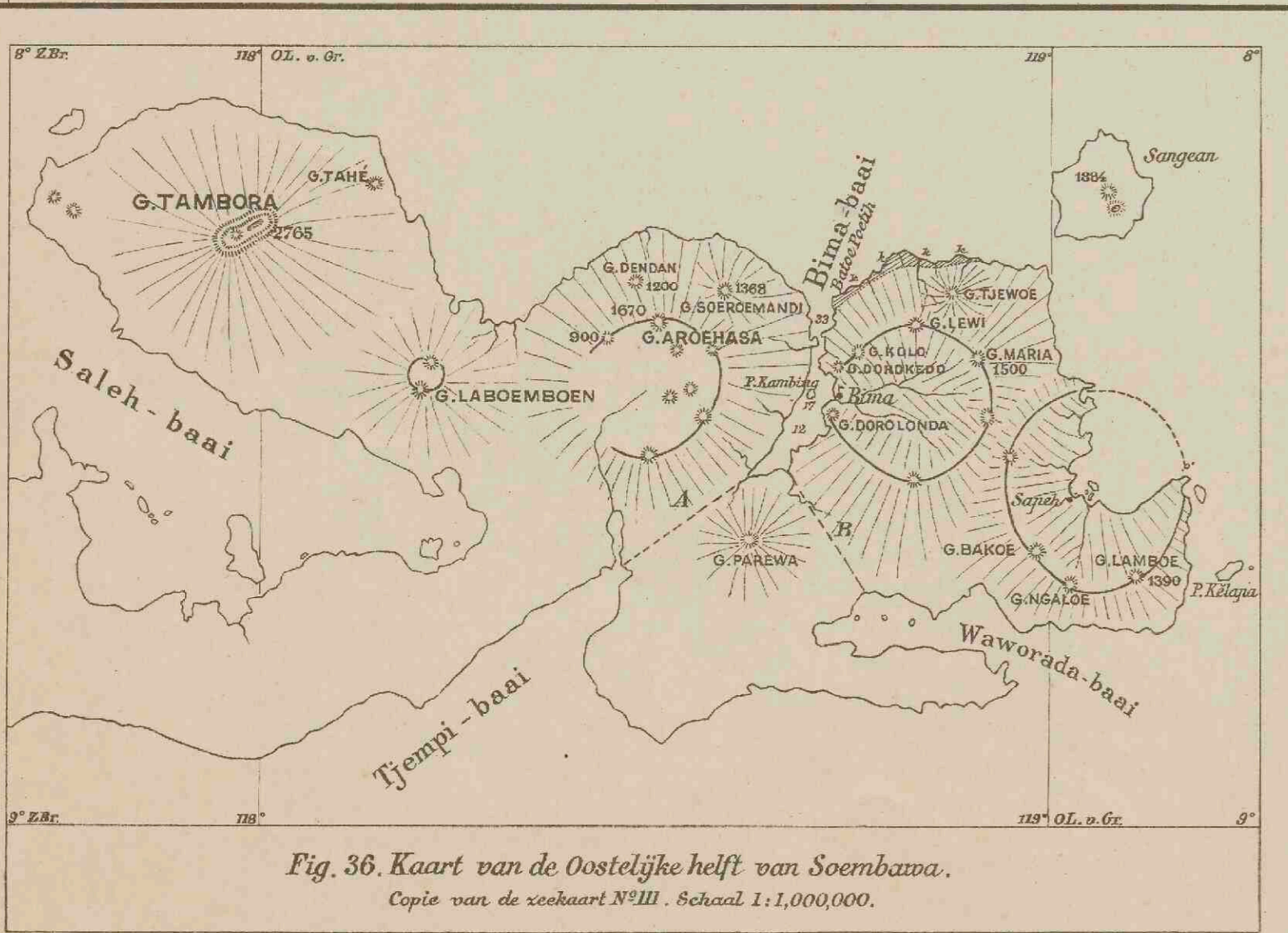


Fig. 36. Kaart van de Oostelijke helft van Soembawa. Copie van de reekaart N°III. Schaal 1:1,000,000.

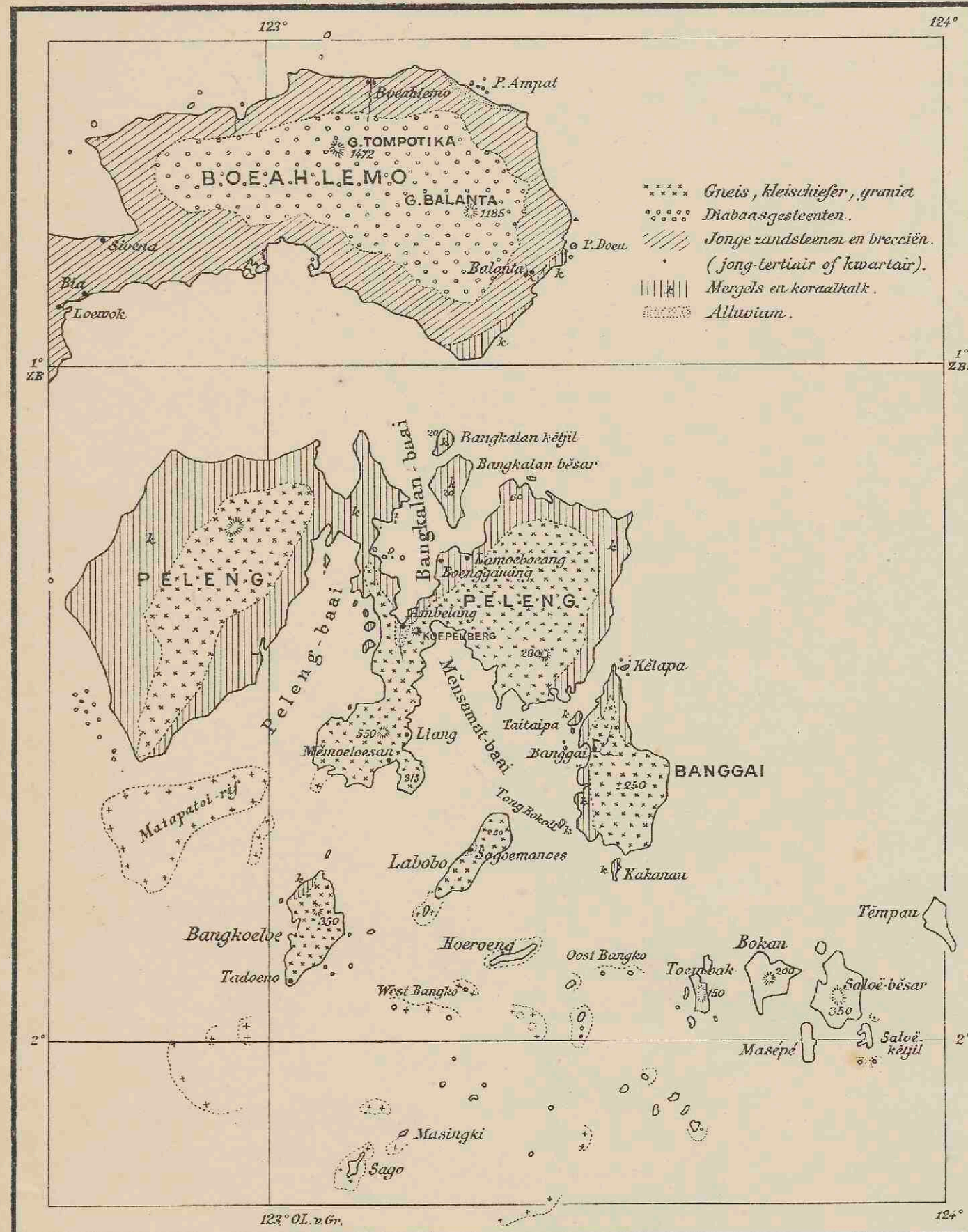


Fig. 46. Geologische schetskaart van den Banggai-archipel. Volgens de reekkaart N° 141. Schaal 1:1000000.



Fig. 47. Het eiland Peleng, van het Noorden gezien.

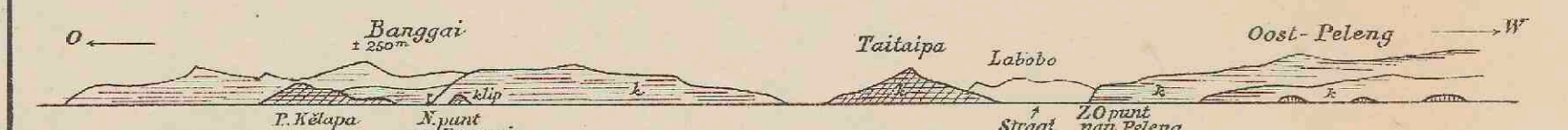


Fig. 48. Het eiland Banggai, van het Noorden gezien.

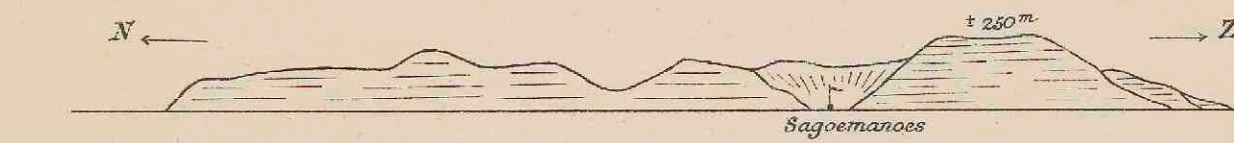


Fig. 49. Het eiland Labobo, van N.W. gezien.

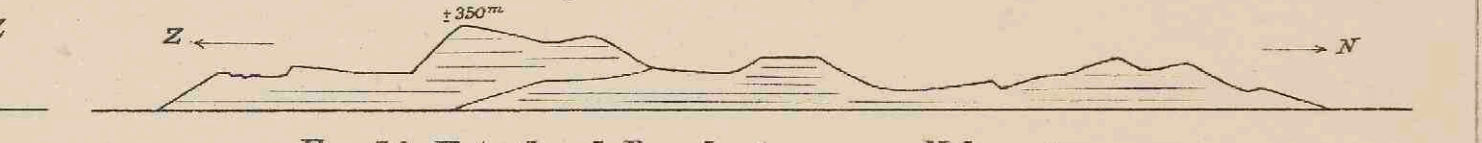


Fig. 50. Het eiland Bangkoeloe, van N.O. gezien.



Fig. 52. De Noordkust van Taliabo, van N. gezien.



Fig. 54. De Oostzijde van het eiland Soela-besi, van N.O. gezien.

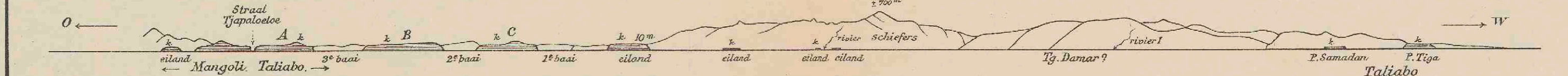


Fig. 53. De Noordkust van Mangoli en van Lifamatolla, van N. gezien. (Vervolg van Fig. 52).



Fig. 55. Jong-tertiaire formatie in het Z.W. gedeelte van Soela-besi, met een dun koollaagje. Profiel.



Fig. 56. Het eiland Obi-bisa, gezien van W.N.W.



Fig. 57. Het eiland Tapat (Obi-groep), gezien van O.



Fig. 58. Het Westelijke gedeelte van Obi-besar, met Obi-latoe en Belang-belang, genomen van Straat Tapat, dus van het Noorden.

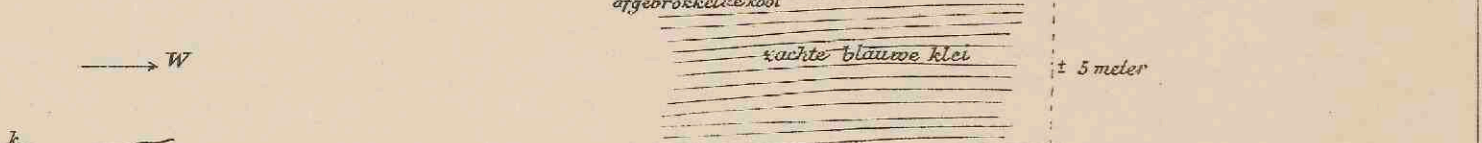


Fig. 84. Het eiland Mandioli (Batjan-groep), gezien van het Zuiden, bij P. Tapat (Obi-eilanden).

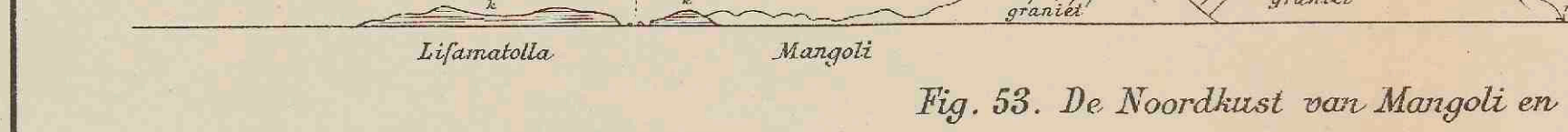


Fig. 59. Het Oostelijke gedeelte van Obi-besar, gezien van het Noorden, bij de Oostpunt van Obi-bisa.

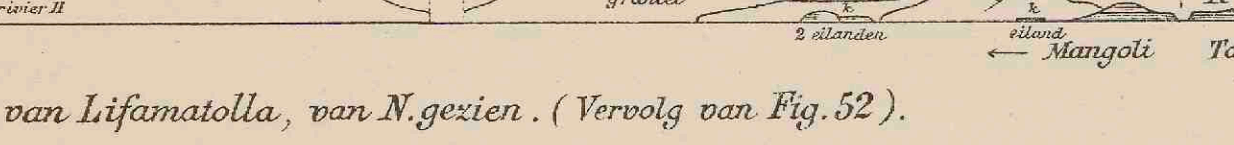


Fig. 80. Het eiland Salalamo in Straat Patientie, met de eilanden Salalaji en Profjo (Lari) van N.W. gezien.



Fig. 76. Het eiland Woka (Groot Oelmuiden) van N.

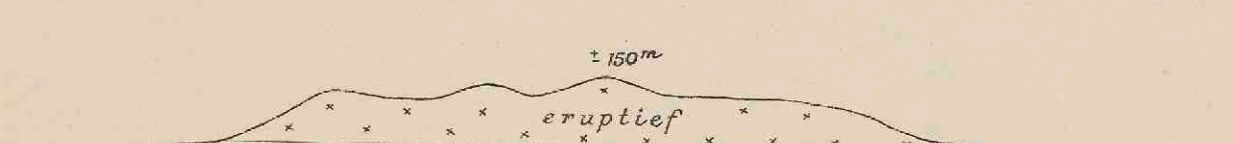


Fig. 81. Kaart van de eilanden in Straat Patientie. Schaal 1:500000.

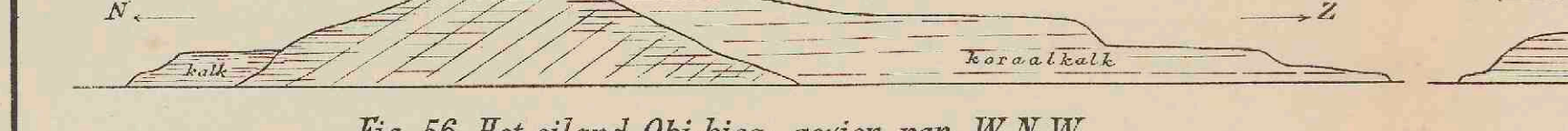


Fig. 75. Bazaltberg, aan de Westzijde van Djeronga.

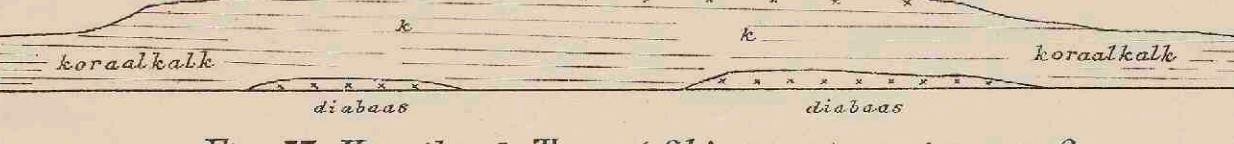


Fig. 82. Afwisseling van eruptieve lagen met schieferige gesteenten, aan de N.W. punt van het eiland Salalaji.



Fig. 71. Poeloe Pisang, van Z.O.



Fig. 72. Poeloe Pisang, van O.Z.O.

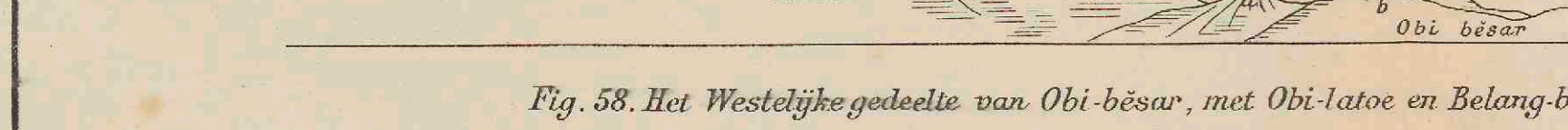


Fig. 73. Poeloe Pisang, van N.N.W.

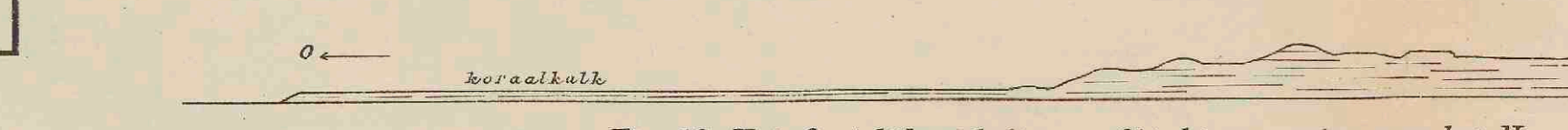


Fig. 74. De Salo-groep, ten Z. van Halmahera. Schaal 1:500000. * * * basalt. // // koraalkalk.



Fig. 77. Poeloe Woka van Z. verder genomen dan bij Fig. 76.

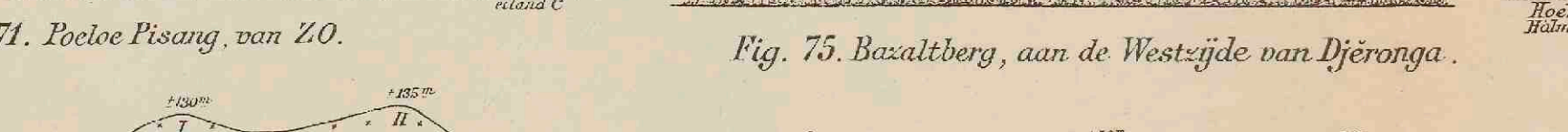


Fig. 78. Schetskaartje van Poeloe Woka.

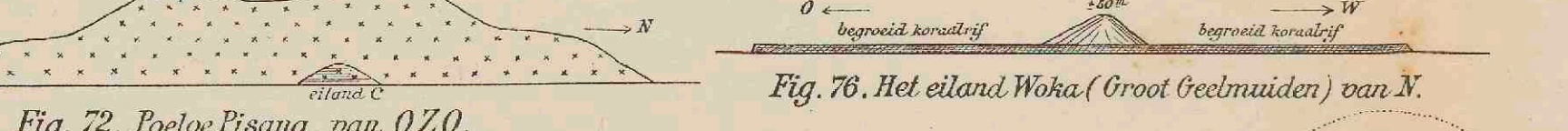


Fig. 79. De eilanden Dowora besar en Dowora kéjil van Z.W.

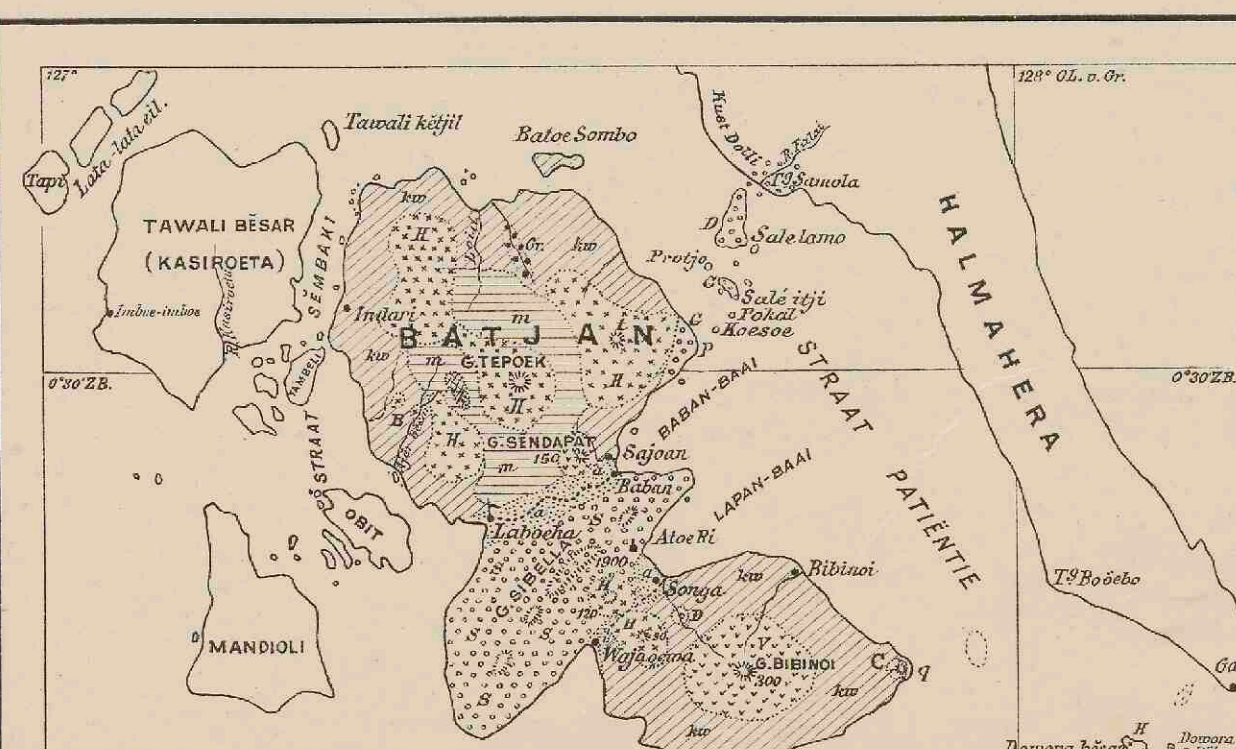
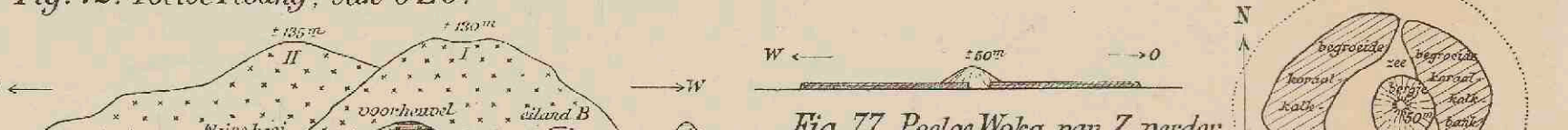


Fig. 83. Geologische schetskaart van Batjan, grotendeels volgens de reekkaart. 1:1000000. * * * Gneis, graniet. * * * S.D.G. Oude schieferige gesteenten en gabbro; H en D. Noordelijke andesiet en basalt; Margels en zandstemen; Kalksteen, lavasteen; V. Vulkanisch (basalt); // // Alluvium.

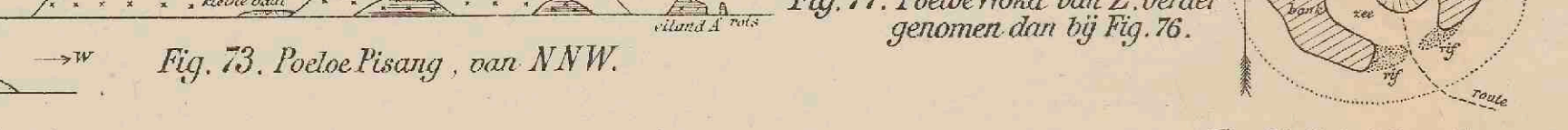


Fig. 68. Het eil. Pisang, van Z.W. bij P. Kéke genomen.



Fig. 69. Poeloe Pisang, van Z. ten W.

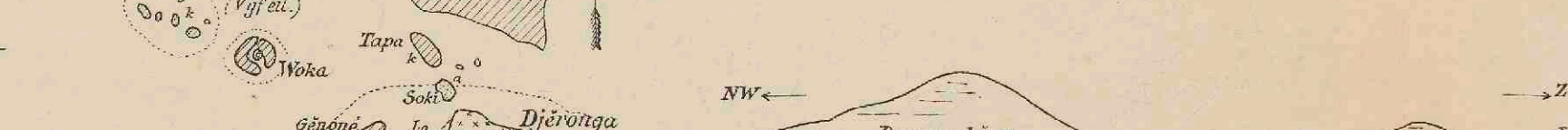


Fig. 70. Poeloe Pisang, van ± Z.

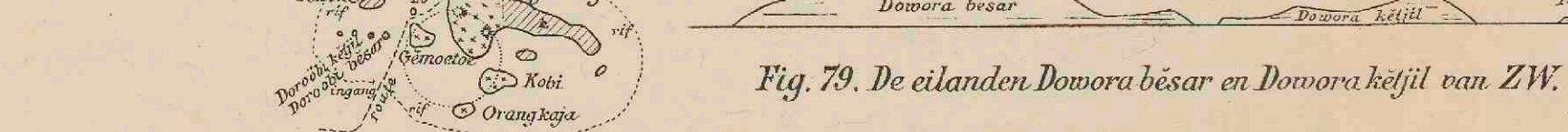


Fig. 71. Poeloe Pisang, van Z.O.



Fig. 72. Poeloe Pisang, van O.Z.O.

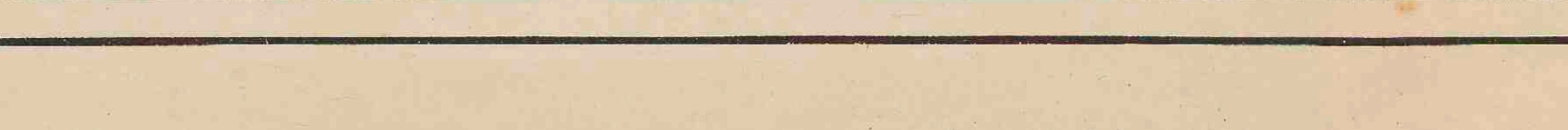


Fig. 73. Poeloe Pisang, van N.N.W.



Fig. 74. De Salo-groep, ten Z. van Halmahera. Schaal 1:500000. * * * basalt. // // koraalkalk.



Fig. 60. Het eiland Toebatai (ten O. van Obi-besar) van N. gezien.

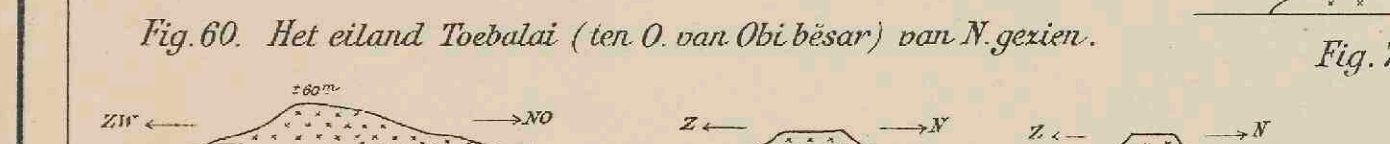


Fig. 61. Eiland Kéke van Z.O.

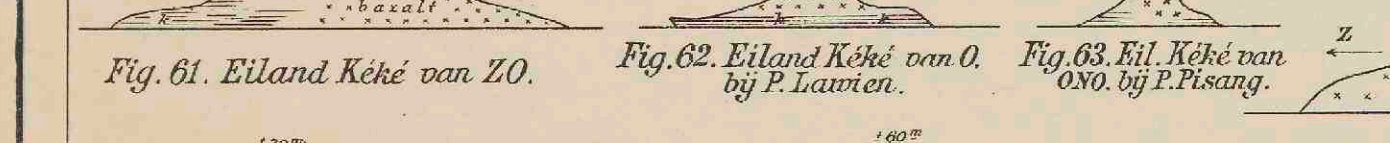


Fig. 62. Eiland Kéke van O. bij P. Lawien.



Fig. 63. Eil. Kéke van O.N.O. bij P. Pisang.

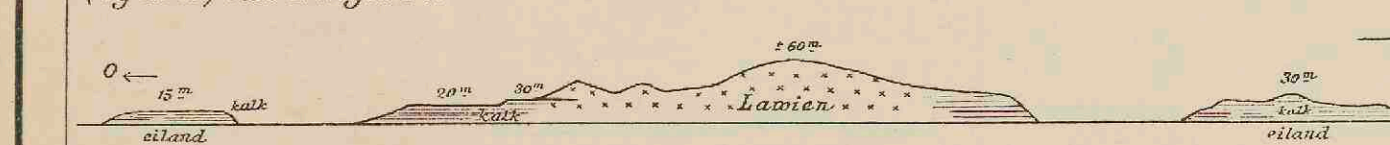


Fig. 65. Het eiland Lawien, genomen van W. ten Z. bij Kéke.

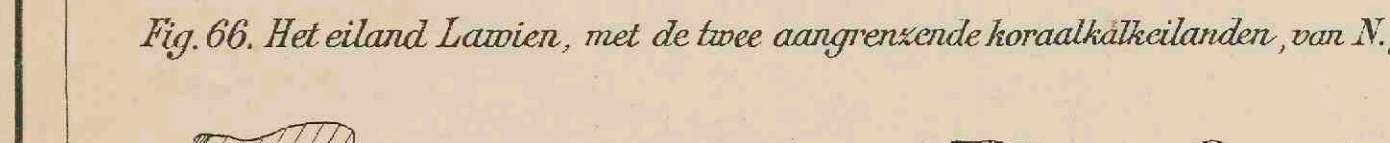


Fig. 66. Het eiland Lawien, met de twee aangrenzende koraalkalkeilanden, van N. gezien.

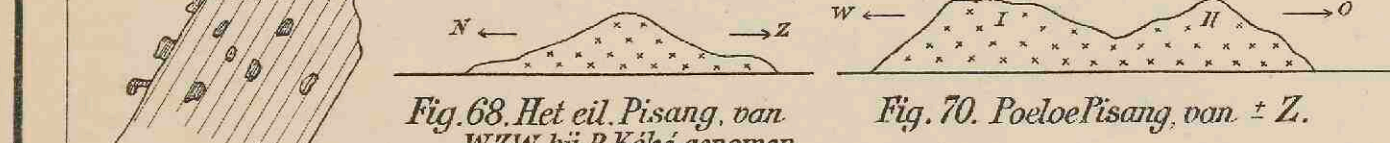


Fig. 67. Plaatvormig afgezonderde glimmerandesiet van P. Pisang met harde concretionen.

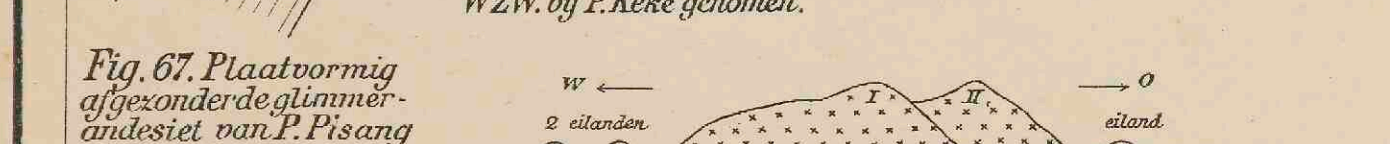


Fig. 68. Het eil. Pisang, van Z.W. bij P. Kéke genomen.

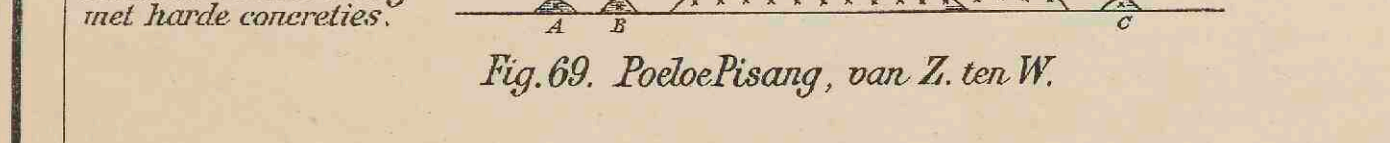


Fig. 69. Poeloe Pisang, van Z. ten W.

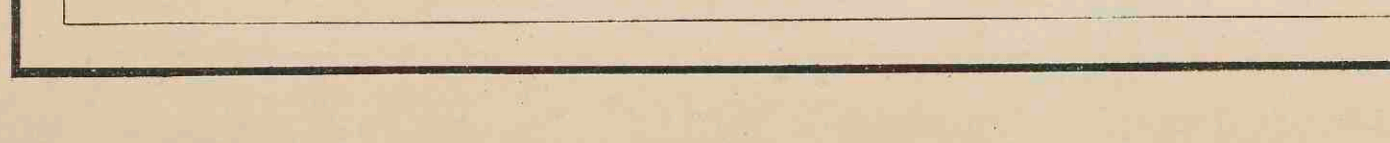


Fig. 70. Poeloe Pisang, van ± Z.



Fig. 71. Poeloe Pisang, van Z.O.

Fig. 72. Poeloe Pisang, van O.Z.O.

Fig. 73. Poeloe Pisang, van N.N.W.

Fig. 74. De Salo-groep, ten Z. van Halmahera. Schaal 1:500000. * * * basalt. // // koraalkalk.

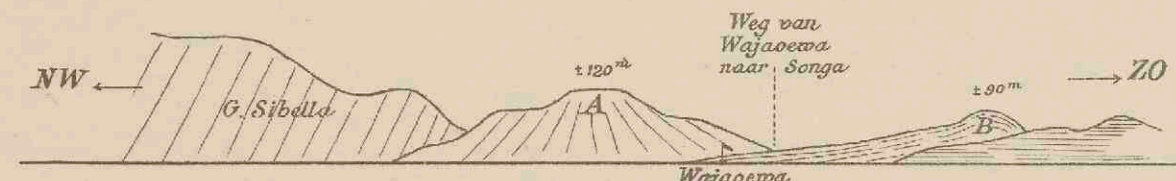


Fig. 89. De bergjes A en B tusschen Wajaewa en Songa, eiland Batjan, van Z.W. gezien, uit de Wajaewa-baai.

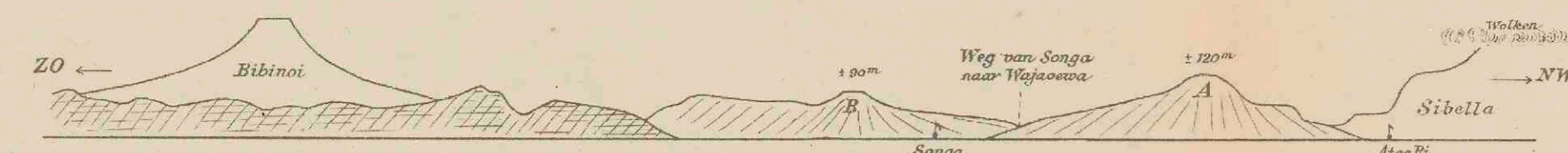


Fig. 90. De bergjes A en B tusschen Songa en Wajaewa, eiland Batjan, van N.O. gezien, uit de Lapan-baai bij Songa.



Fig. 91. Bergen in het Noordelijk gedeelte van Batjan, gezien van den ingang der Baban-baai, ten Zuiden van de Oostkaap p (zie Fig. 83).

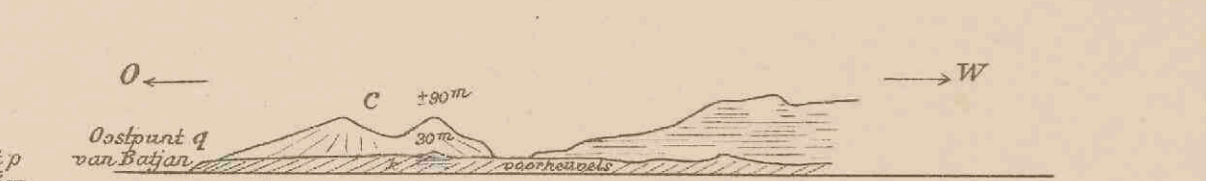


Fig. 92. De Oostpunt q (zie Fig. 83) van Batjan.



Fig. 93. De Lata-lata-eilanden en Tameti, gezien van de Zuidpunt van Waidoba, ± van het Oosten.

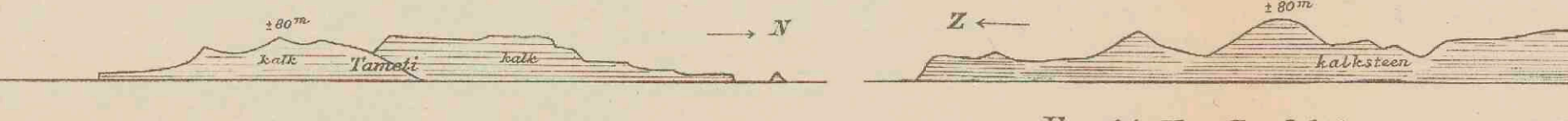


Fig. 94. Het Zuidelijk gedeelte van Tameti, van O. gezien.

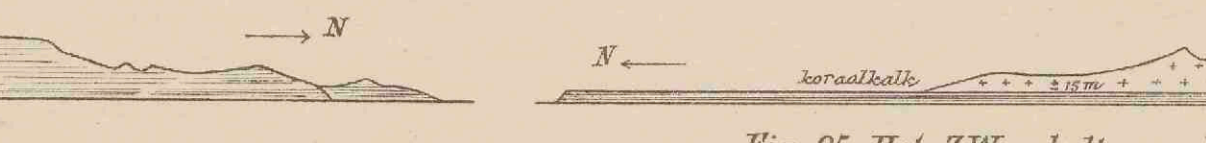


Fig. 95. Het ZW.gedeelte van Waidoba (Laloen), van ZW. gezien.



Fig. 96. Het eiland Waidoba (Laloen), gezien van Laigoma, ± van N.W.

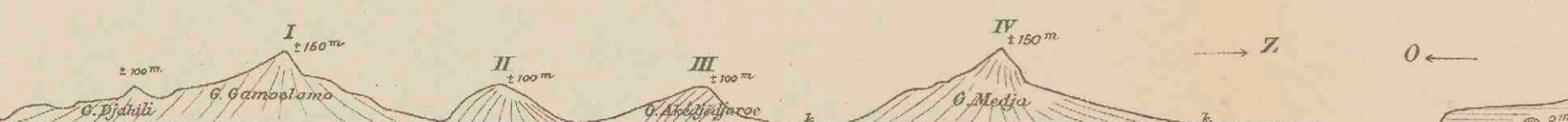


Fig. 97. Het eiland Kajoa, van W.N.W. bij Laigoma, gezien.



Fig. 99. De Noordkust van Kajoa, bij P. Miskien (± van N) gezien.



Fig. 100. Het eiland Kajoa, gezien van P. Djodji (kust van Malahera), ± van N.N.O.

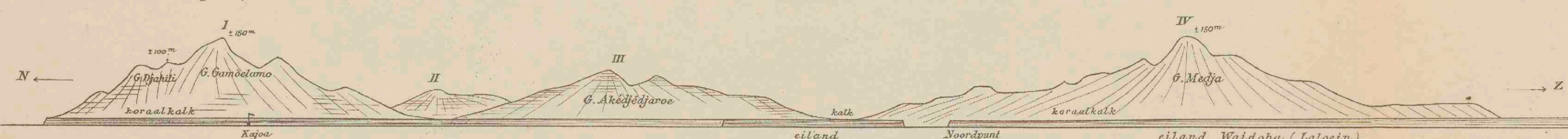


Fig. 98. De Westkust van het eiland Kajoa, van het Westen genomen.



Fig. 101. Het eiland Kajoa, ongeveer van N.O. gezien.

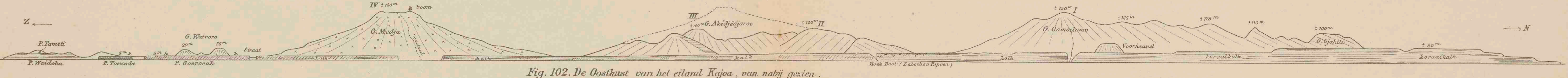


Fig. 102. De Oostkust van het eiland Kajoa, van nabij gezien.

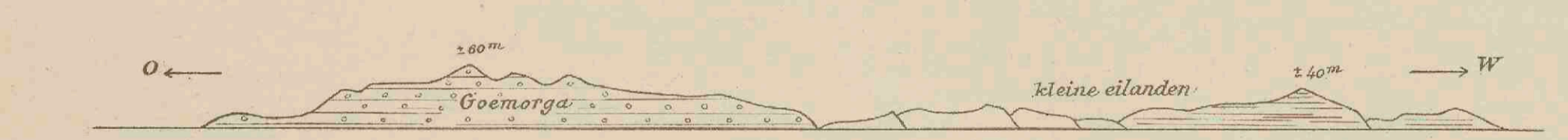


Fig. 103. Het eiland Goemorga van N., en een gedeelte der eilanden tusschen Goemorga en Tameti.

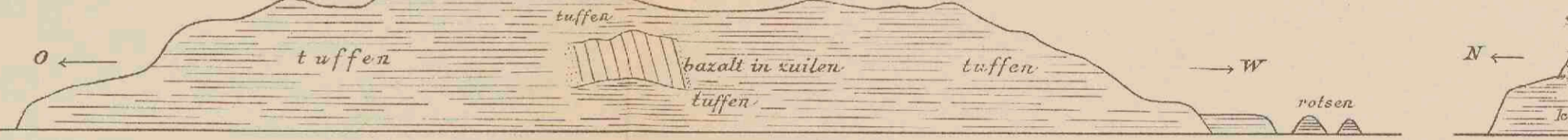


Fig. 105. Het eiland Sikau, van N. gezien.



Fig. 106. Het eiland Gafi, van W. gezien, bij Sikau.

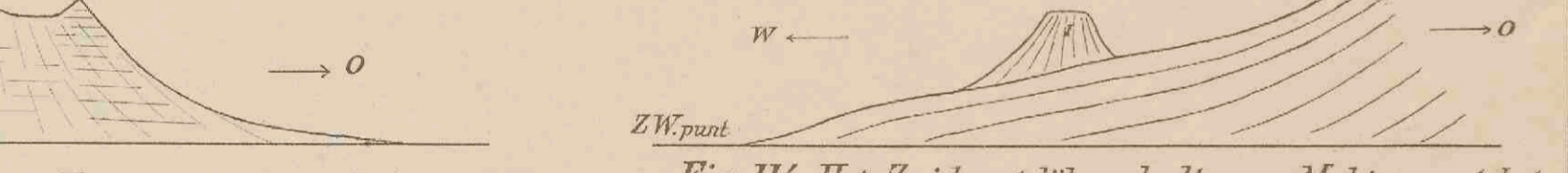


Fig. 107. Het eiland Gafi, van N.O. gezien.

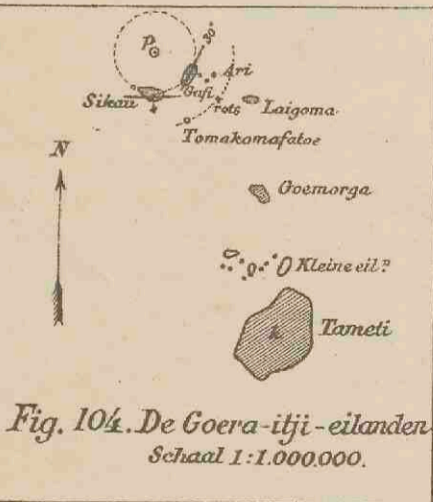


Fig. 104. De Goera-tiji-eilanden. Schaal 1:1.000.000.



Fig. 109. Het eilandje Tomakomafatoe, van ± N.W., bij Sikau, gezien.



Fig. 110. Het eilandje Tomakomafatoe, van O., bezuiden Laigoma, gezien.

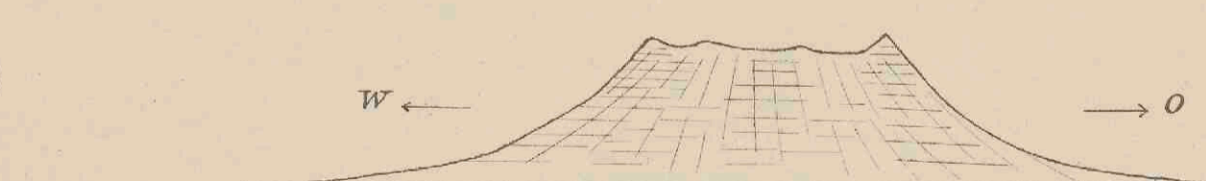


Fig. 113. Het eiland Makian, van Tameti gezien, ± Z.Z.W.

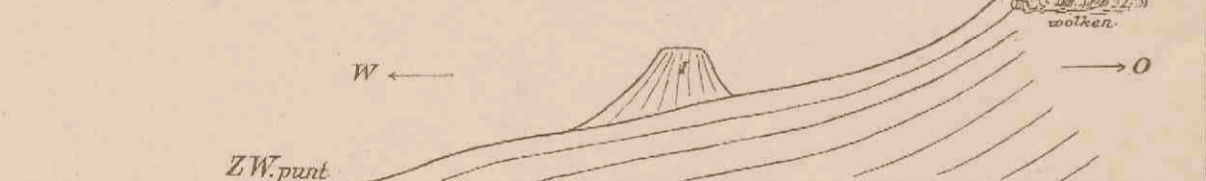


Fig. 114. Het Zuidwestelijk gedeelte van Makian met het eruptieketjelje 1, van Z. gezien.



Fig. 108. De 2eilanden Ari, met de rots, (Sikau-vulkaan), van N.O.



Fig. 115. Het eiland Makian van Z.Z.W., van dichtbij genomen.



Fig. 116. Het eiland Makian, van N., met den krater A, een dam a a, en het ravijn b.

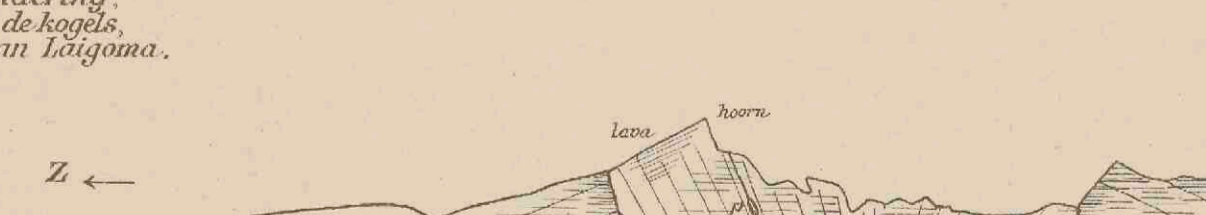


Fig. 117. Schetskaartje van Makian.



Fig. 118. Het eiland Makian van Oost, met den krater B, en het steenen-delta C. (gedeeltelijk naar eene photographie.)

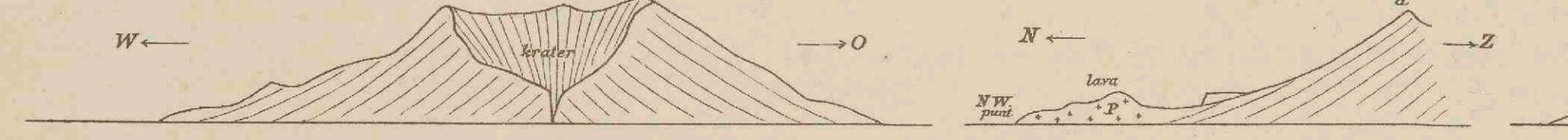


Fig. 119. Het eiland Moti van Z., met den krater.

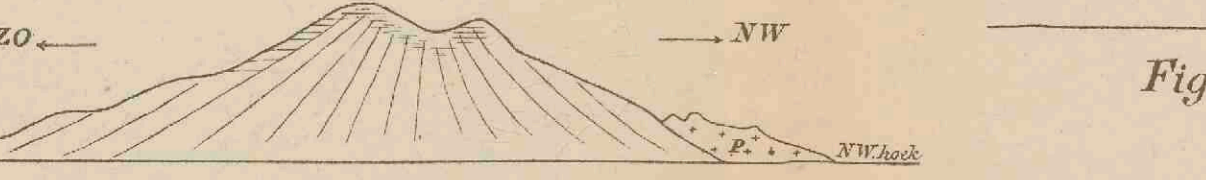


Fig. 120. De N.W. helling van Moti, met het eruptiepunt P, van W. gezien.

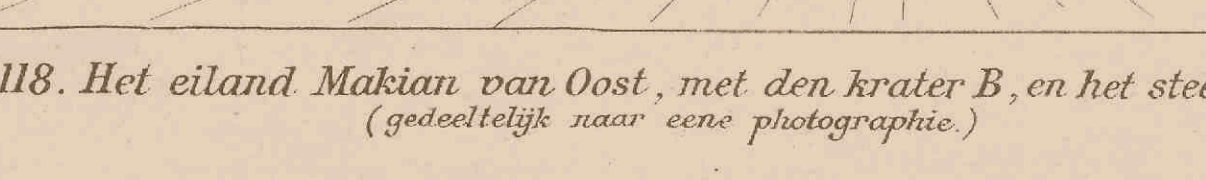


Fig. 121. Het eiland Moti, van N.O., met den lavastroom P, nabij de N.W. punt.



Fig. 122. Het eiland Moti, van het Oosten gezien.

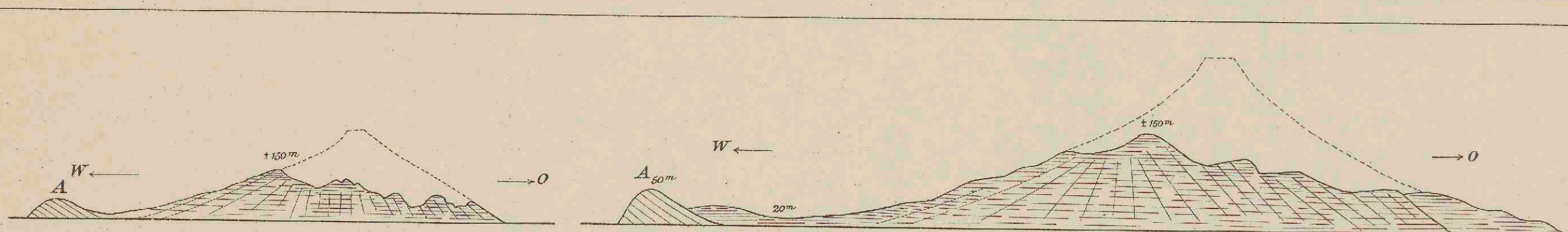


Fig. 123. Het eiland Mare, van Z.O. gezien.

Fig. 124. Het eiland Mare, van Z. gezien.

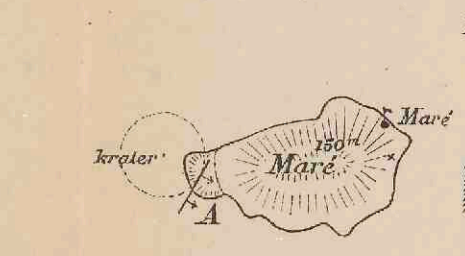


Fig. 125. Schetskaartje van het eiland Mare.

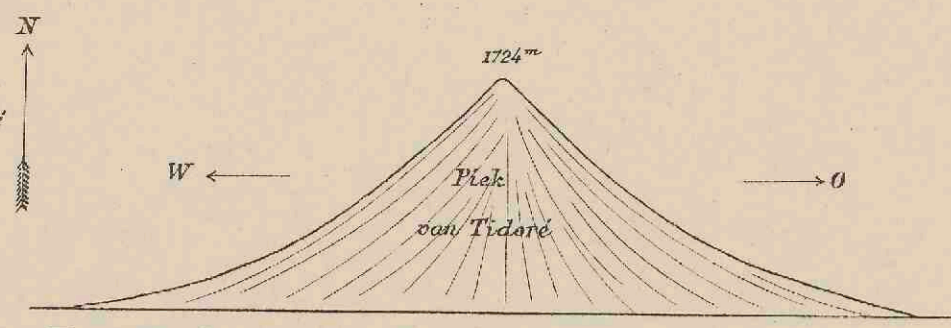


Fig. 126. De piek van Tidoré, van Zuid gezien, bij Makian genomen.

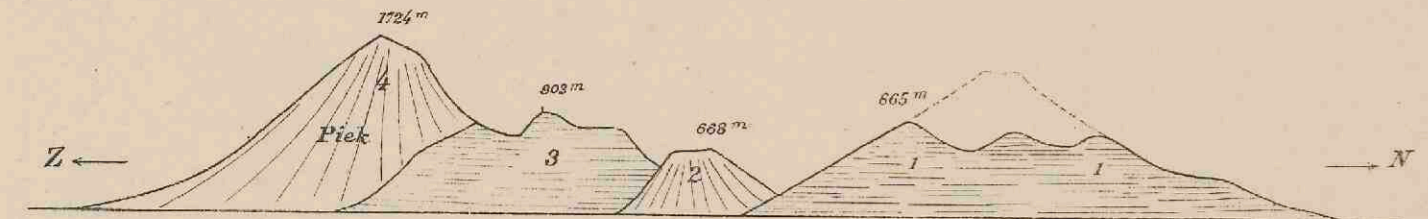


Fig. 127. Het eiland Tidoré, van O. gezien.

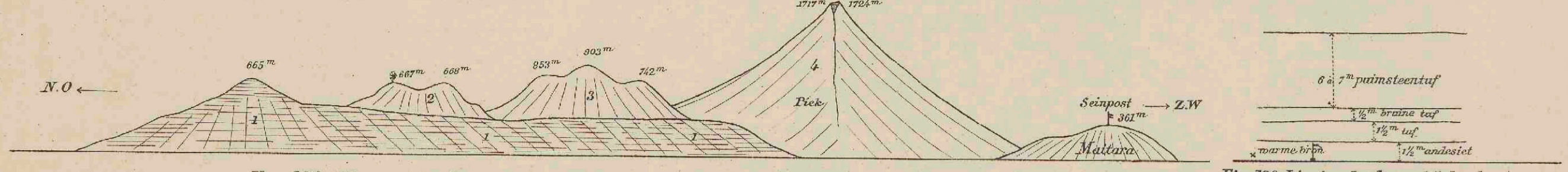


Fig. 128. Het eiland Tidoré met Maitara, van den uithoek te Ternate gezien. (van N.W. tot N.)

Fig. 129. Ligging der lagen bij de plaats genaamd Akisahoe, aan de oostkust van Tidoré.

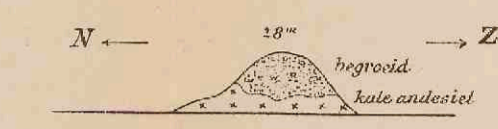


Fig. 130. Het eilandje Filongan ten O. van Tidoré, van W.

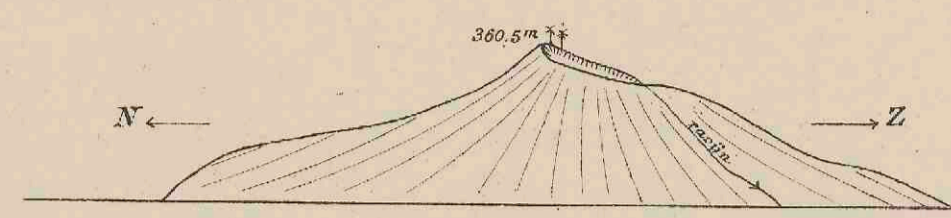


Fig. 131. Het eiland Maitara, van W.

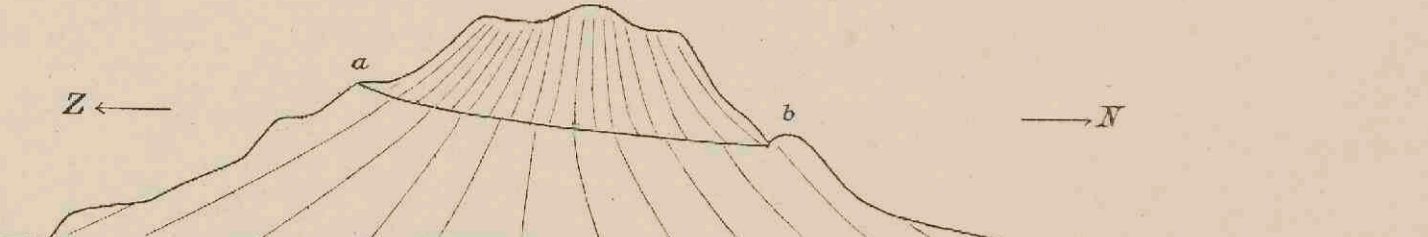


Fig. 137. Het eiland Hiri, van O.Z.O.

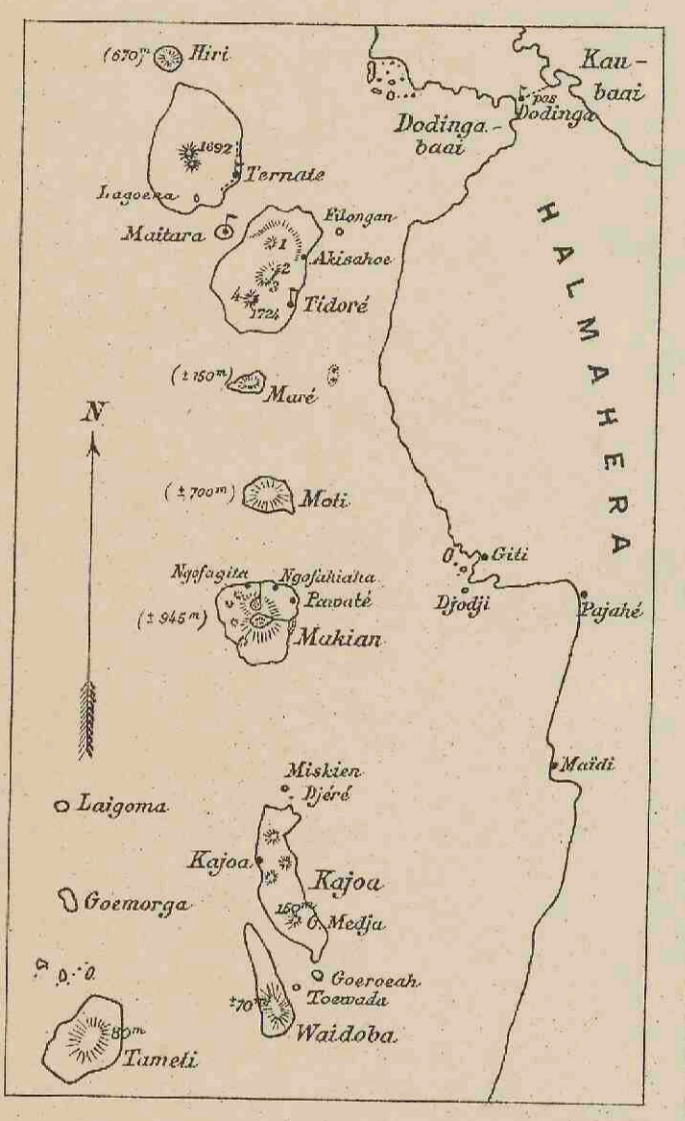


Fig. 132. Ligging der eilanden langs de Westkust van Halmahera, van Weidoba tot Hiri. Schaal 1:1.000.000. (Volgens de zeekaart)

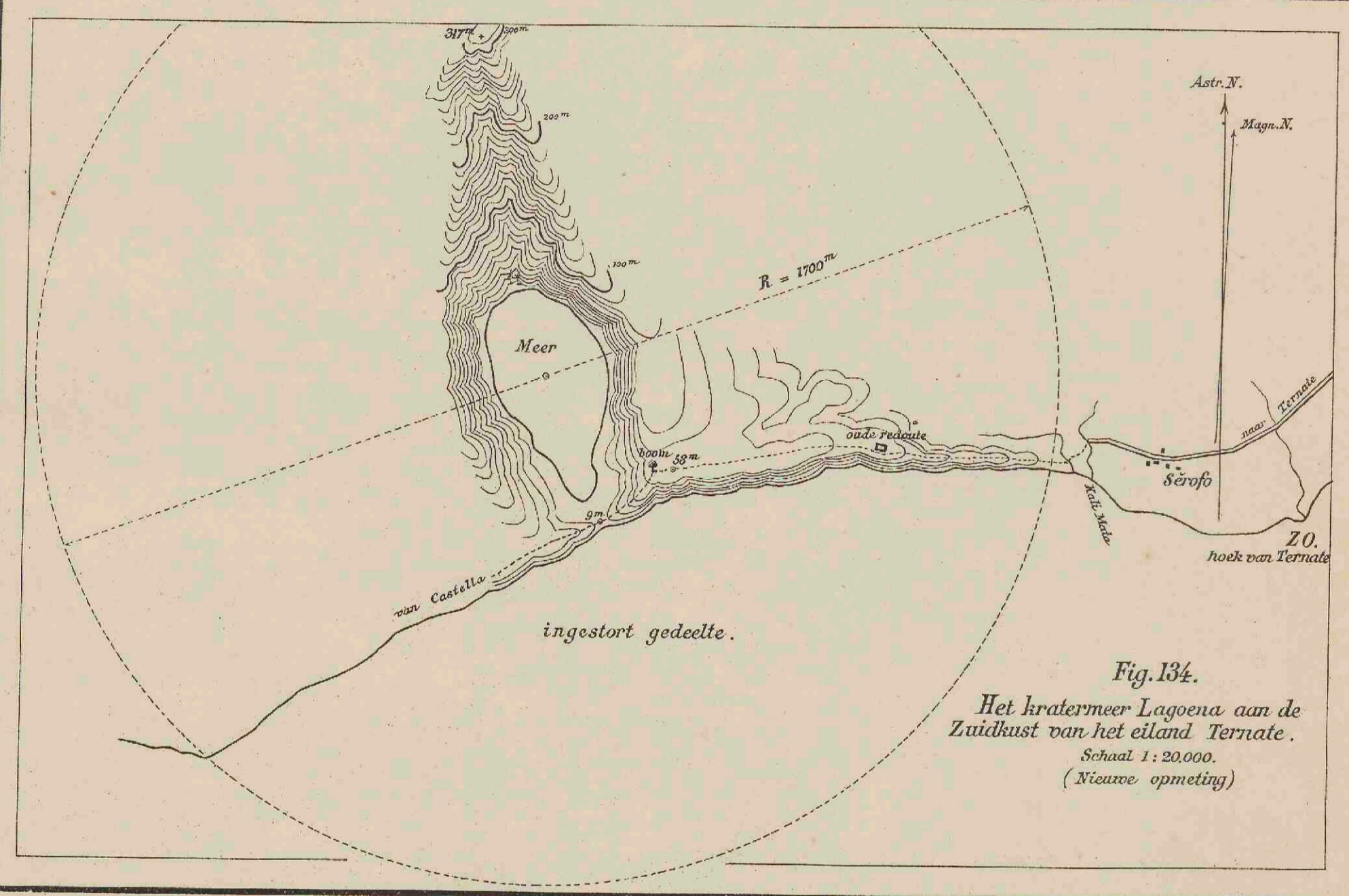


Fig. 134. Het kratermeer Lagoena aan de Zuidkust van het eiland Ternate. Schaal 1:20.000. (Nieuwe opmeting)

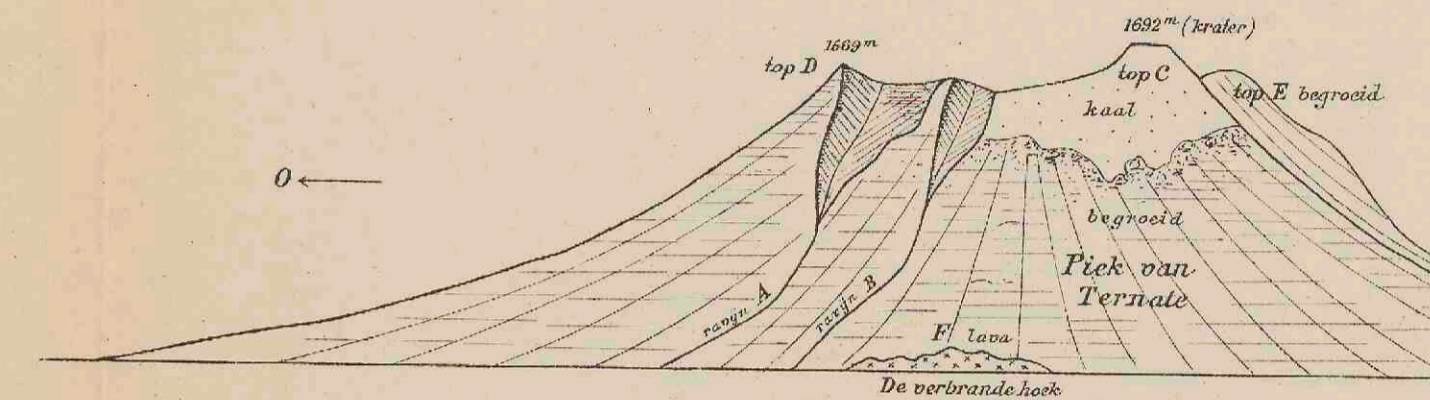


Fig. 135. Het eiland Ternate, van N.N.O. gezien.

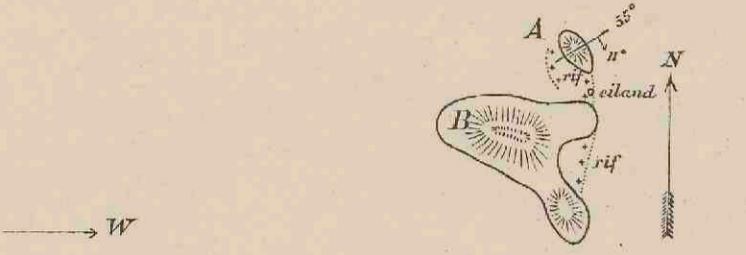


Fig. 139. Schetskaartje van het eiland Tofoeré.

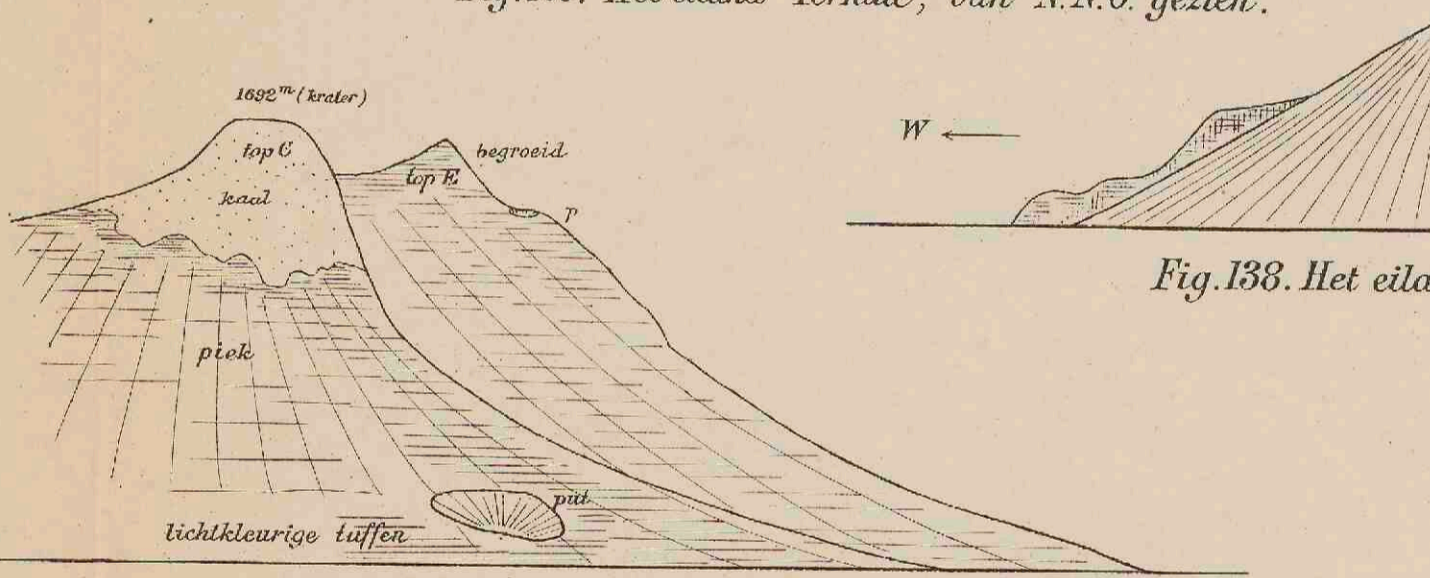


Fig. 136. De piek van Ternate, van N.N.W. gezien.

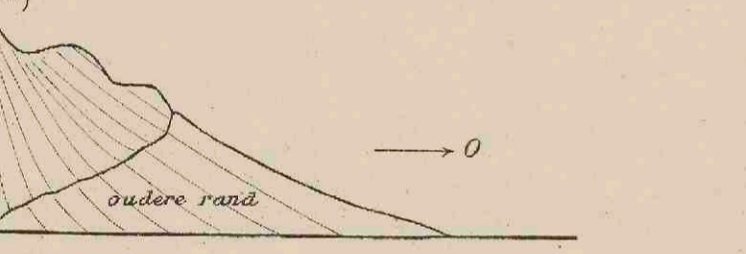


Fig. 140. Onregelmatig verbogen bruine kalklagen, op het eiland Tofoeré A.

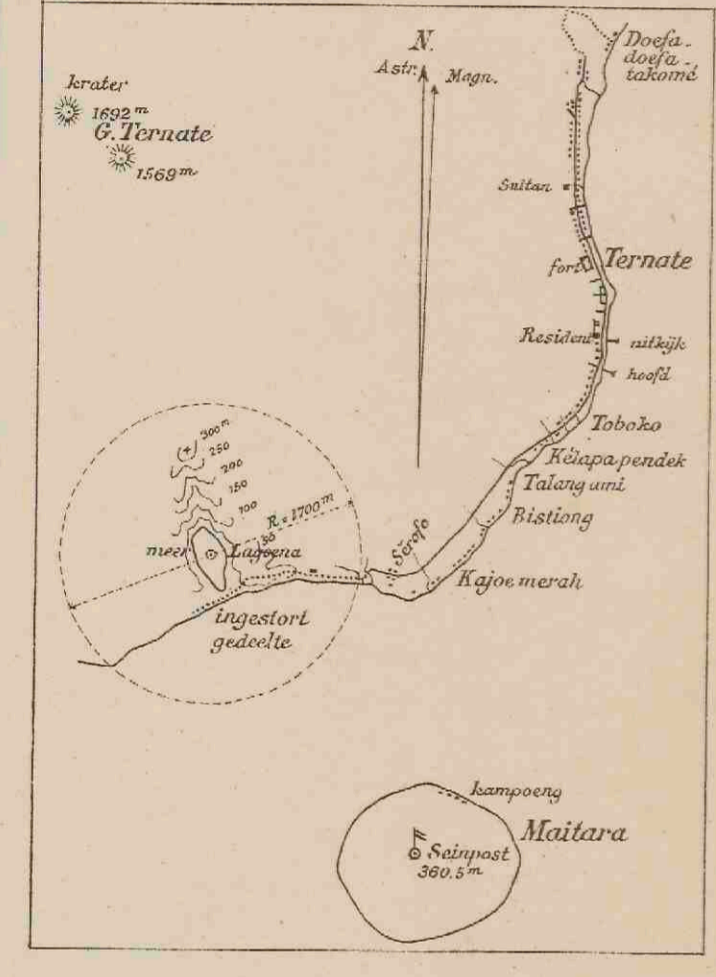


Fig. 133. Kaart van het Z.O. gedeelte van het eiland Ternate, met Maitara. Nieuwe opmeting. Schaal 1:100.000.



Fig. 142. Het eiland Mojaoe, van het Oosten.

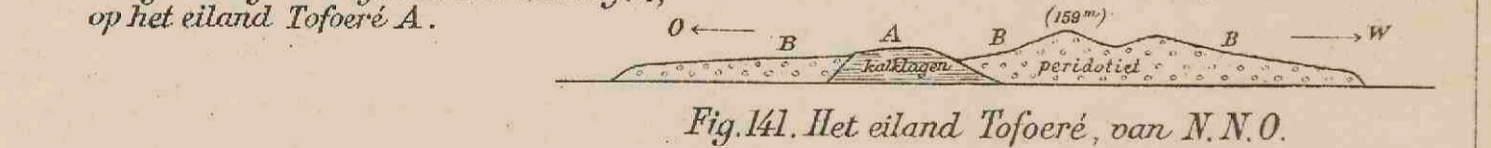


Fig. 141. Het eiland Tofoeré, van N.N.O.

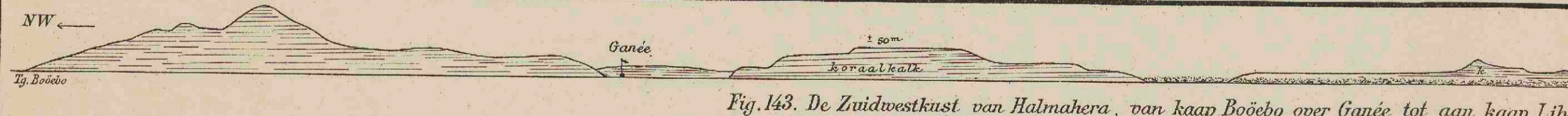


Fig. 143. De Zuidwestkust van Halmahera, van kaap Boebo over Ganée tot aan kaap Liboba.

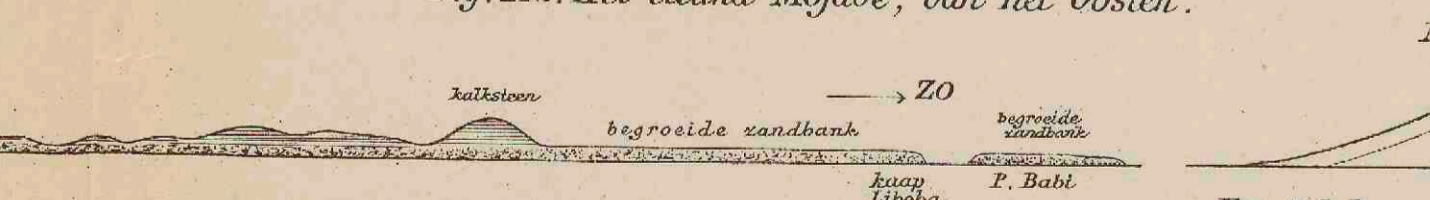


Fig. 149. De Goenoeng Djailolo met den Kie itji, van Z.O. gezien.



Fig. 147. De vulkaan G. Djailolo (Tala) met den G. Todoekoe op den achtergrond. Genomen van Z.Z.W. bij Hiri.

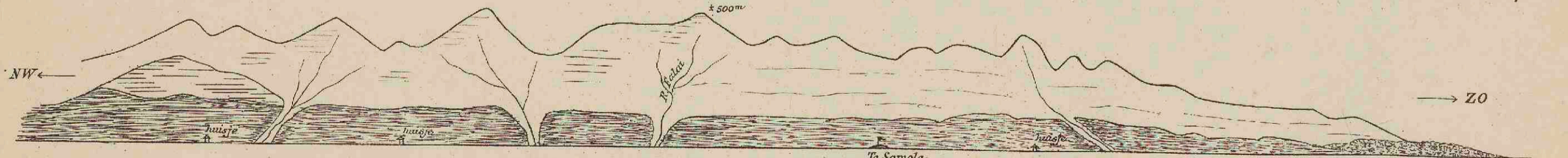


Fig. 144. De Zuidwestkust van Halmahera, bij kaap Samola (de kust heet Dolli).

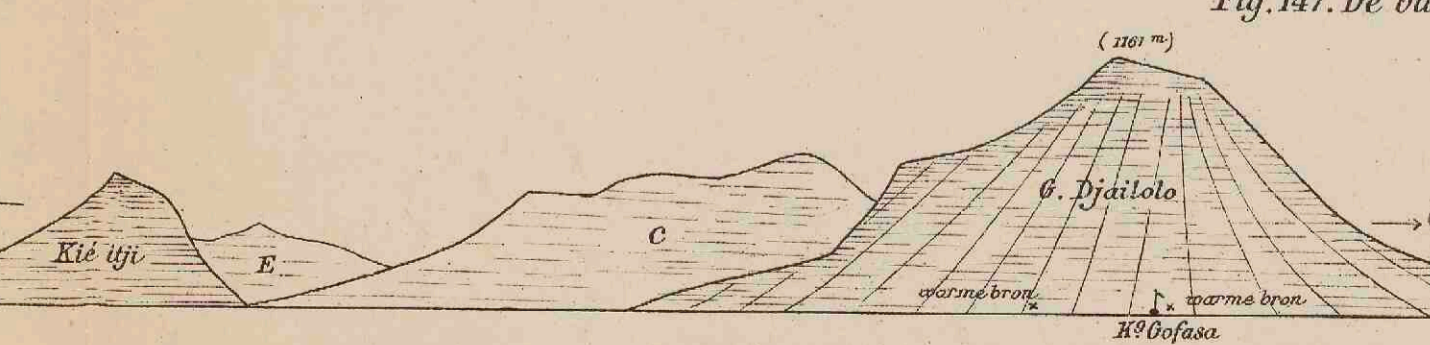


Fig. 150. De bergen A, B en D, genomen van uit de baai van Djailolo, de Boekoe ma tili ± Z.O. gezien.



Fig. 148. De Westkust van Halmahera, tusschen de Djailolo- en Dodinga-baaien, de G. Djailolo van het Zuiden gezien.

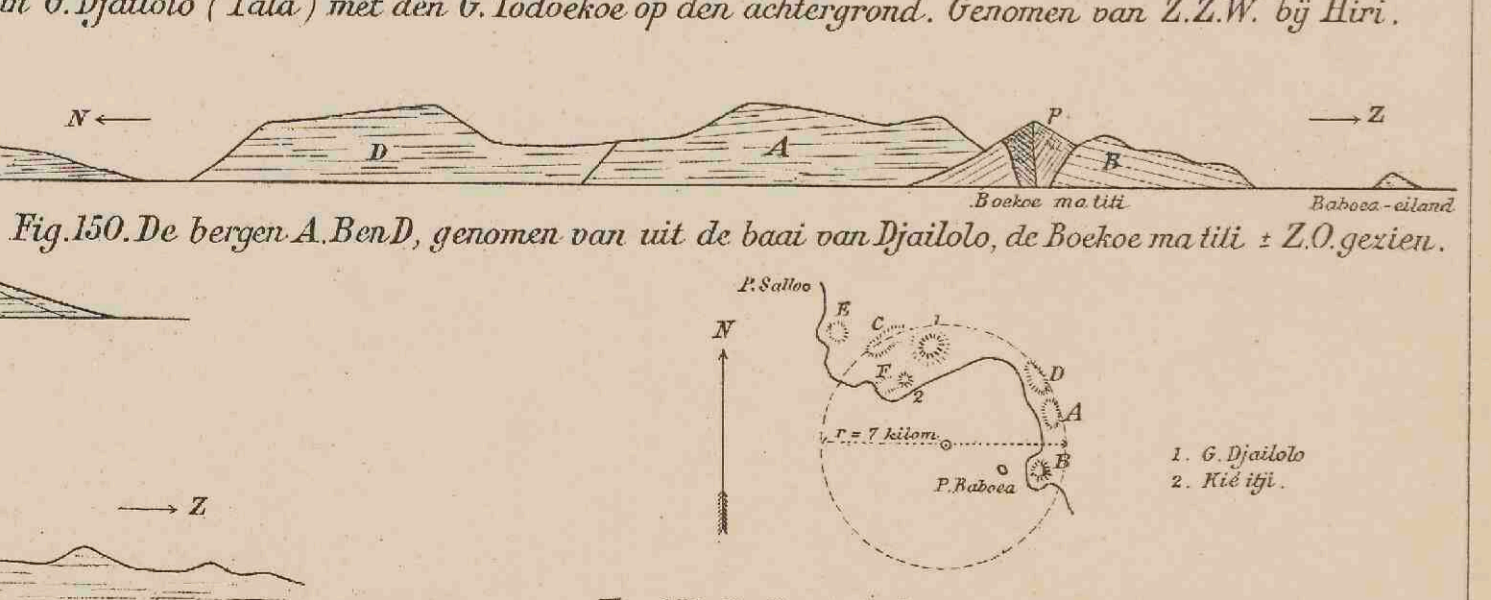


Fig. 151. De Djailolo-baai als ingestorte krater. Schaal 1:500.000.

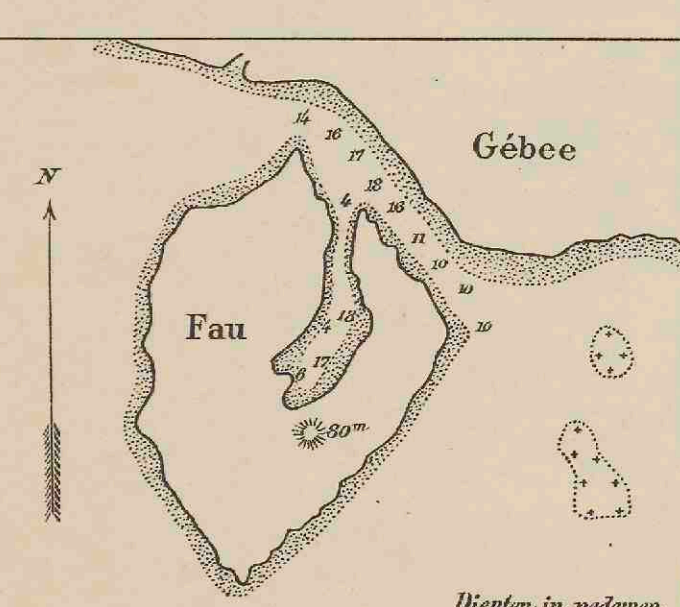
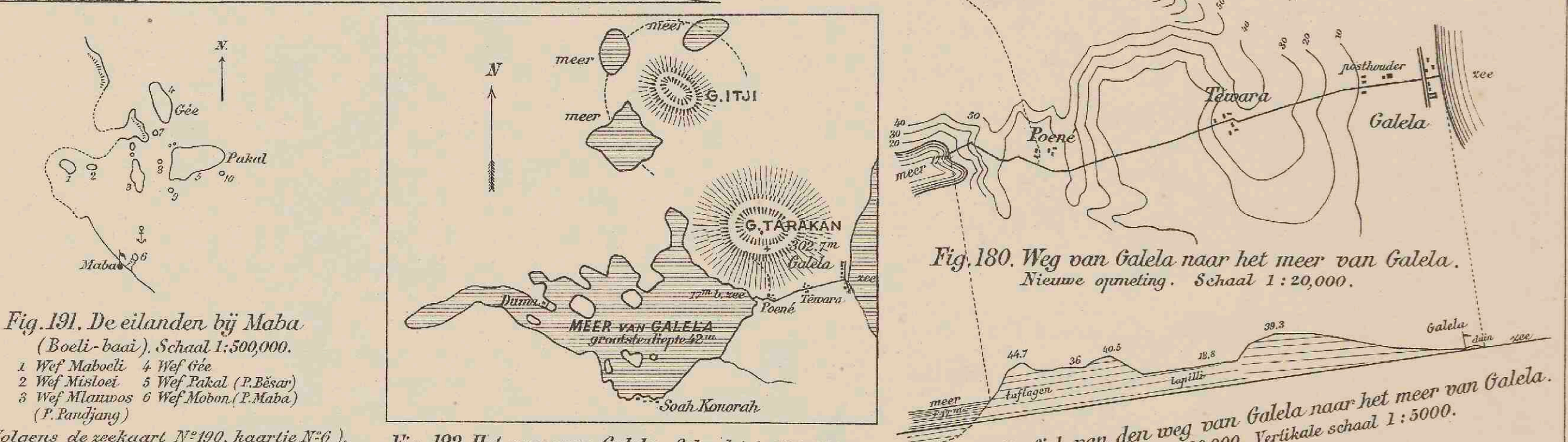
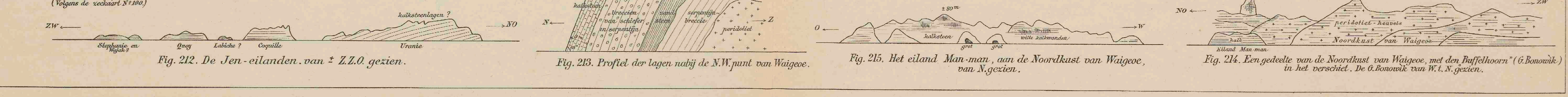
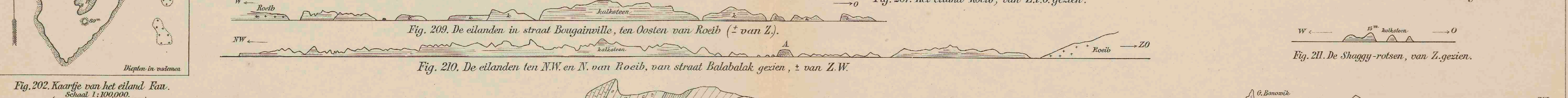
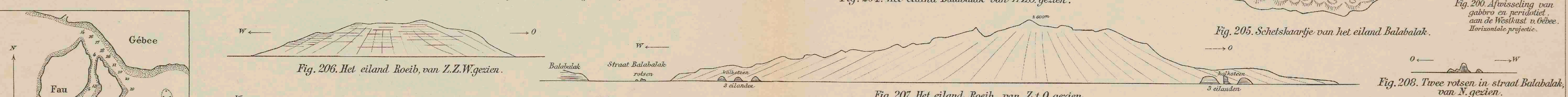
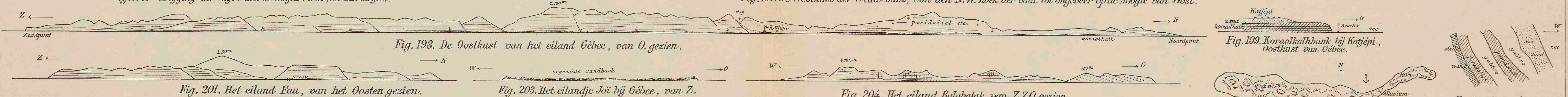
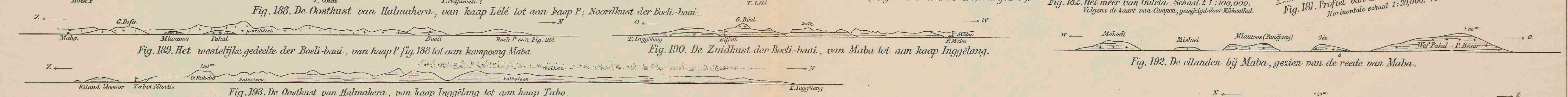
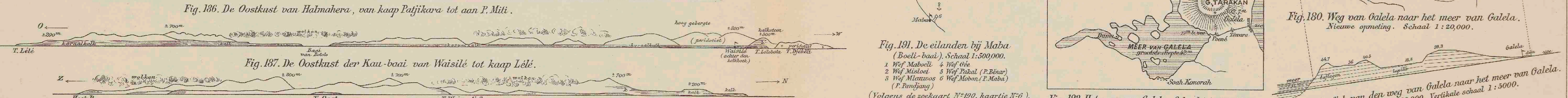
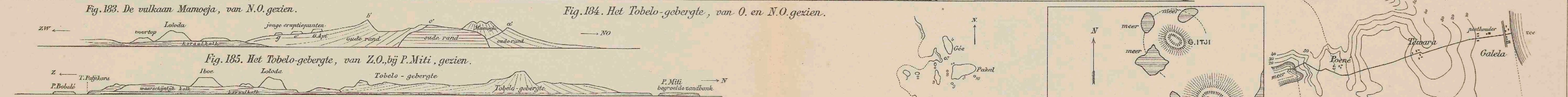
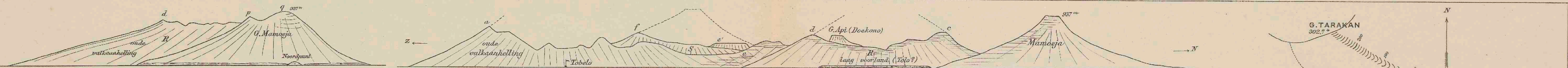
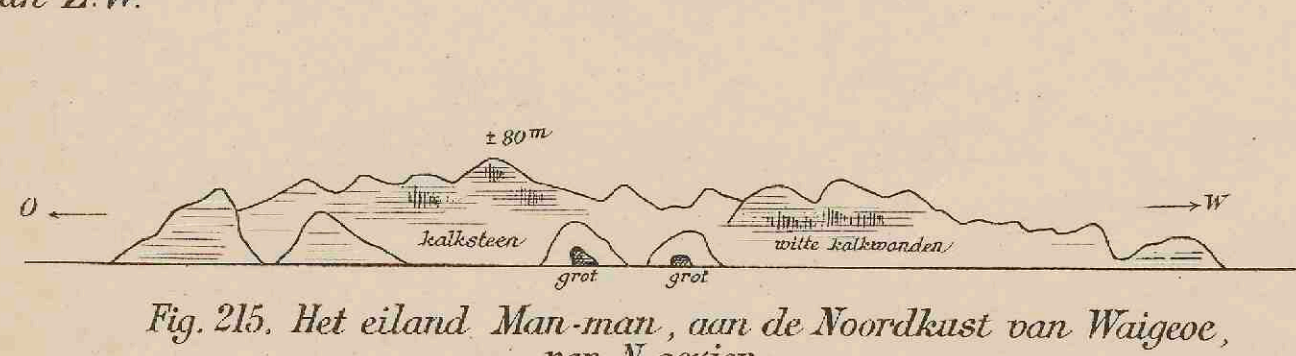
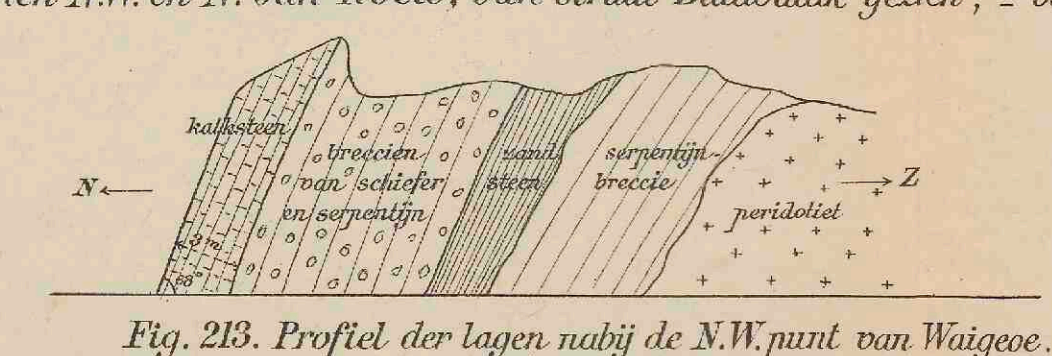
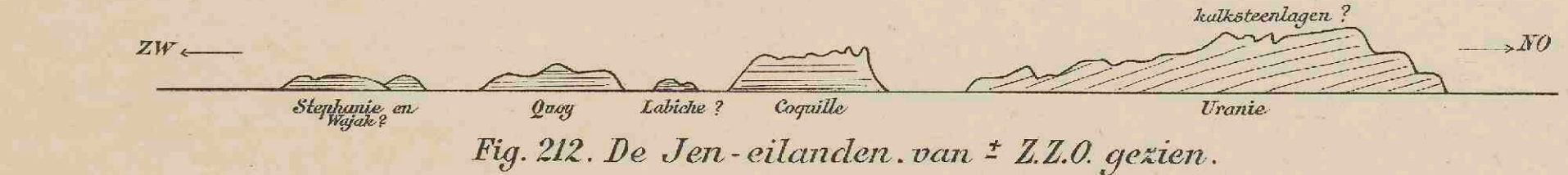


Fig. 202. Kaartje van het eiland Fau.
 Schaal 1:100,000.
 (Volgens de zeekaart N° 180.)



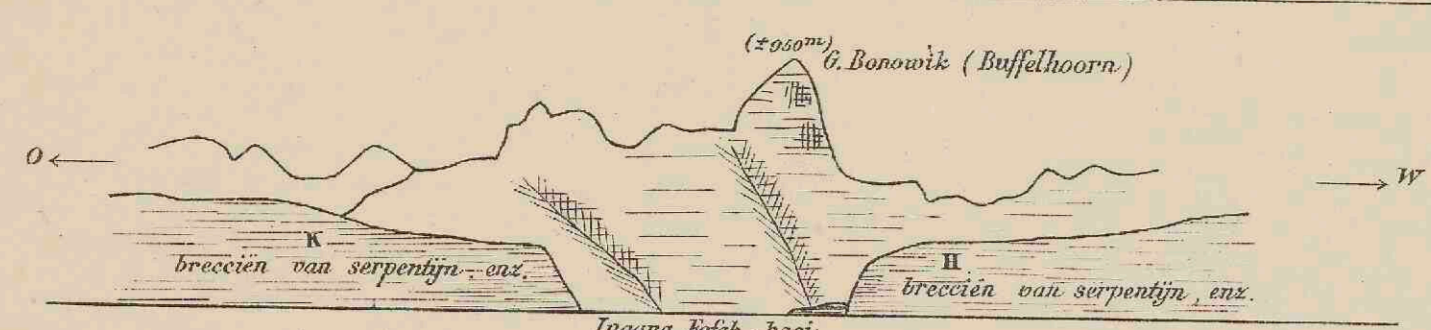


Fig. 216. De ingang der Fafak-baai, de Buffelhoorn van N.t.W. 1/2 W.

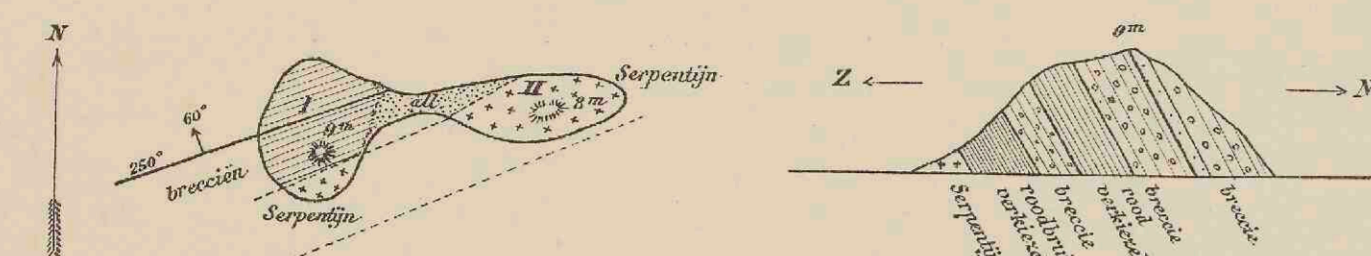


Fig. 218. Het eiland D in de Fafak-baai, met de heuwels I en II. Schets.

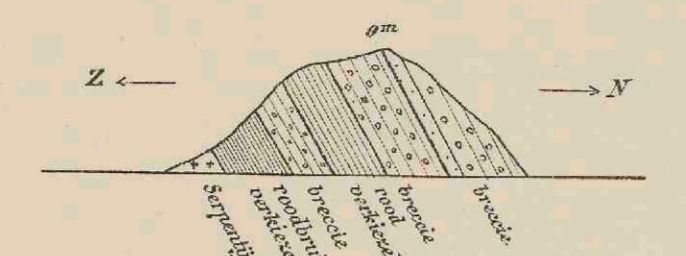


Fig. 219. Doorsnede der lagen in den heuwel I van het eiland D der Fafak-baai.

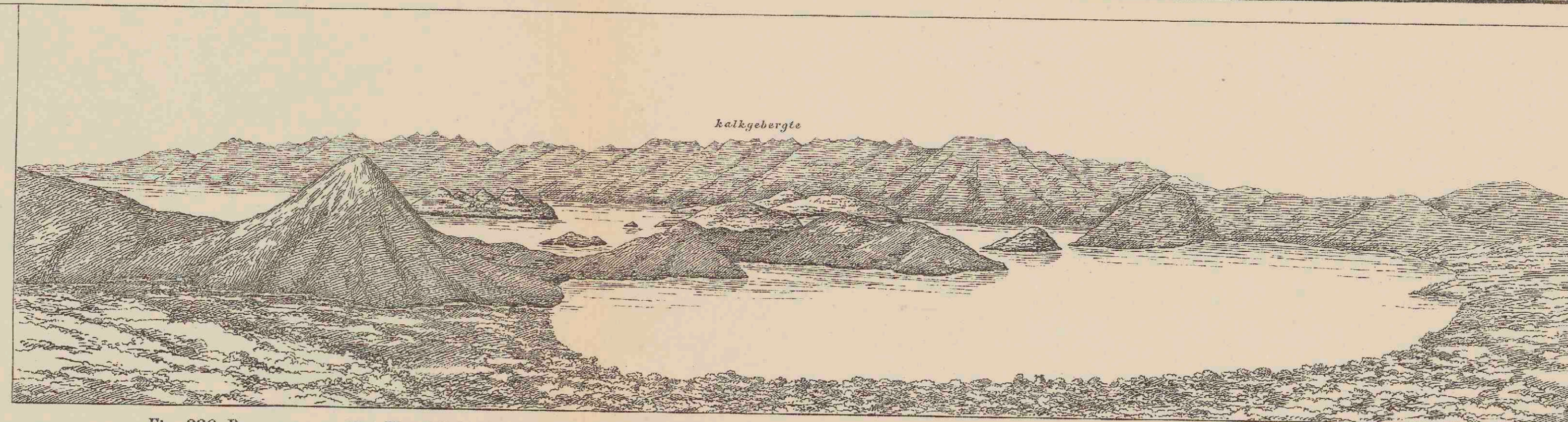


Fig. 220. Panorama van het Noordelijke einde der Majalibit-baai, genomen van het hoogste punt van den weg tusschen de Fafak-en Majalibit-baaien.

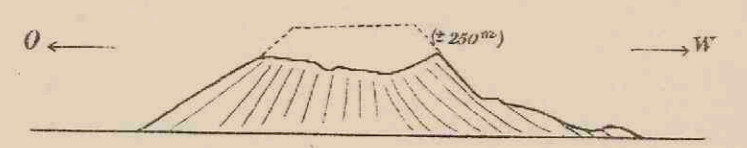


Fig. 223. Het eiland Batang Pale, mit straat Balabalak gezien, ± van N.N.W.

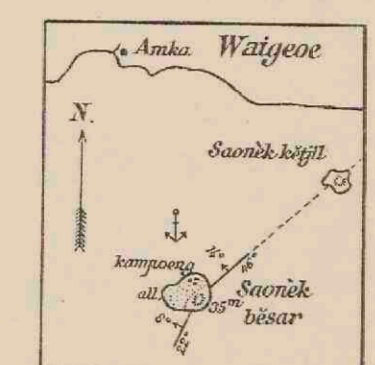


Fig. 225. De eilanden Saonek besar en Saonek ketjil. Schaal 1:100.000. Verkleind van de zeekaart N°156.

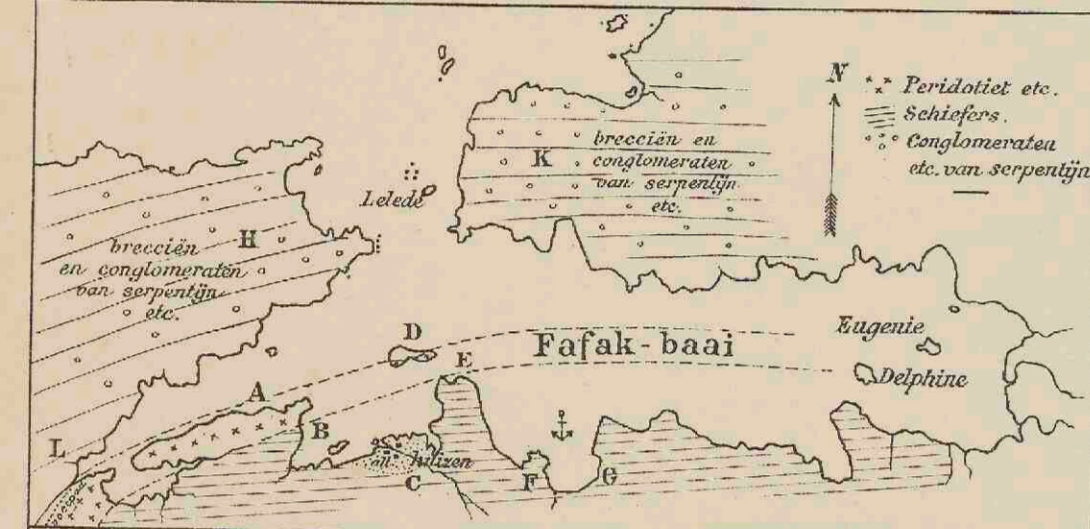


Fig. 217. De Fafak-baai (Noordkust Waigeo). Schaal 1:80.000. Verkleinde kopie van de kaart van Duperré, 1823. (Zeekaart N°185.)

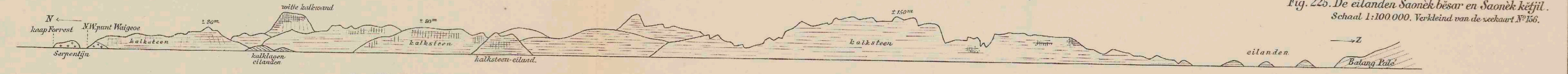


Fig. 221. Het Noordelijke gedeelte van de Westkust van Waigeo, van kaap Forrest tot aan het eiland Batang Pale.



Fig. 222. De Batang Pale-eilanden, van ± W.

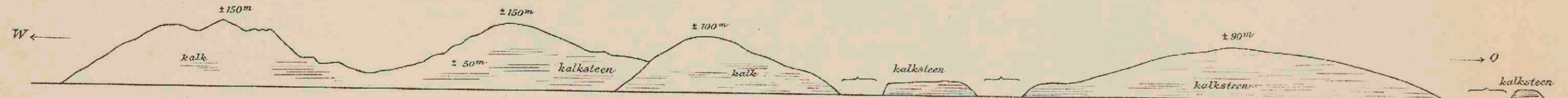


Fig. 226. Het eiland Mios Mansaar, van Z. gezien.

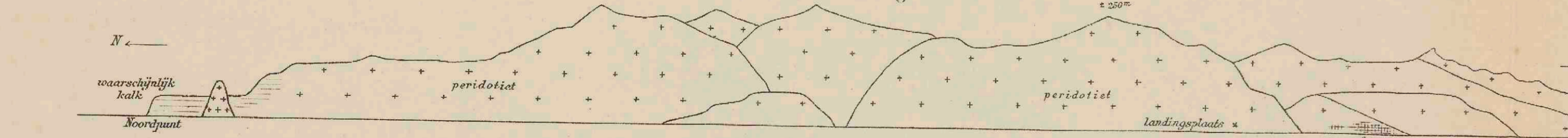


Fig. 227. Het eiland Gag, van W. gezien.

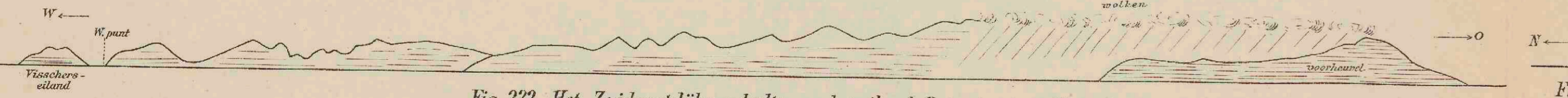


Fig. 232. Het Zuidwestelijke gedeelte van het eiland Batanta, van Z. gezien.

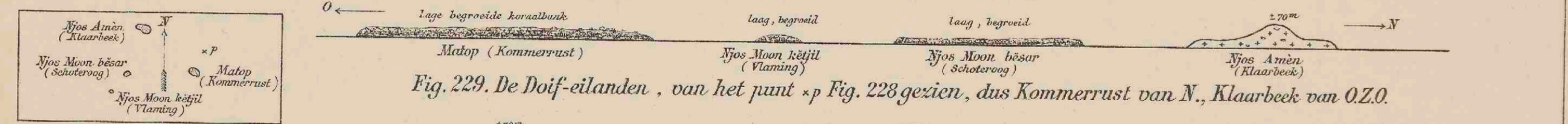


Fig. 229. De Doif-eilanden, van het punt *p Fig. 228 gezien, dus Kommerrust van N., Klaarbeek van O.Z.O.

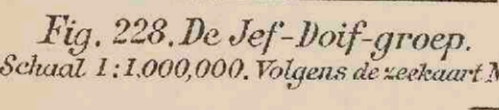


Fig. 228. De Jef-Doif-groep. Schaal 1:1.000.000. Volgens de zeekaart N°465.

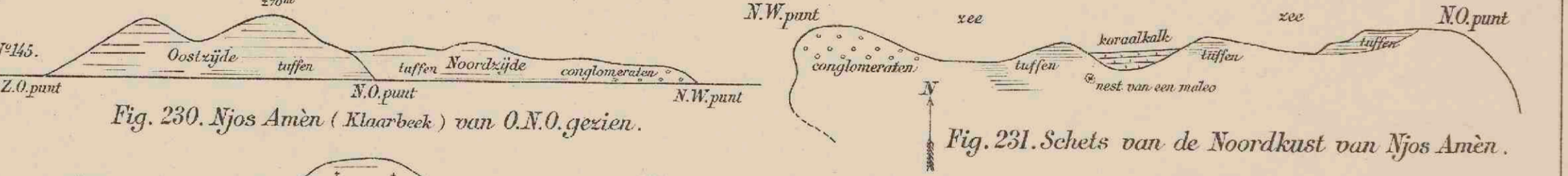


Fig. 230. Njos Amèn (Klaarbeek) van O.N.O. gezien.

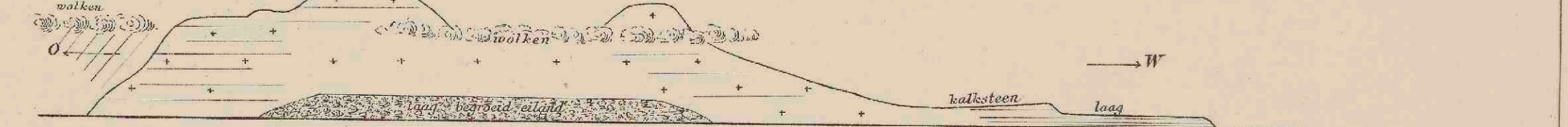


Fig. 231. Schets van de Noordkust van Njos Amèn.

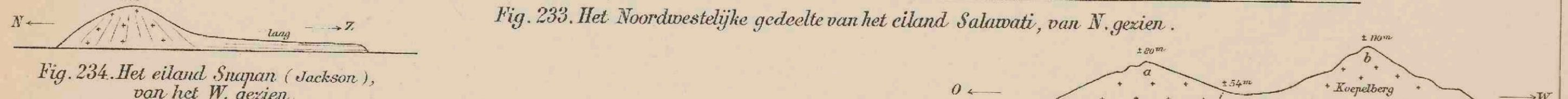


Fig. 233. Het Noordwestelijke gedeelte van het eiland Salawati, van N. gezien.



Fig. 237. De Koepelberg op Kofiau, van N. gezien.

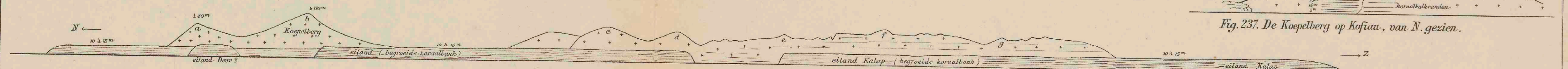


Fig. 236. Het eiland Kofiau, de Koepelberg van het W.t.N. gezien.



Fig. 238. Het eiland Popa, van Z.O. gezien.

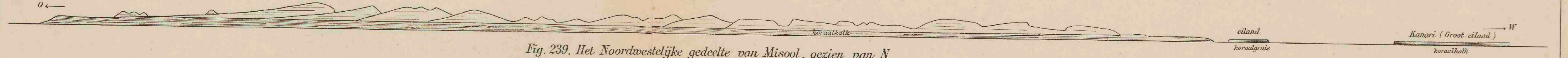


Fig. 239. Het Noordwestelijke gedeelte van Misool, gezien van N.

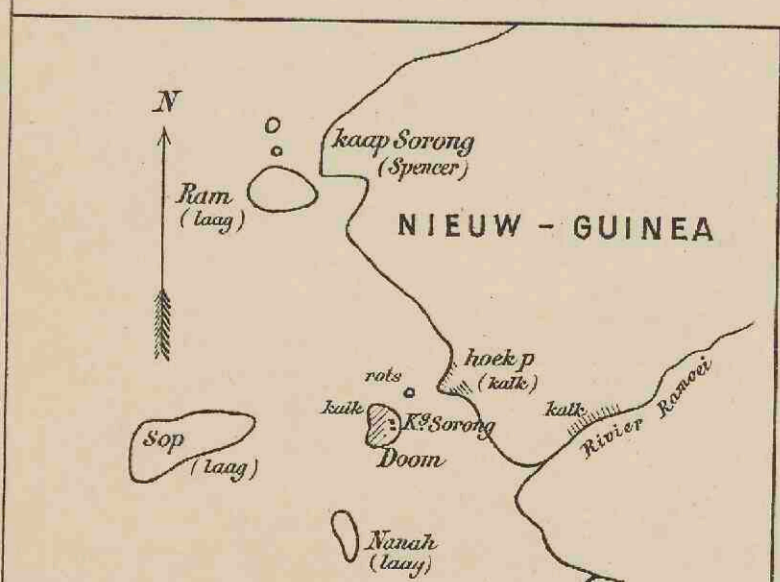
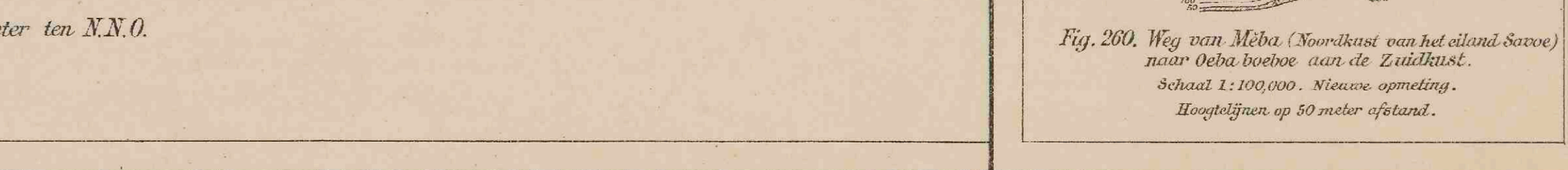
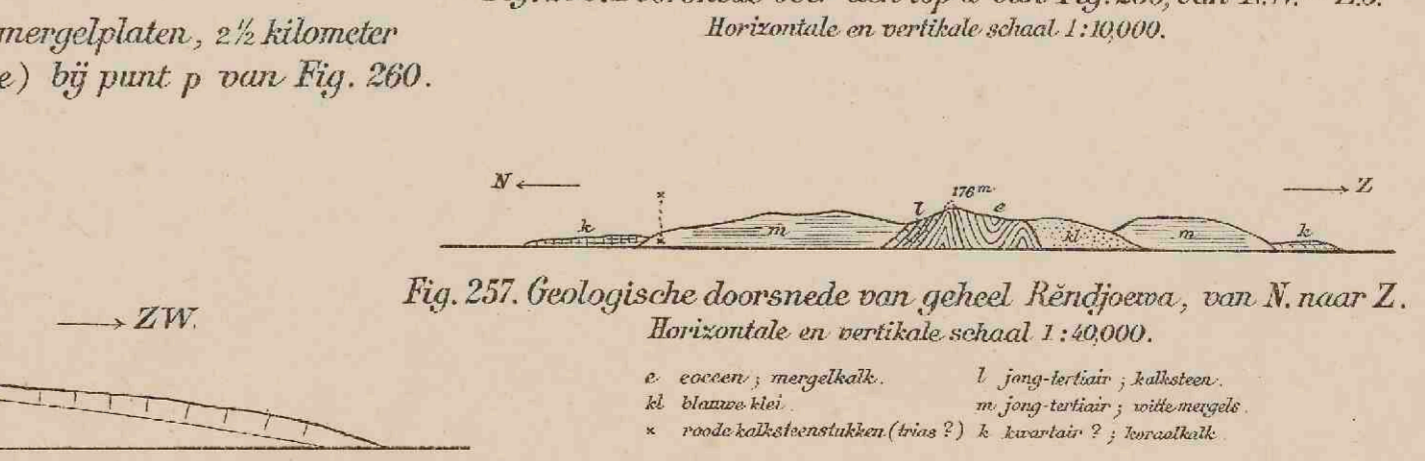
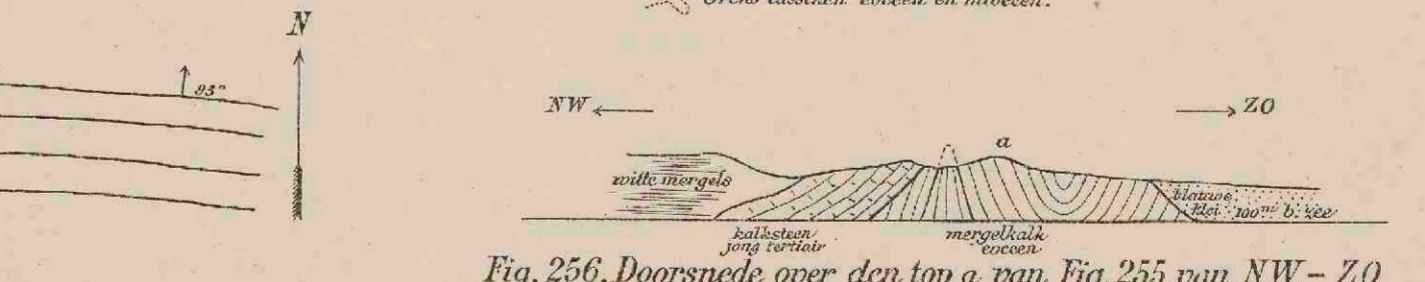
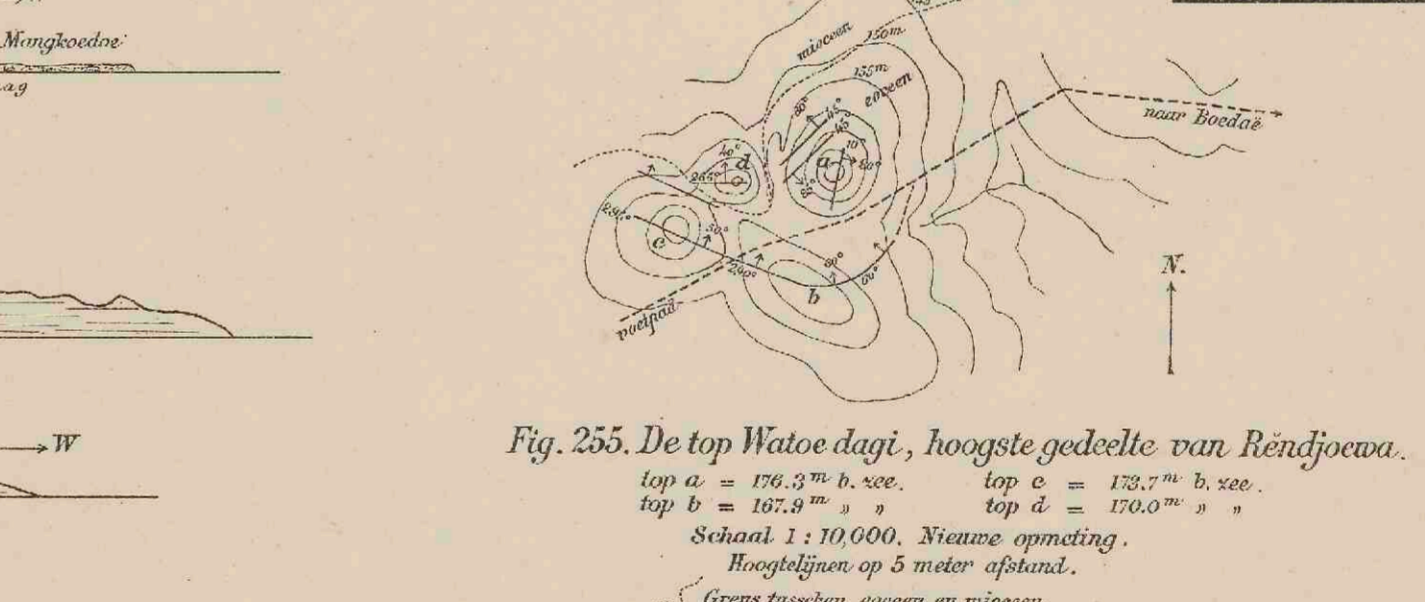
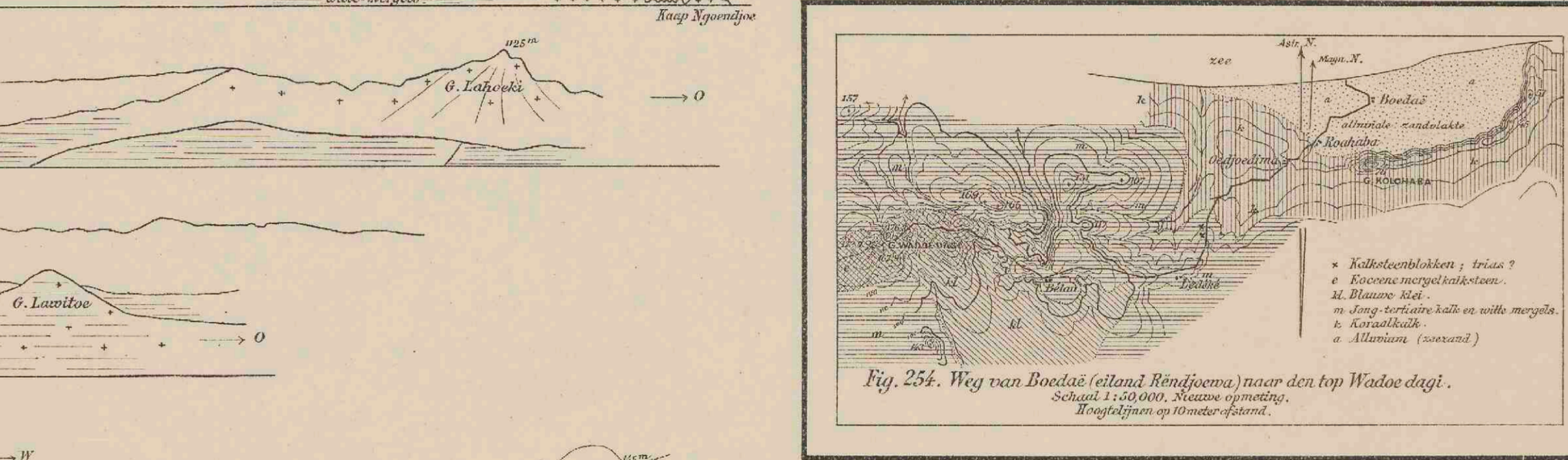
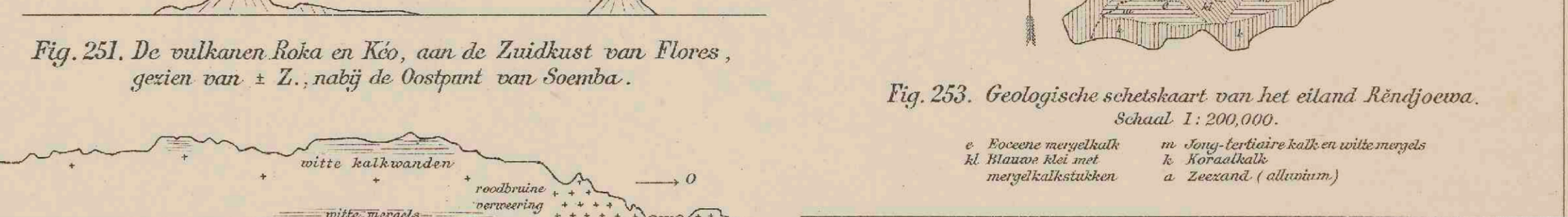
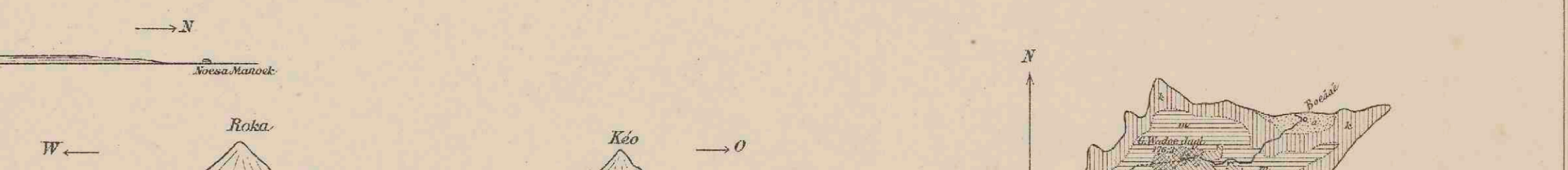
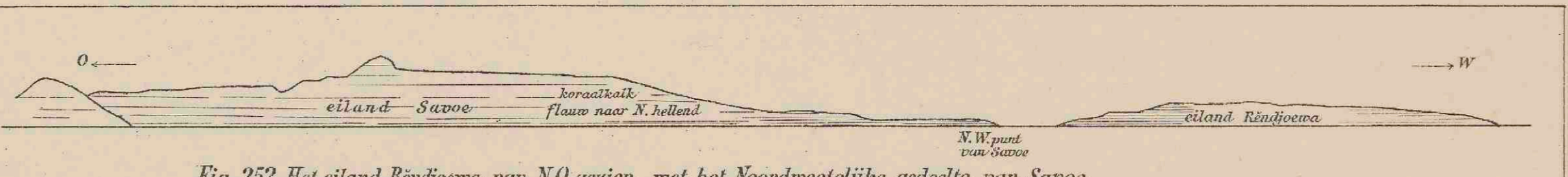
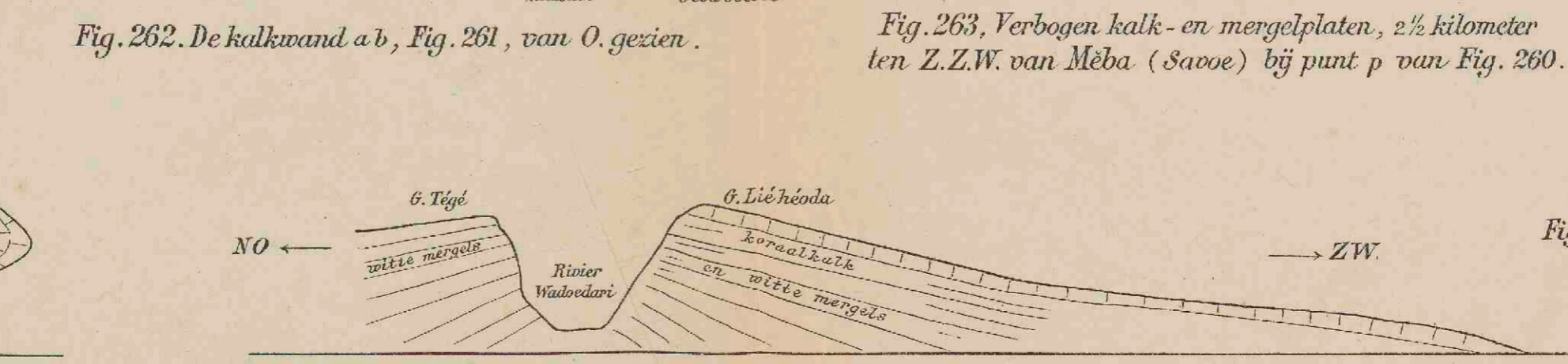
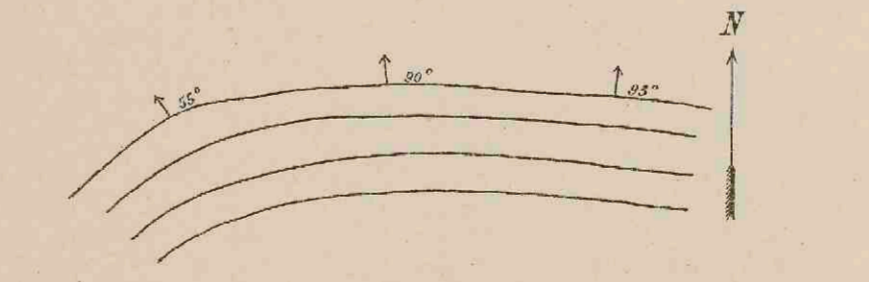
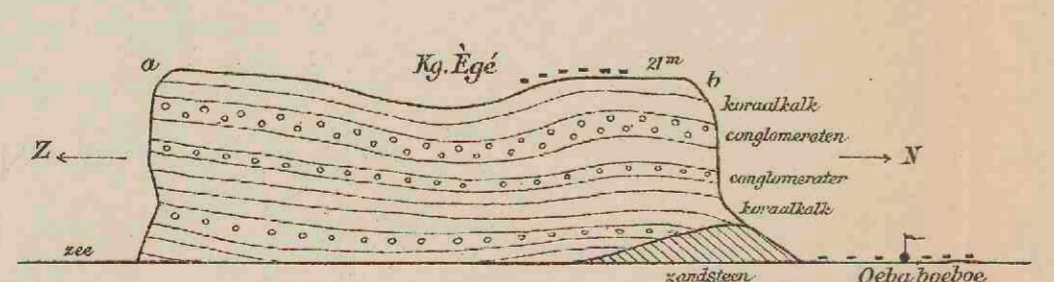
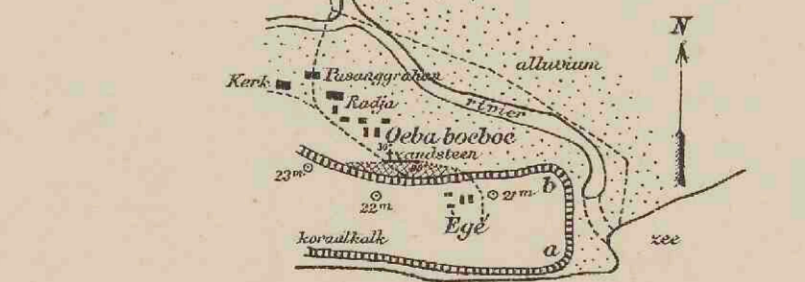
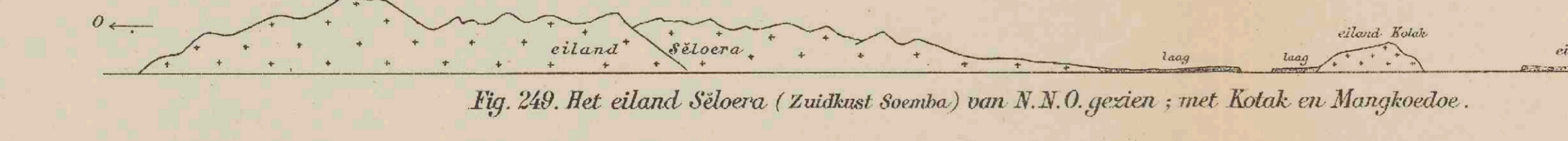
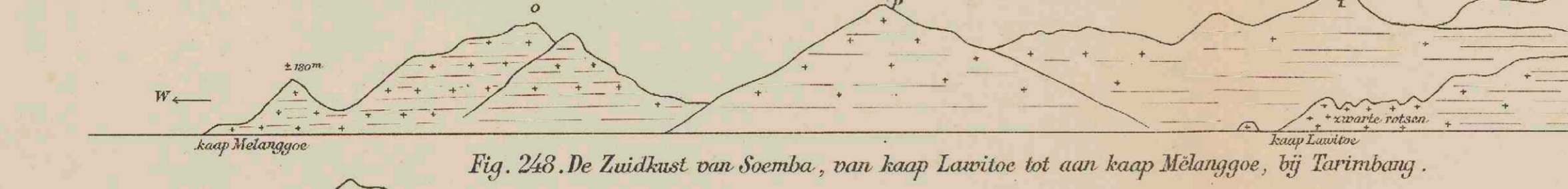
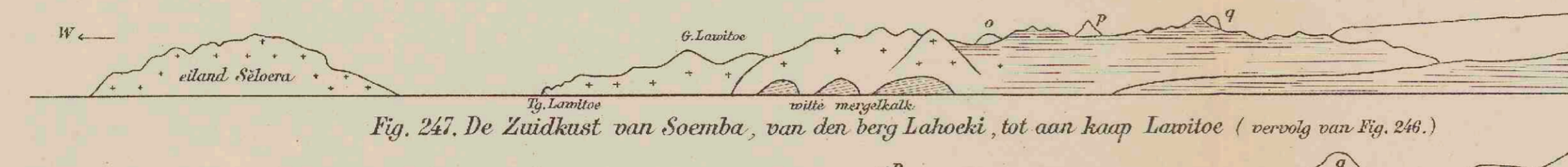
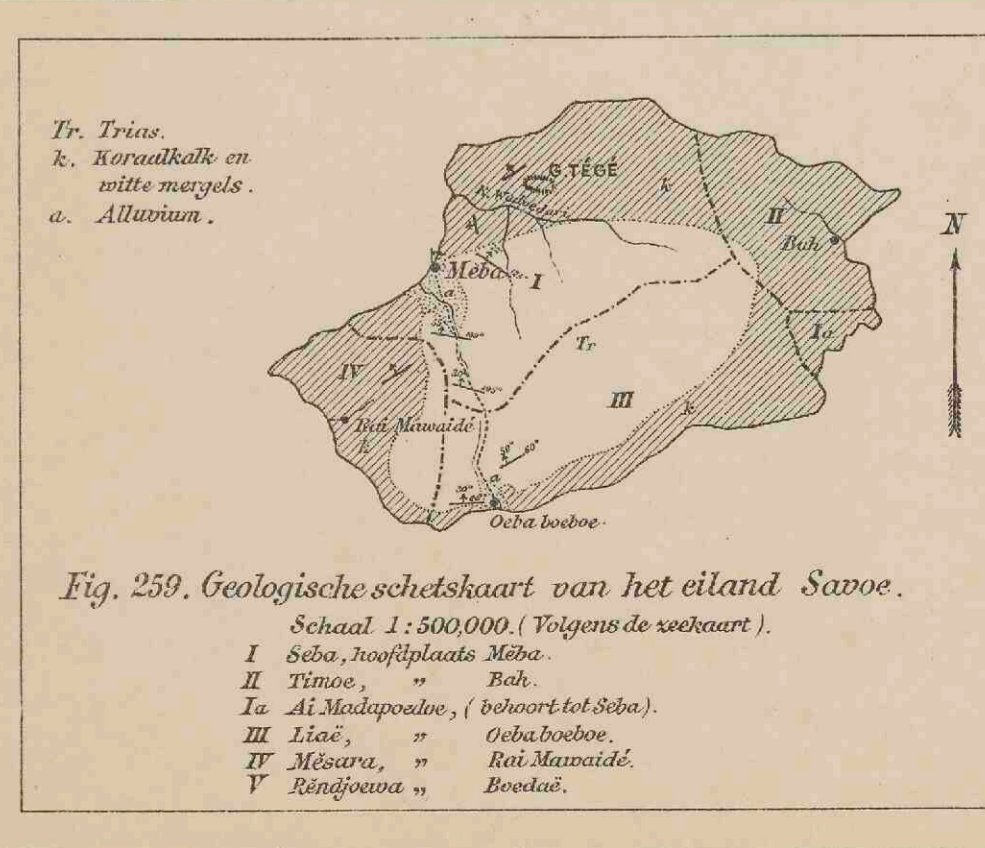
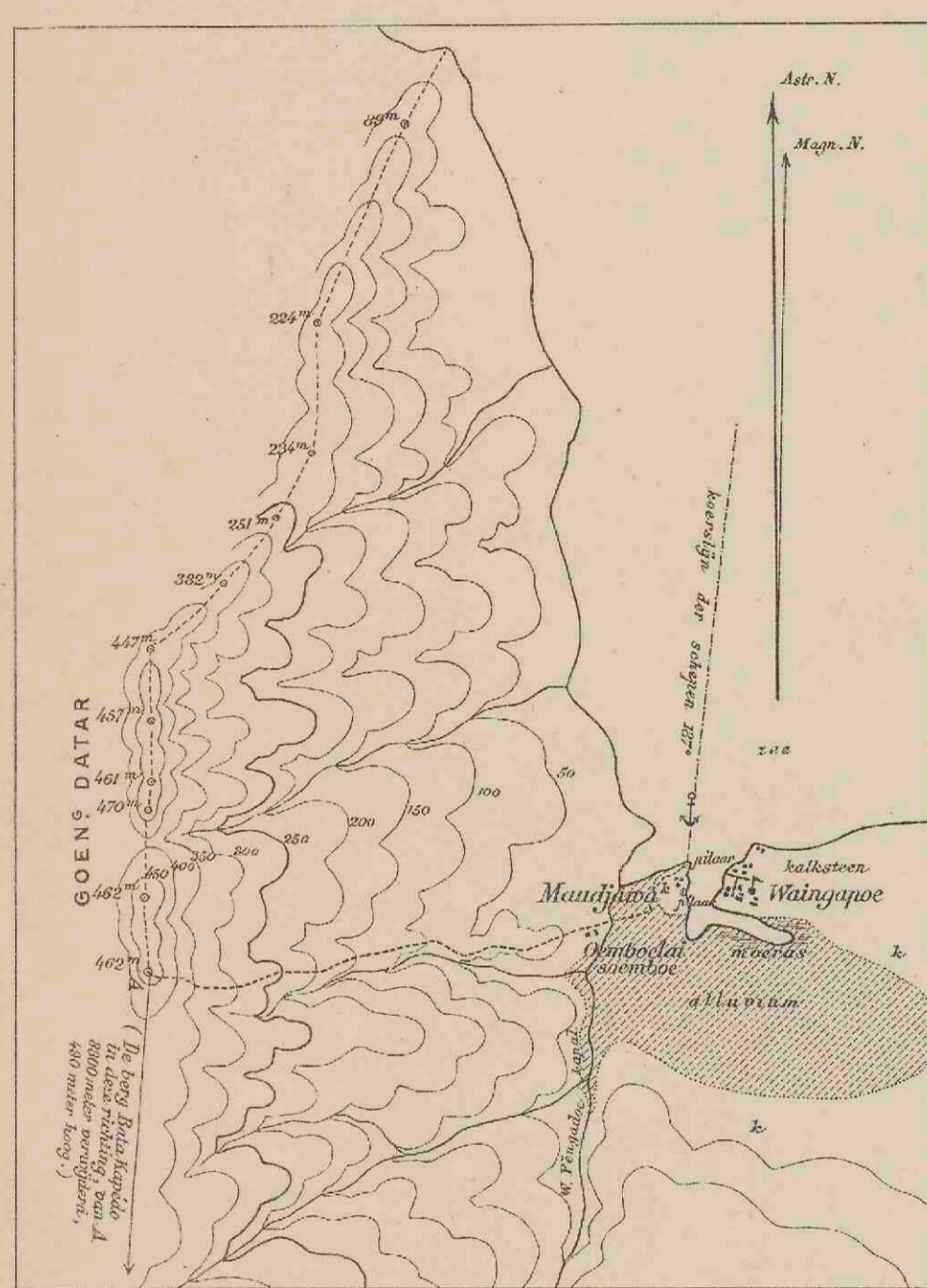
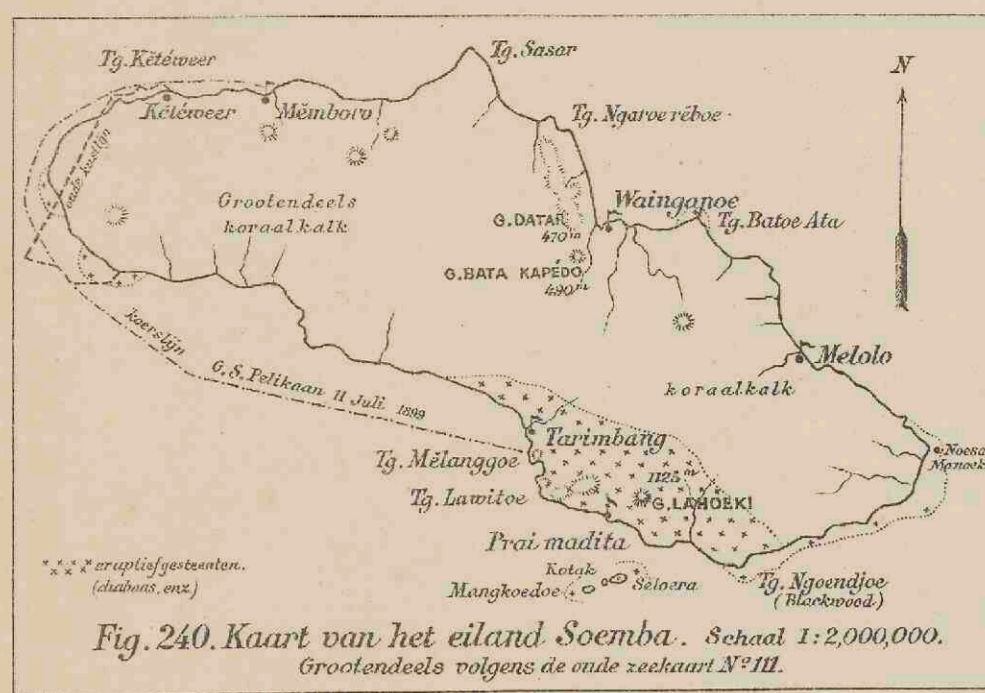


Fig. 235. De eilanden bij kaap Sorong. Schaal 1:200.000. (Volgens de zeekaart N°270, Kaartje N°22.)



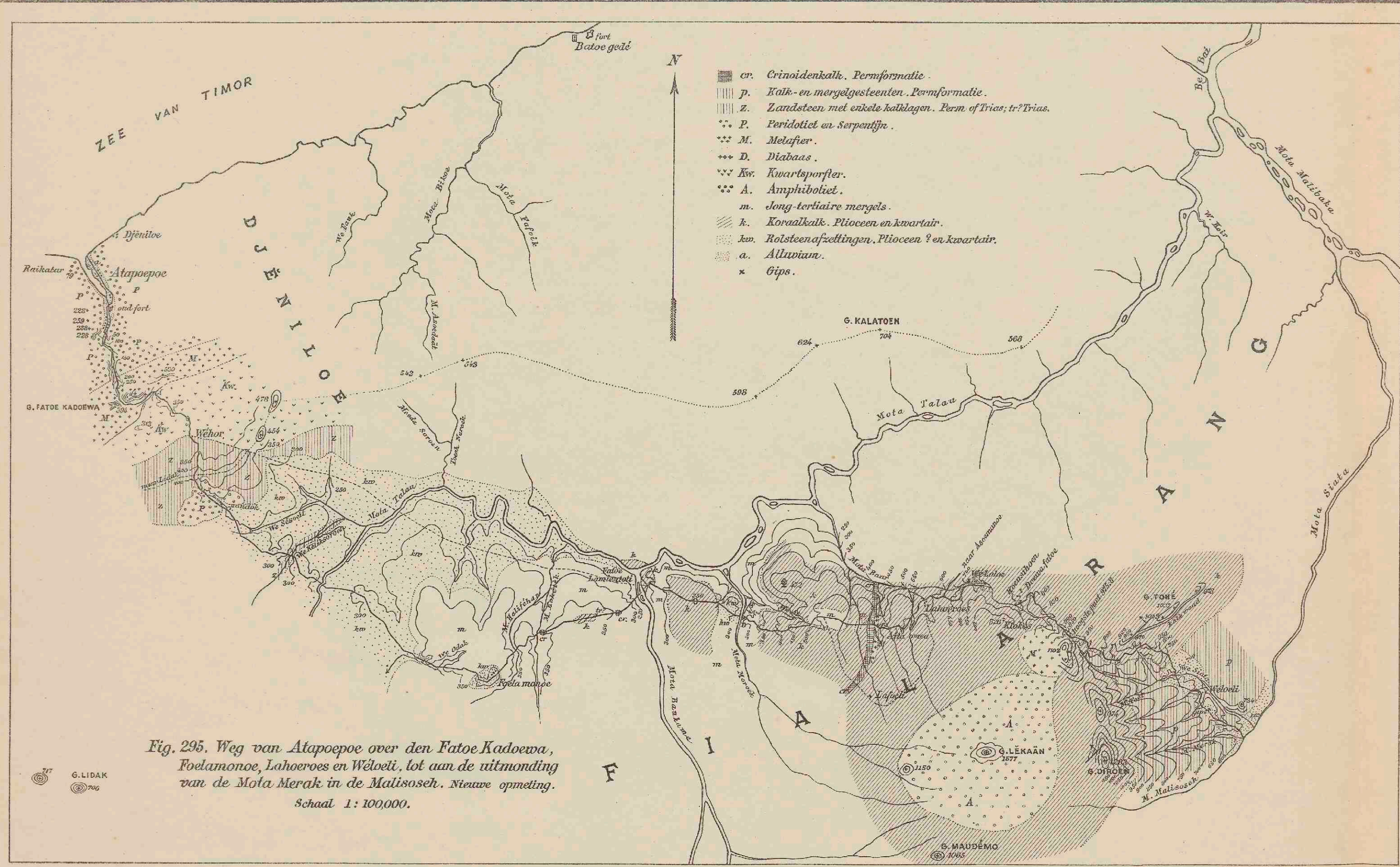


Fig. 295. Weg van Atapoepoe over den Fatoe Kadoewa, Foelamonoe, Lahoeroes en Weloeli, tot aan de uitmonding van de Mota Merak in de Malisoesch. Nieuwe opmeting. Schaal 1:100,000.

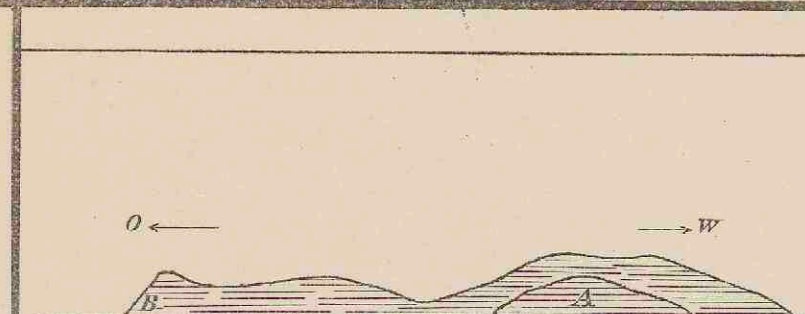


Fig. 292. De kapen Batoe poeth A en B ten Westen van Atapoepoe, van N. gezien.

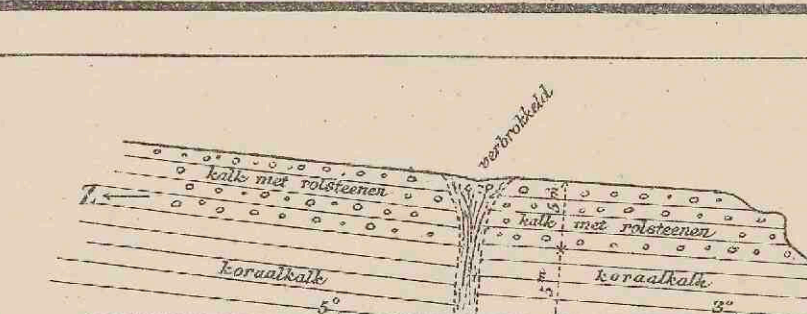


Fig. 293. De kap Batoe poeth A, ten Westen van Atapoepoe, van O. gezien.

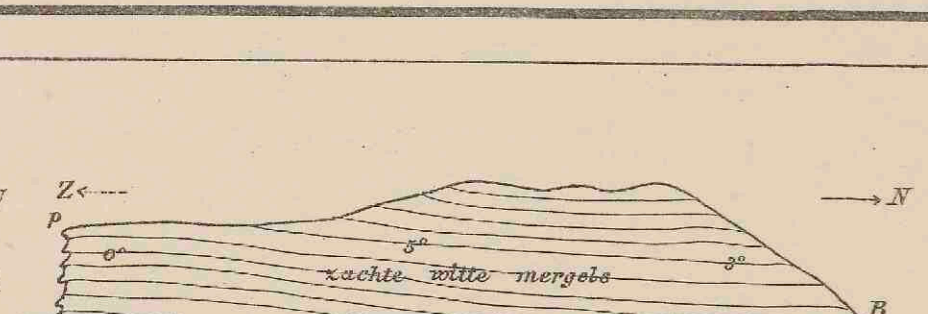


Fig. 294. De kap Batoe poeth B, ten Westen van Atapoepoe, van O. gezien.

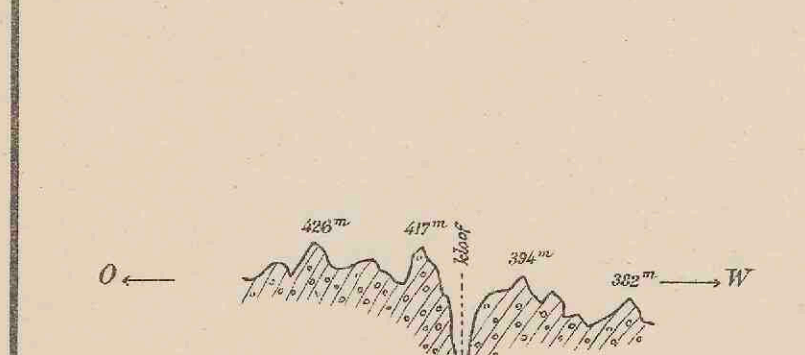


Fig. 297. De kloof van den Fatoe Kadoewa, ten Zuiden van Atapoepoe, van N. gezien.

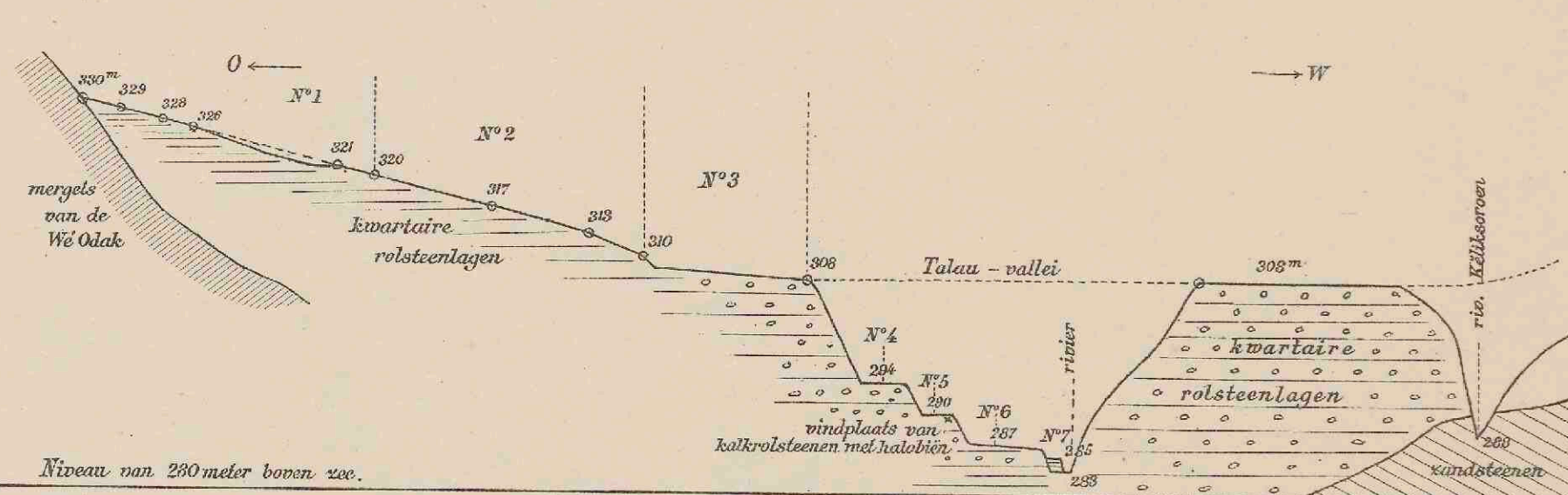


Fig. 298. Kwartaire rolsteenterrassen van de Talau-rivier, op weg van Atapoepoe naar Foelamonoe. Horizontale schaal 1:20,000. Vertikale schaal 1:1000.

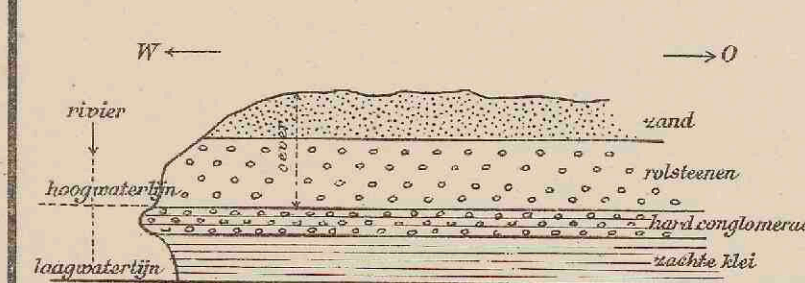


Fig. 299. Kwartaire lagen in de bedding der Talau-rivier.

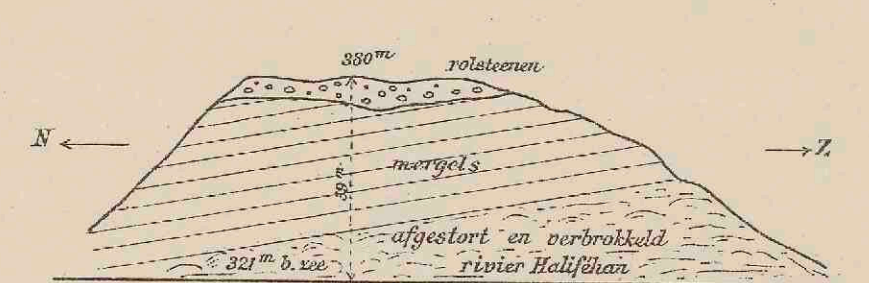


Fig. 300. Mergelheuvel, bedekt door rolsteenen aan den rechter oever der rivier Halfshan, bij Foelamonoe.

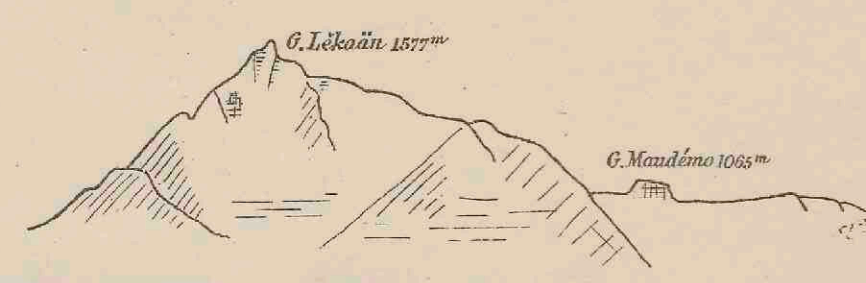


Fig. 301. De Lékaän, gezien van 239° (± W.N.W.), genomen ten W. van de Bankama-rivier.

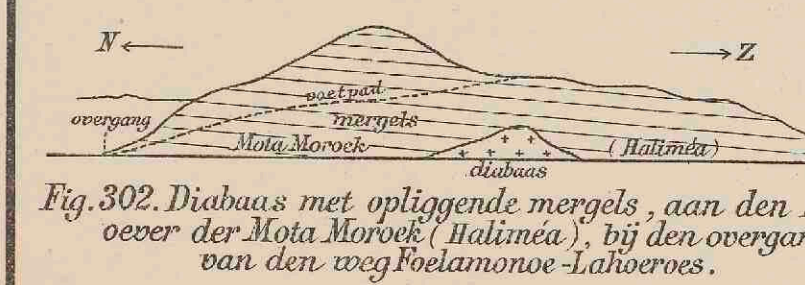


Fig. 302. Diabaas met opliggende mergels, aan den rechter oever der Mota Morok (Haliméa), bij den overgang van den weg Foelamonoe-Lahoeroes.

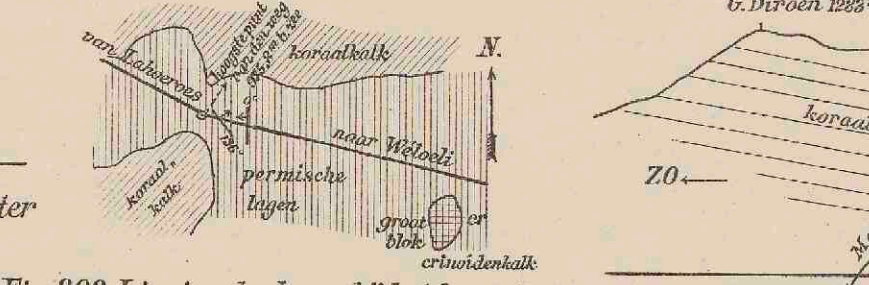


Fig. 303. Ligging der lagen bij het hoogste punt van den weg tusschen Lahoeroes en Weloeli. Schaal 1:10,000.

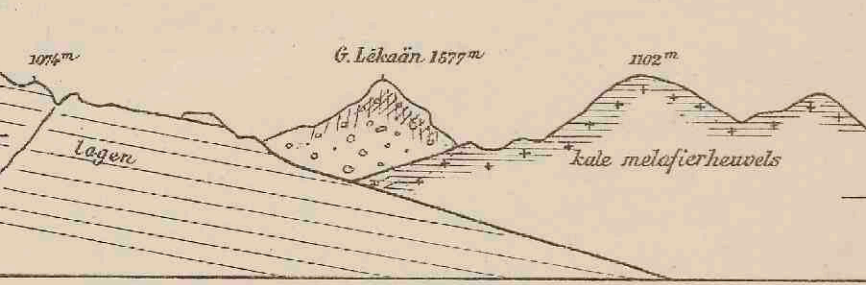


Fig. 304. De Lékaän van N.O. gezien, met den kalkberg Dirvoen.

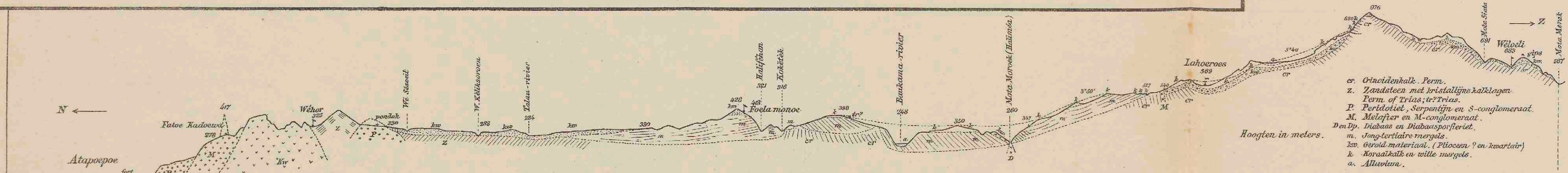


Fig. 296. Geologisch profiel van den weg Atapoepoe-Weloeli-Mota Merak (Fig. 295). Horizontale schaal 1:80,000. Vertikale schaal 1:20,000.

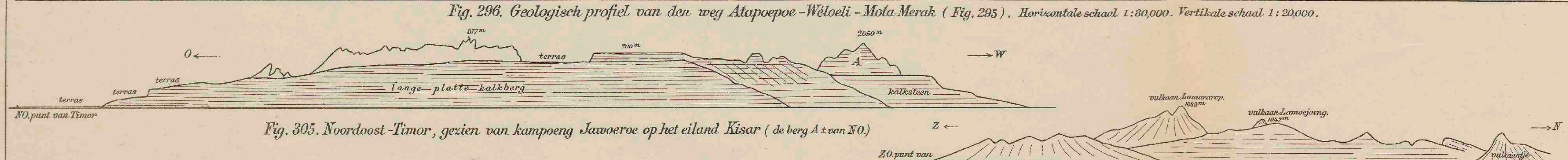


Fig. 305. Noordoost-Timor, gezien van kampoeng Jawoeroe op het eiland Kisar (de berg A ± van NO).



Fig. 311. Poeloe Babi (straat Aloi) van N.W.



Fig. 312. Poeloe Roesa (straat Aloi) van O.N.O.

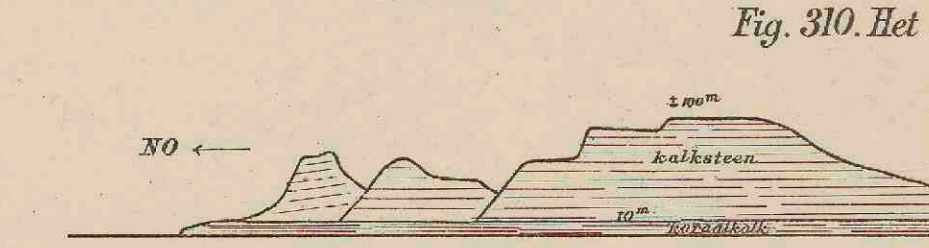


Fig. 313. Poeloe Roesa (straat Aloi) van N.W.

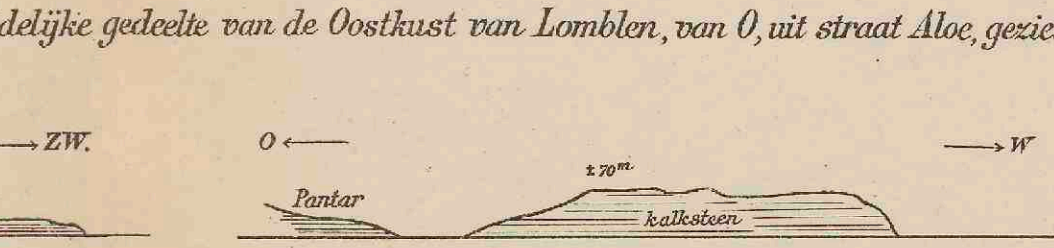


Fig. 314. Poeloe Moridja (straat Aloi) van N.

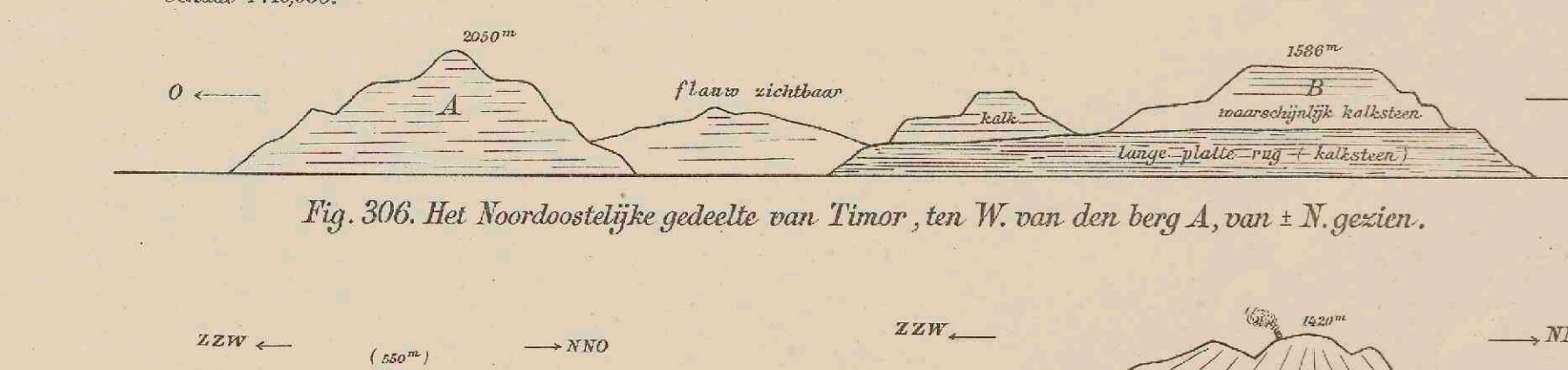


Fig. 306. Het Noordoostelijke gedeelte van Timor, ten W. van den berg A, van ± N. gezien.



Fig. 307. Het eiland Batoe Tara (Kambing II) van O.Z.O., bij Pantar, genomen.

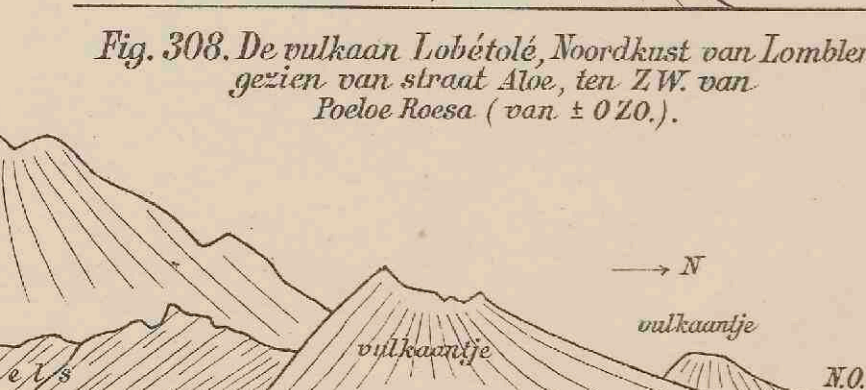


Fig. 308. De vulkaan Labétolé Noordkust van Lomblen, gezien van straat Aloi, ten Z.W. van Poeloe Roesa (van ± O.Z.O.).

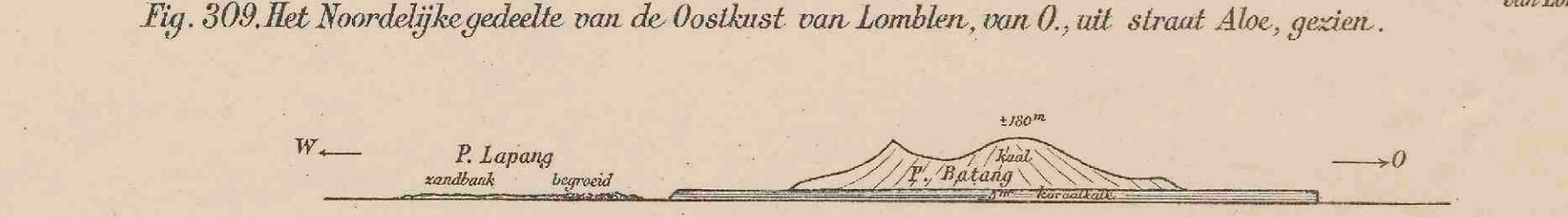


Fig. 309. Het Noordelijke gedeelte van de Oostkust van Lomblen, van O, uit straat Aloi, gezien.

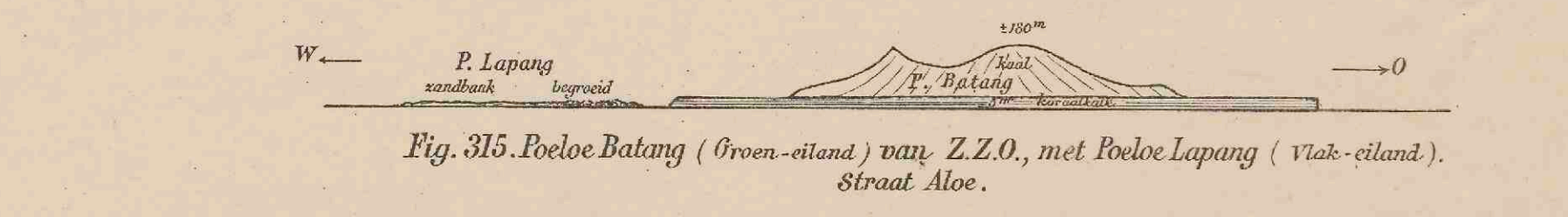


Fig. 315. Poeloe Batang (Groen-eiland) van Z.Z.O., met Poeloe Lapang (Vlak-eiland). Straat Aloi.

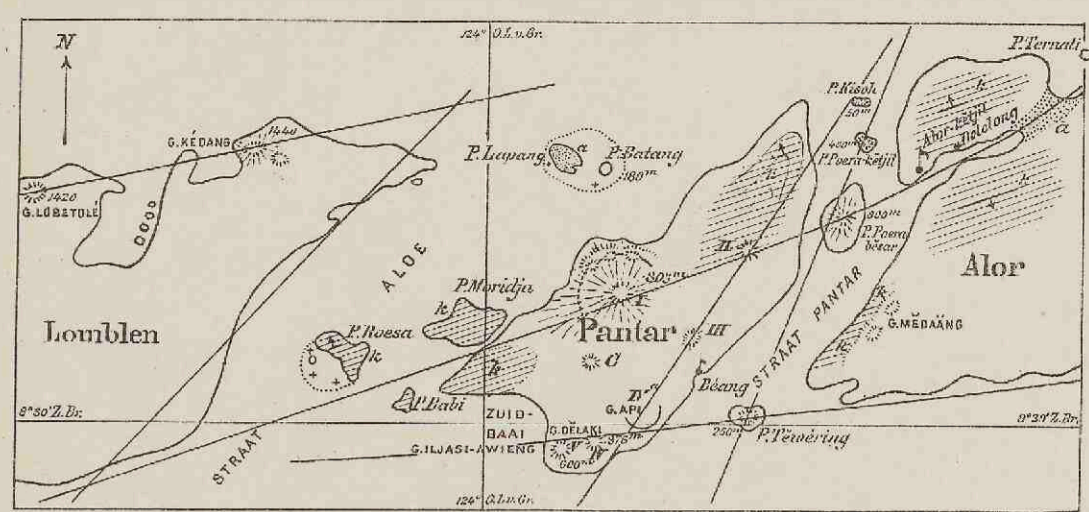


Fig. 316. De eilanden tusschen Lomblen en Alor. Schaal 1:1000000. (Volgens de zeekaart N° 112.)

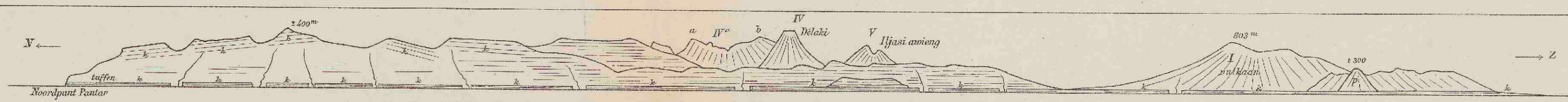


Fig. 317. De Westkust van Pantar, genomen van straat Aloe, nabij Poeloe Batang.

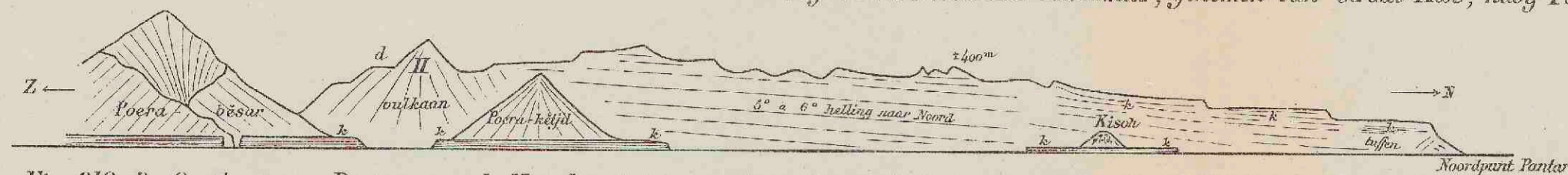


Fig. 318. De Oostkust van Pantar, van de Noordpunt tot aan den vulkaan II. Genomen van het Noordelijk deel van straat Pantar.

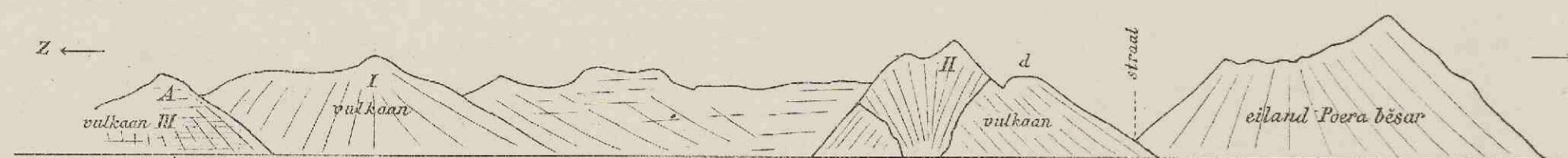


Fig. 319. De Oostkust van Pantar, van den vulkaan II tot den vulkaan III. Genomen van het middengedeelte van straat Pantar.



Fig. 320. De Oostkust van Pantar, van den vulkaan III tot aan de Zuidkust. Genomen van het Zuidelijk gedeelte van straat Pantar.

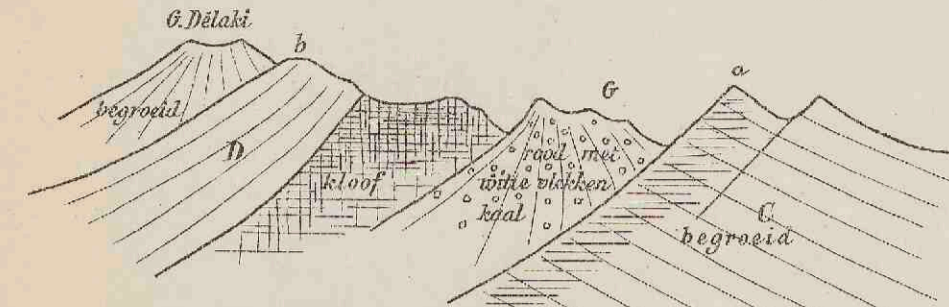


Fig. 321. De berg Delaki met den voorberg ab (IV^a), van het Oosten gezien.

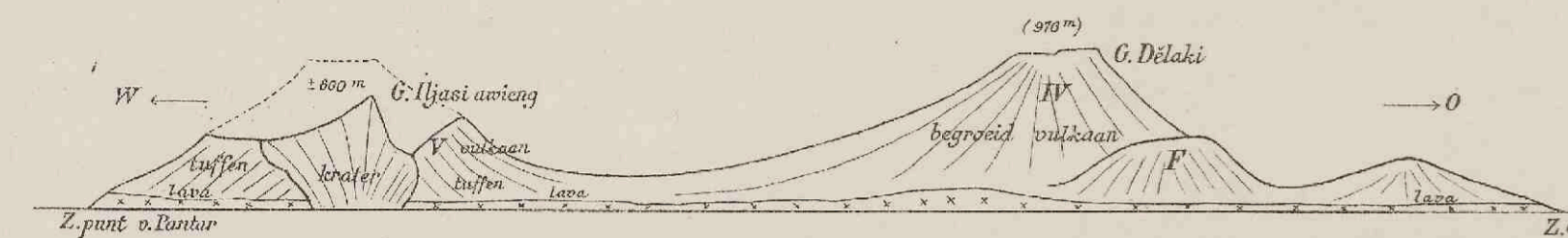


Fig. 322. De Zuidoostkust van Pantar, met den dubbervulkaan Delaki-Ijasi awieng.

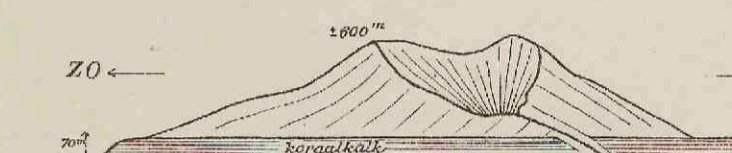


Fig. 327. Het eiland Poera besar, van N.O.



Fig. 326. Het eiland Tewering van N.t.O. met den krater.

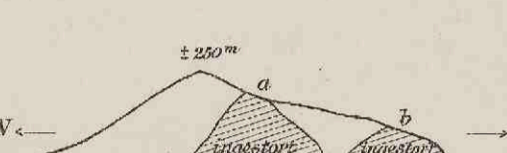


Fig. 325. Het eiland Tewering, van W. met 2 afgestorte stukken a, b, in het Z.W. gedeelte.



Fig. 324. Het eiland Tewering, van N.W.



Fig. 323. De Zuidkust van Pantar, genomen van het Oostelijk gedeelte der Zuid-baai (onder top c). De G. Kedang op Lomblen in het verschiet.

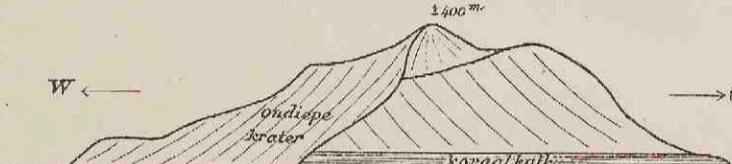


Fig. 328. Het eiland Poera ketjil, van Z.

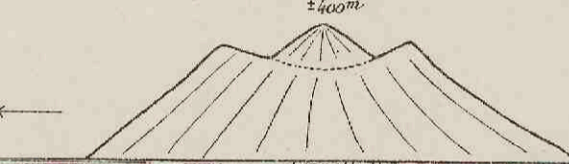


Fig. 329. Het eiland Poera ketjil, van N.W.



Fig. 330. Het eiland Kisoeh (Pantjang der zeekaart) van Z.Z.W.



Fig. 331. Het Zuidwestelijk gedeelte van Alor, van W. gezien.

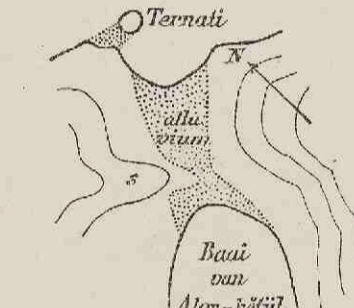


Fig. 332. De pas tusschen de baai van Alor en de Noordkust van Alor. Schets.



Fig. 333. Doorsnede van het terrein van Fig. 332, van N.W.-Z.O.

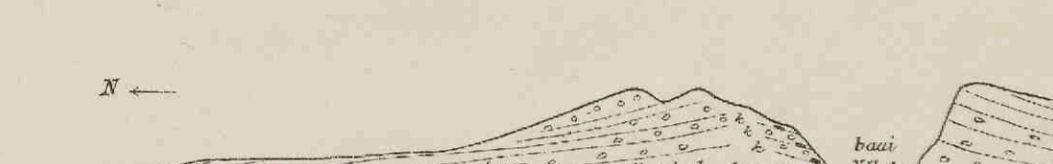


Fig. 334. Het Noordwestelijk gedeelte van Alor, tot aan de baai Kebola, van W. gezien.



Fig. 335. De hevel Parlamadolo, aan den ingang der baai Kebola bij Alor ketjil, van Z.W.

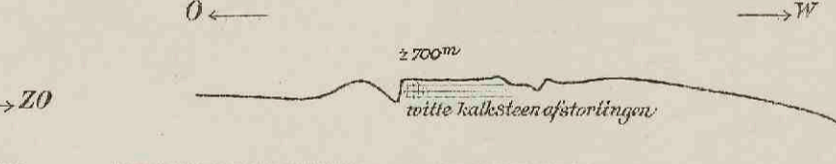


Fig. 336. Hooge, platte bergen, waarschijnlijk kalksteen, in het binnenland van Alor, van N. gezien.



Fig. 337. De piek van Alor, met den rug uitlopende in de 4^{de} kaap, gerekend van de N.O. kaap van Alor. Van N.O. gezien.



Fig. 338. De Noordkust van Alor, van de N.O. punt (1^{ste} kaap) tot aan de 2^{de} kaap. Gezien van N.O.



Fig. 339. De Oostkust van Alor, van O. gezien. Aan de Zuidzijde hellende kalkterrassen.

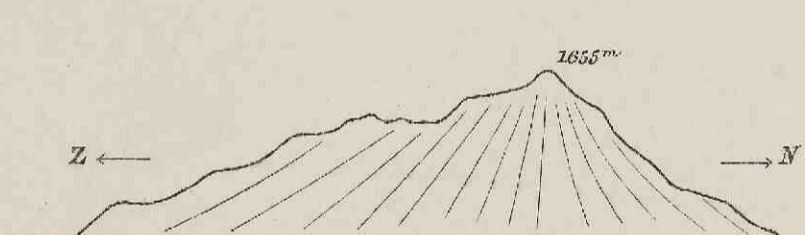


Fig. 340. De piek van Alor van O.Z.O. bij Poeloe Kambing I, gezien.

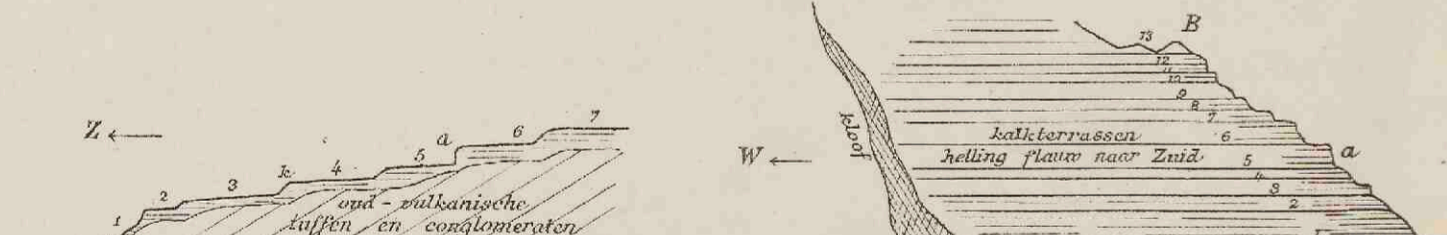


Fig. 344. De onderste 7 kalkterrassen bij de Z.O. punt van Kambing I, van O. nog meer naderbij, genomen.



Fig. 345. De Z.O. punt van P. Kambing I, van Z. gezien.

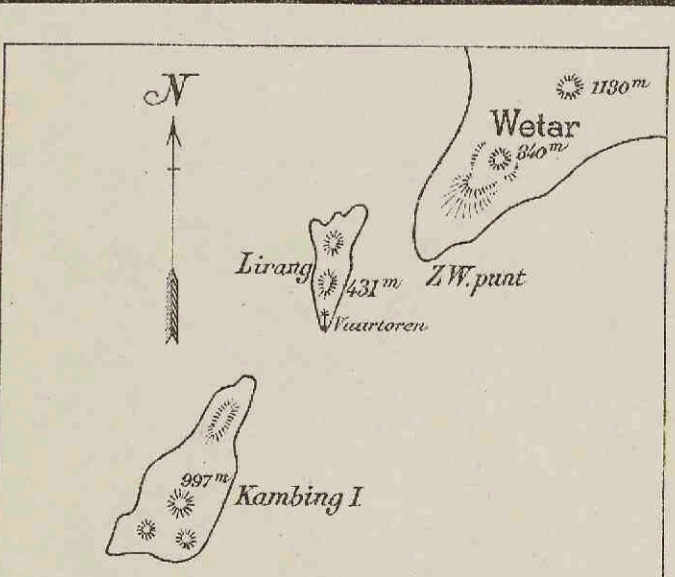


Fig. 341. De eilanden Kambing I en Lirang bij de Z.W. punt van Wetar. Schaal 1:1000000. Volgens de zeekaart N° 112.



Fig. 342. De Oostkust van het eiland Kambing I, van N.O. gezien.

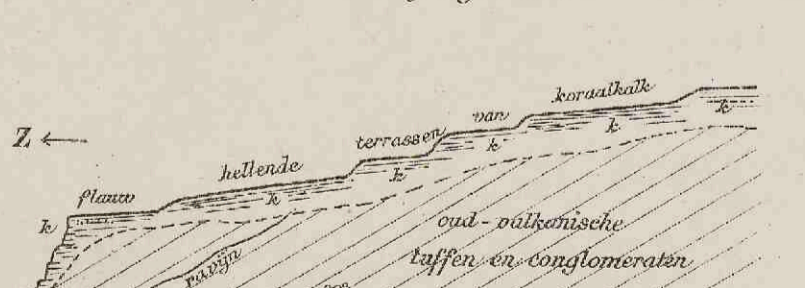


Fig. 343. De Z.O. punt van Poeloe Kambing I, van N.O. meer naderbij, gezien.

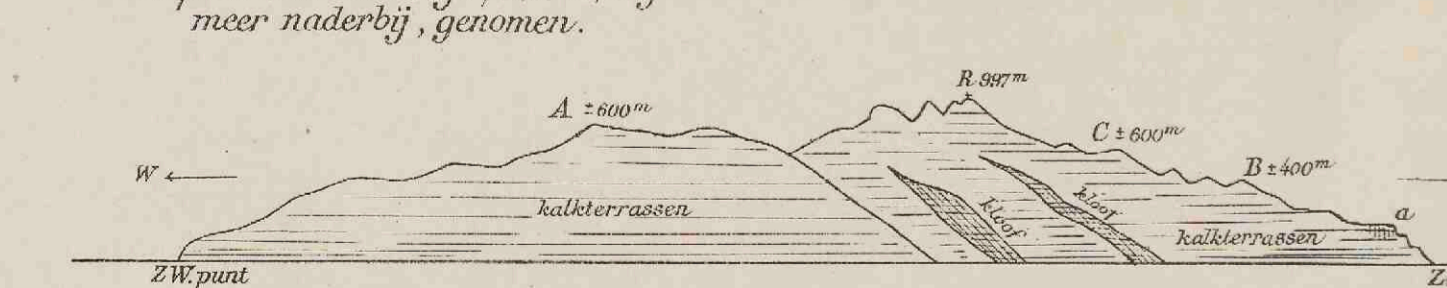


Fig. 346. De Zuidkust van het eiland Kambing I, van Z.W. gezien.

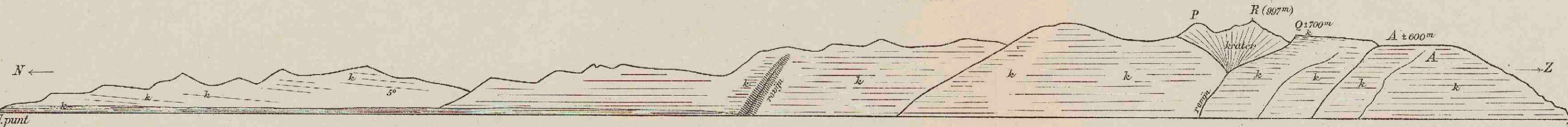


Fig. 347. De Westkust van het eiland Kambing I, van W. genomen.

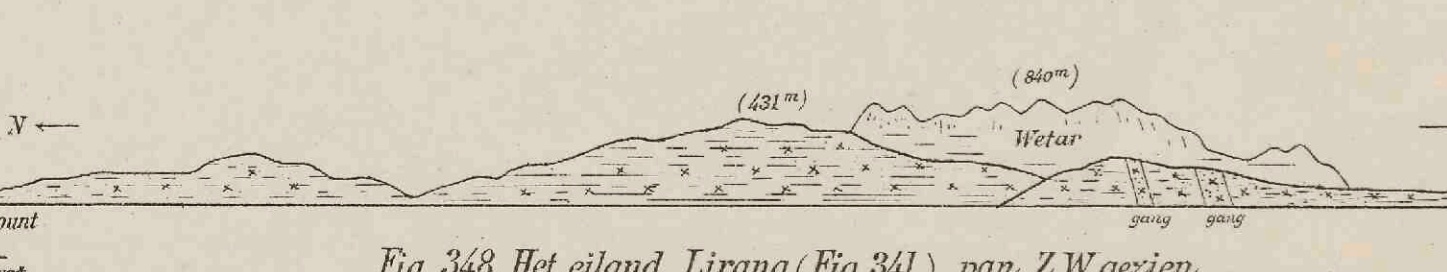


Fig. 348. Het eiland Lirang (Fig. 341), van Z.W. gezien.

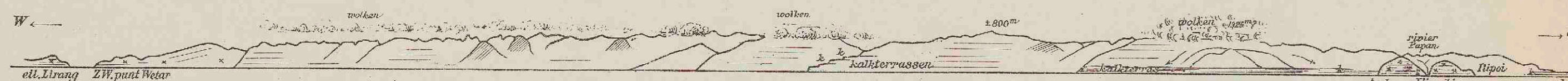


Fig. 349. De Zuidkust van Wetar, van de Z.W. punt tot aan den hoek van Iliwaki.

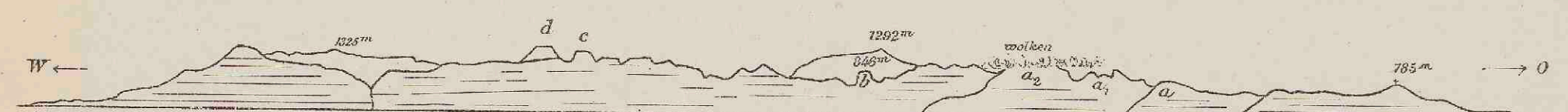


Fig. 350. De Zuidkust van Wetar, van den hoek van Iliwaki tot aan de Z.O. punt.

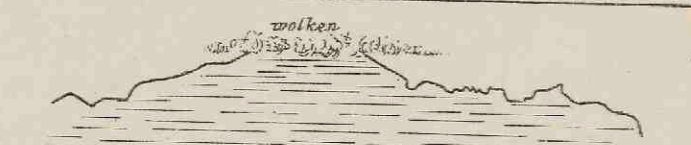


Fig. 351. Gekartelde berg, N.O. van Iliwaki, waarschijnlijk de top a, van Fig. 350.



Fig. 352. De hoek van Iliwaki, naderbij, van ± O.Z.O. gezien.



Fig. 353. De baai van Iliwaki, van den vlaggestok tot aan den hoek; van ± Z. gezien.



Fig. 354. De omgeving van Iliwaki. Schets.

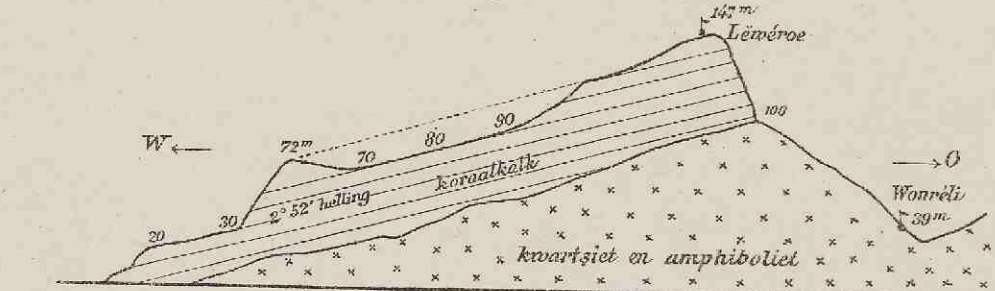


Fig. 355. Het eiland Kisar. Volgens de zeekaart N° 146. Schaal 1:500,000.



Fig. 359. Het eiland Roma, met omliggende eilanden. Schaal 1:1,000,000. 1. Noesa Telang, 2. Noesa Laut, 3. Noesa Kital, 4. Maepoera, 5. Djoeka, 6. Noesa Meters, 7. Noesa Njata.

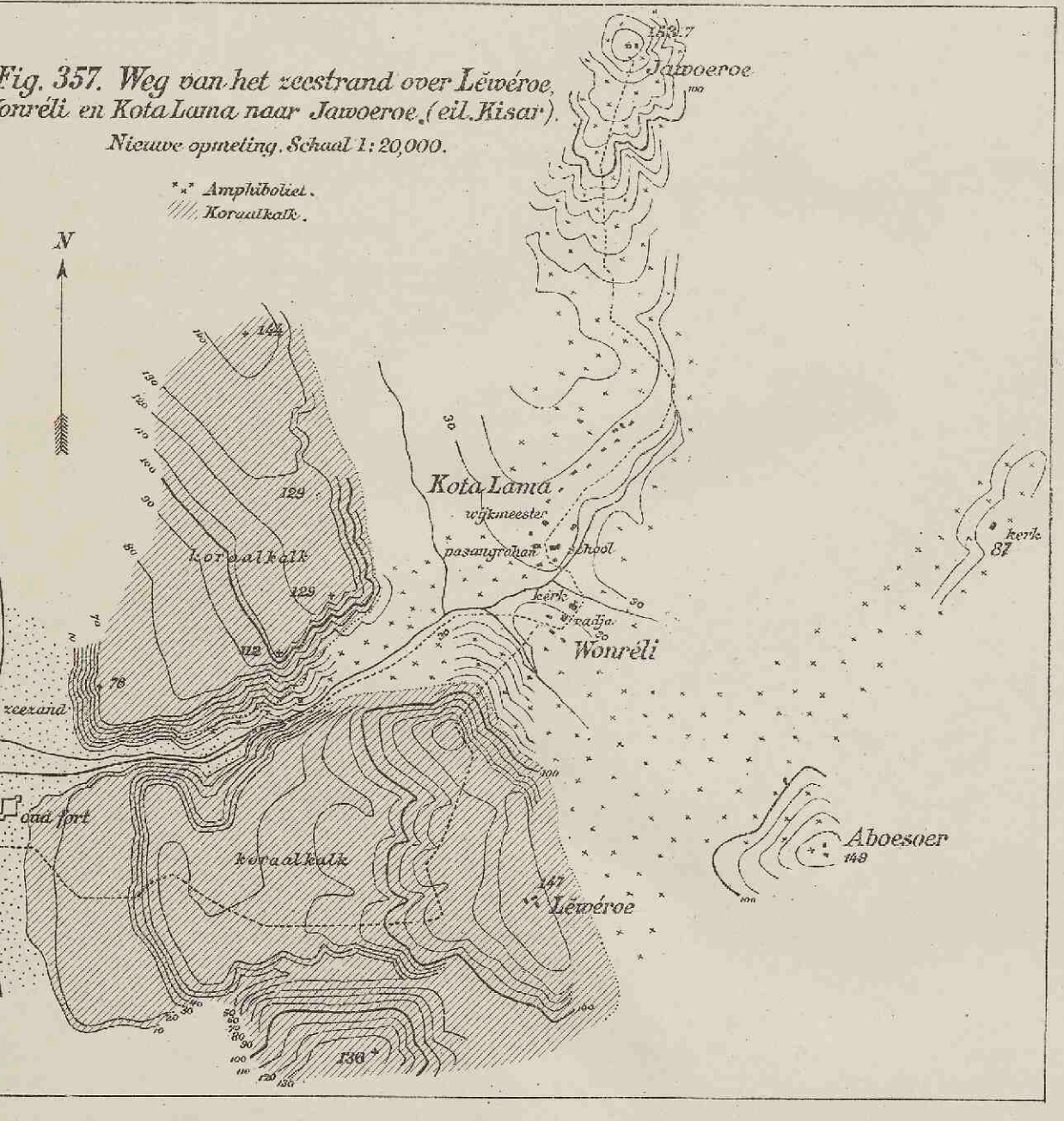


Fig. 357. Weg van het strand over Léwéroë, Wonréli en Kota Lama naar Jawoeroë (eil. Kisar). Nieuwe opmeting, Schaal 1:20,000.

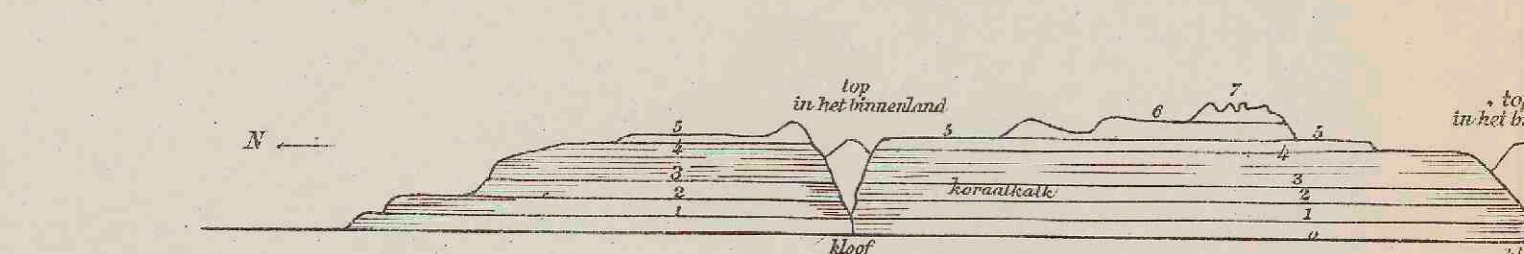


Fig. 356. De Westkust van het eiland Kisar, van W. gezien.

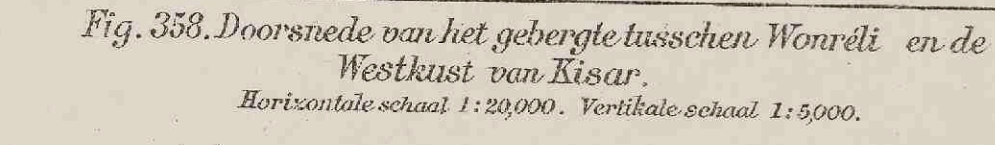


Fig. 358. Doorsnede van het gebergte tusschen Wonréli en de Westkust van Kisar. Horizontale schaal 1:20,000. Vertikale schaal 1:5,000.

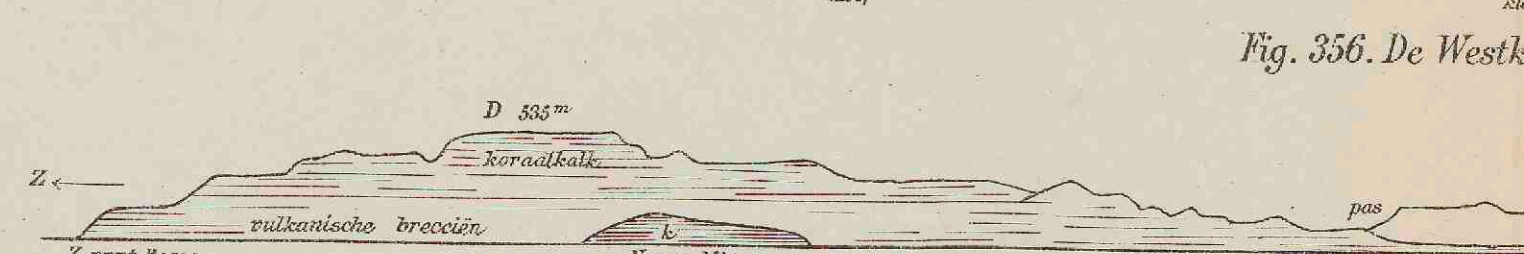


Fig. 360. De Oostkust van Roma, van het Oosten gezien.



Fig. 361. De Westkust van Roma, van Hila tot aan de Zuidpunt.

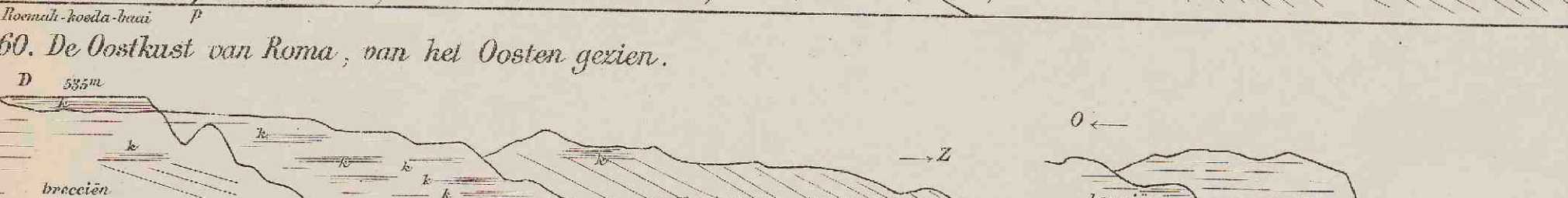


Fig. 362. De Westpunt (w) van Roma, met Noesa Njata, van N.O. gezien.

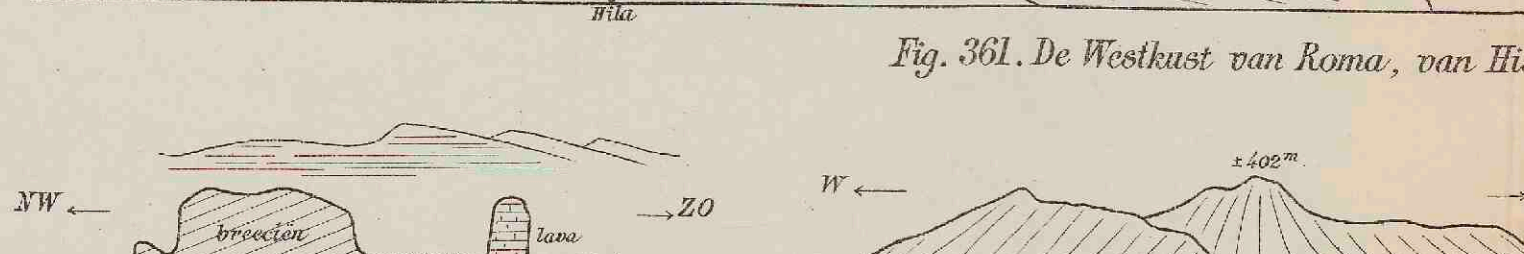


Fig. 363. Breccien en lava bij de Westpunt (w) van Roma, van Z.W. genomen.



Fig. 364. Noesa Njata, van Hila (± Z.Z.O.) gezien.



Fig. 365. De N.O. hoek (q) van Roma, van N.O. genomen.

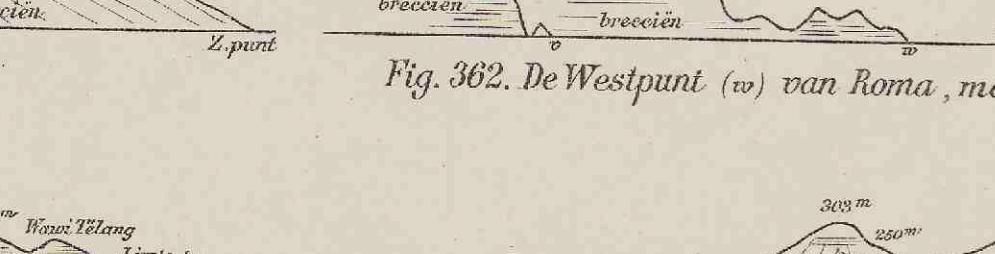


Fig. 366. De eilanden ten Oosten van Roma, Noesa Kital van Z., Maepoera van W. gezien.

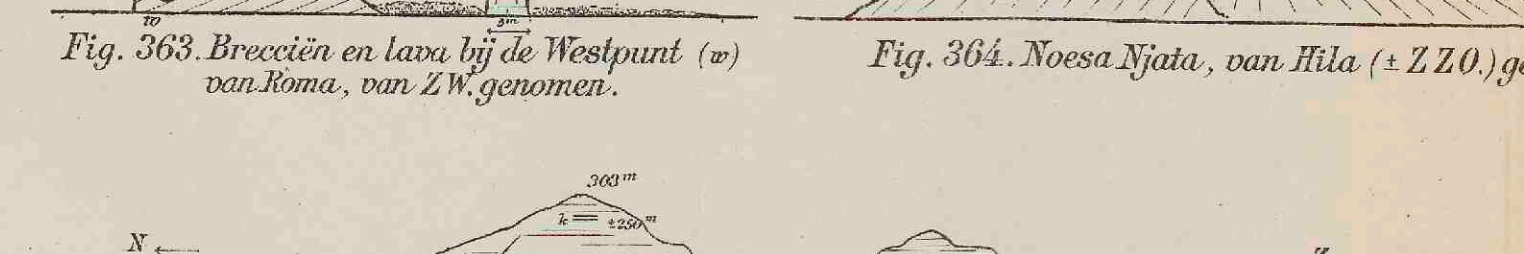


Fig. 367. Het eiland Maepoera, van W.N.W.

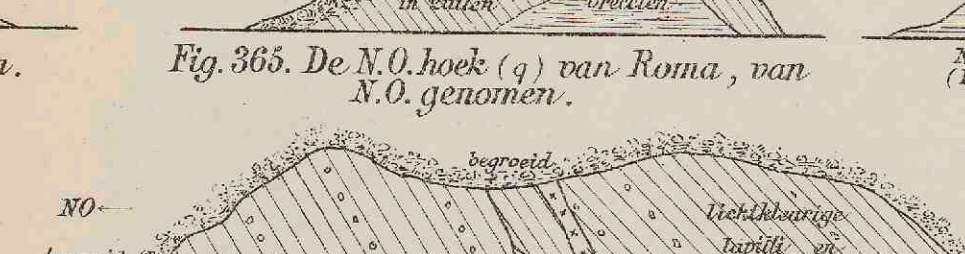


Fig. 368. Het gedeelte A van Fig. 367, naderbij geteekend.

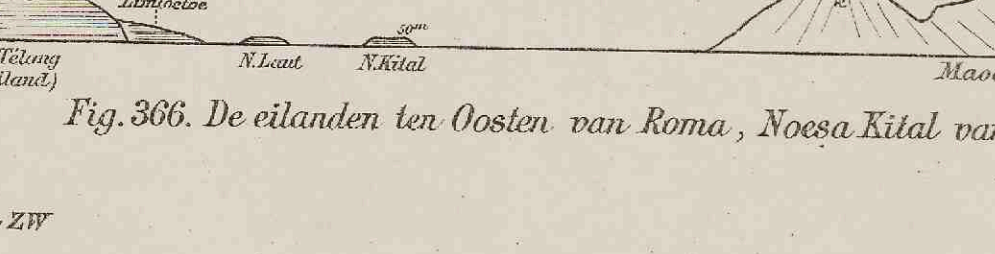


Fig. 369. Noesa Laut, van W. gezien.

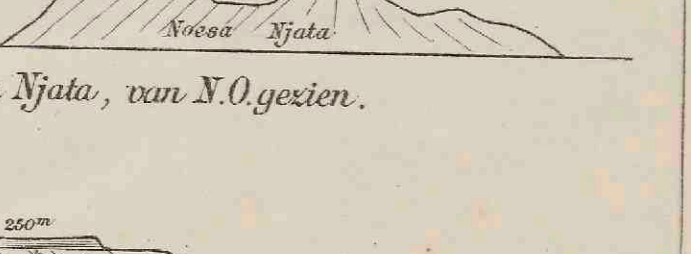


Fig. 370. Noesa Telang (Piek-eiland), van N.W. gezien.

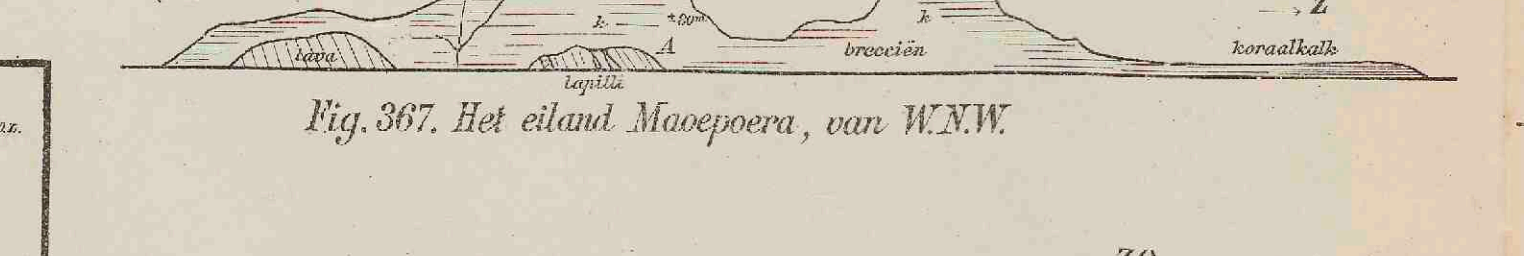


Fig. 372. Het eiland Leti, gezien van de kampoeng Jawoeroë op Kisar (van ± W.t.N.).

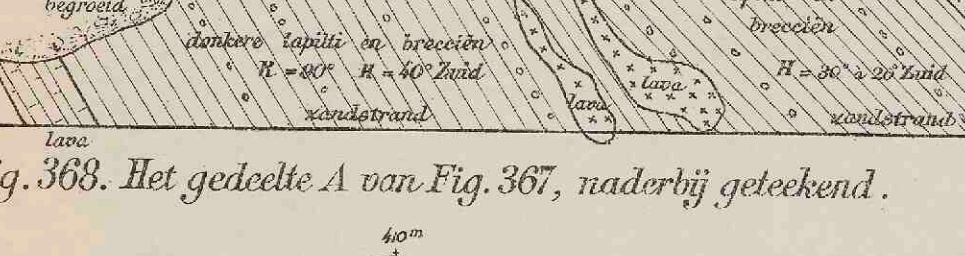


Fig. 373. Het eiland Leti van N.O. gezien.

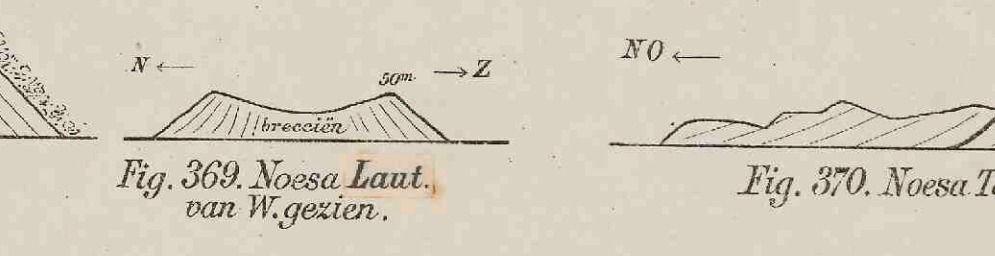


Fig. 375. Doorsnede der lagen van Sérwaroë over den put Prigi tiga naar den G. Javanoëa, en dan naar den G. Enderi. Eiland Leti.

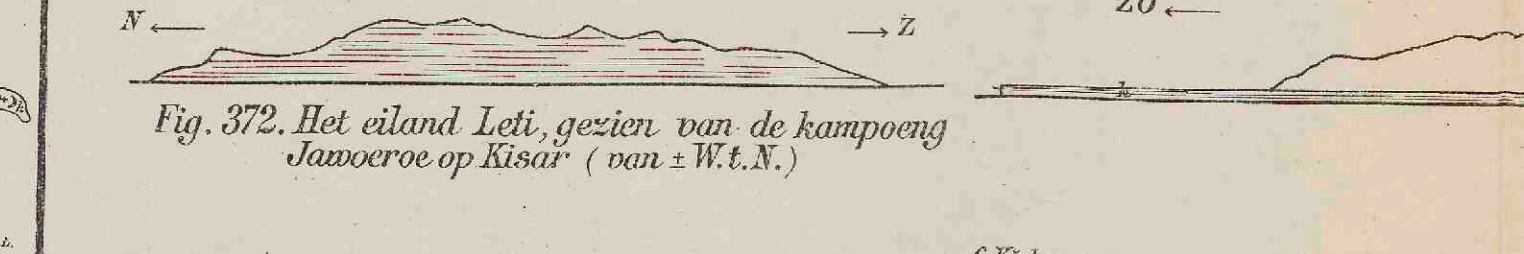


Fig. 376. De Noordkust van Moe, den G. Kérbau van ± N. gezien.



Fig. 377. Het eiland Loeang, van N.W. gezien.

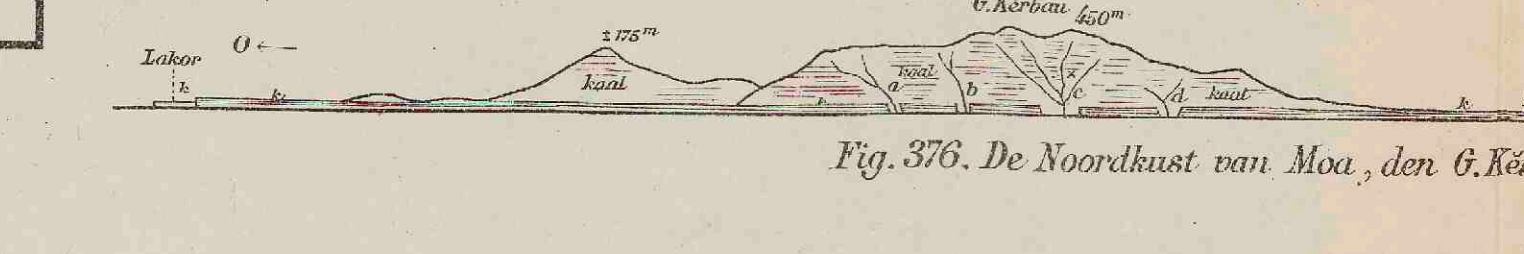


Fig. 378. Het eiland Loeang, van N.O. gezien.

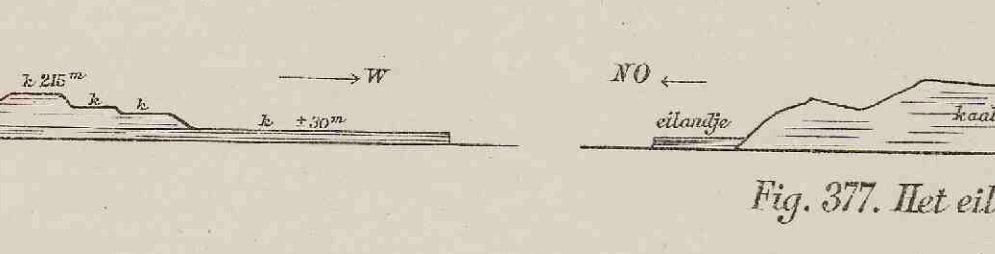


Fig. 379. De Westpunt van Sérmatá, van N. gezien.

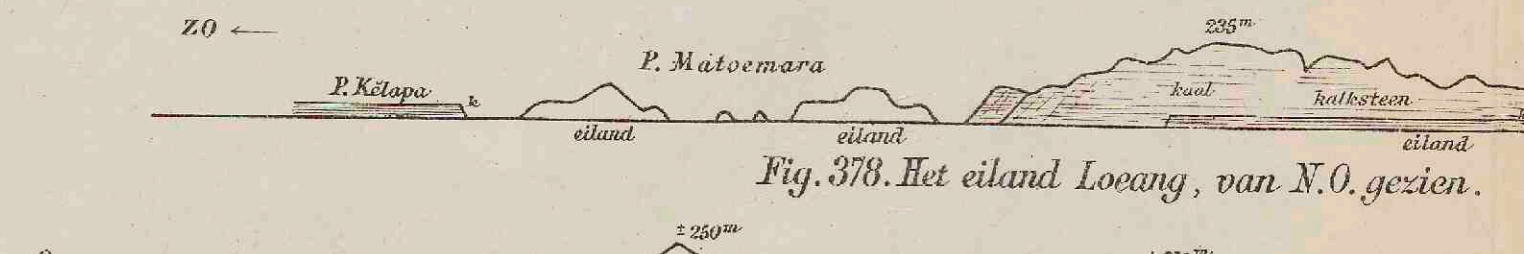


Fig. 380. Het eiland Sérmatá, van N.O. gezien.

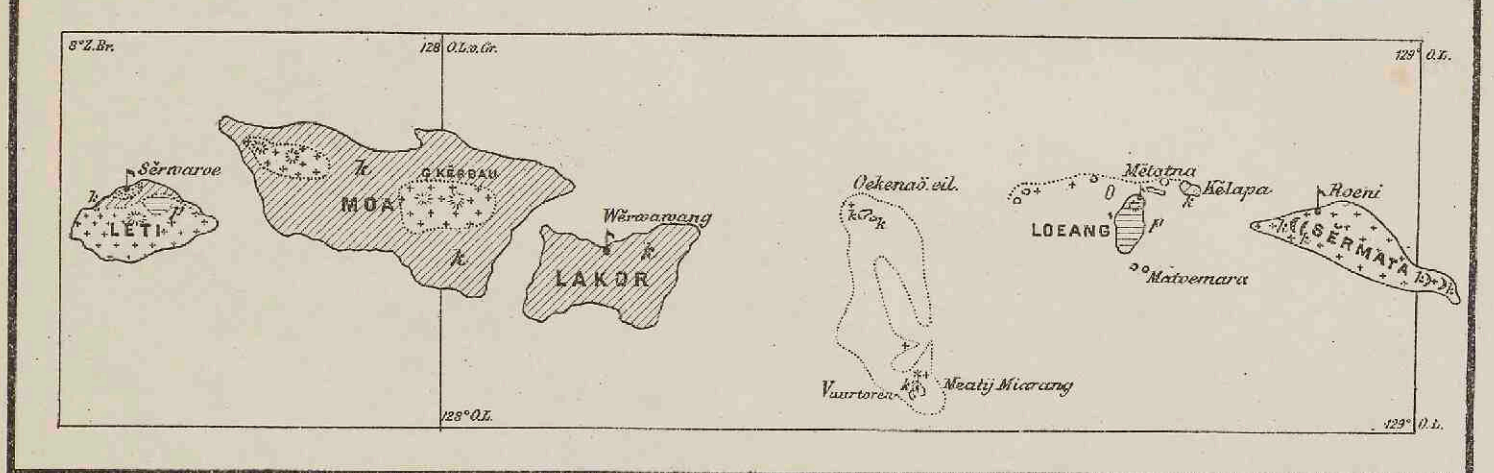


Fig. 371. De eilanden Leti, Moe, Lakor, Oekewo, Loeang, Kélapa en Sérmatá. (Volgens de zeekaart N° 146.) Schaal 1:1,000,000.

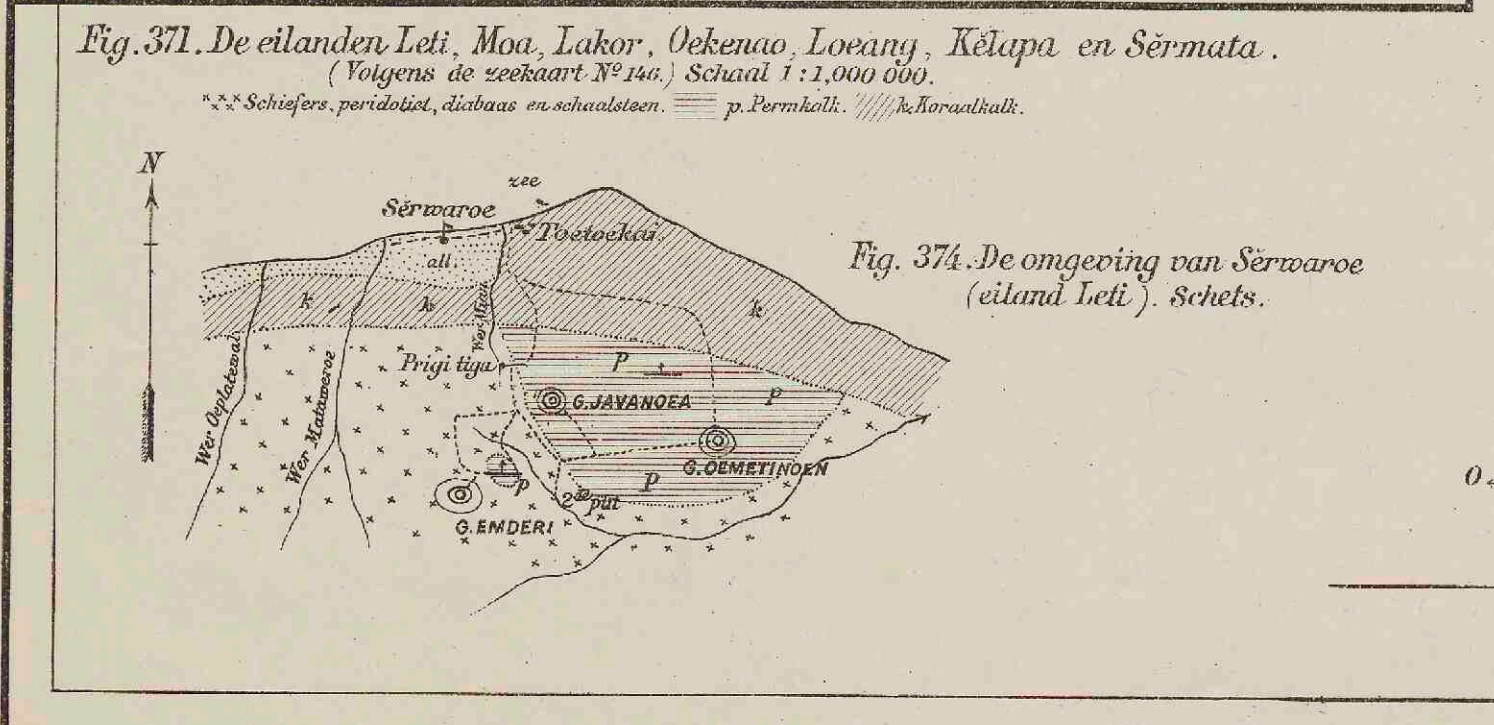


Fig. 374. De omgeving van Sérwaroë (eiland Leti). Schets.

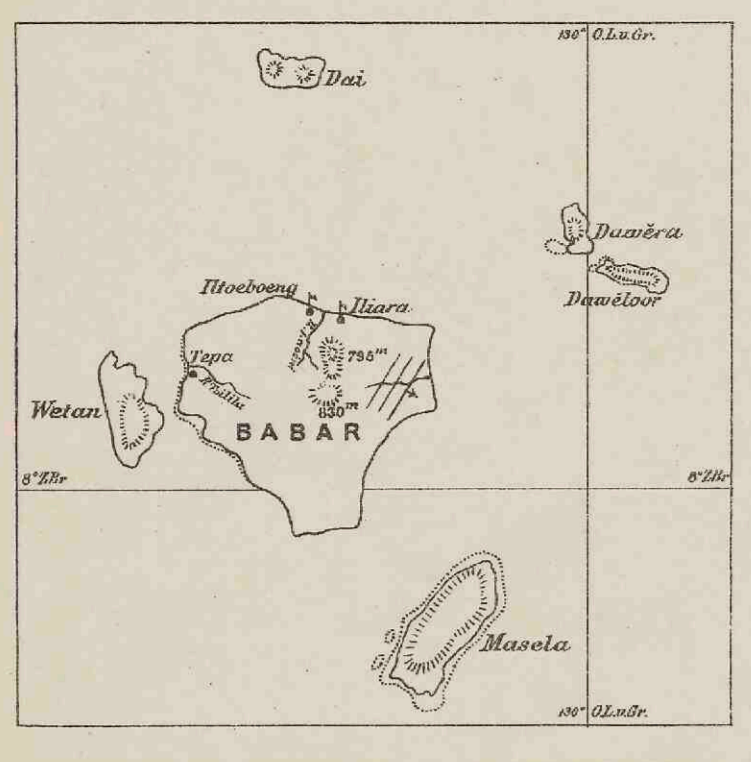


Fig. 381. De Babar-groep, volgens de zeekaart N^o 146. Schaaf 1:1,000,000.

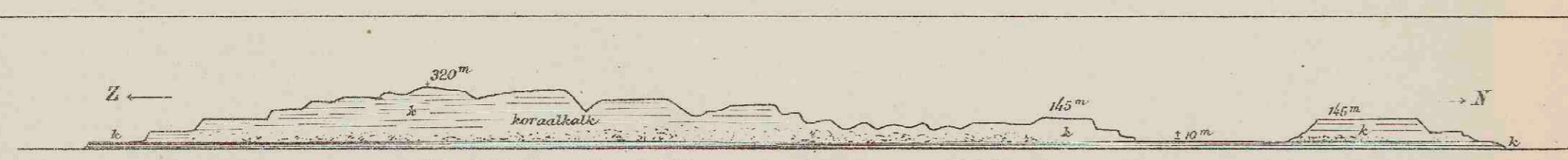


Fig. 382. Het eiland Wetan, van het Oosten (bij Tepa) gezien.



Fig. 383. Het eiland Babar van ± N, en Wetan van ± N.N.O., nabij P. Dai, gezien.



Fig. 385. Oost-en Noordoost-Babar, van N.N.O. gezien.

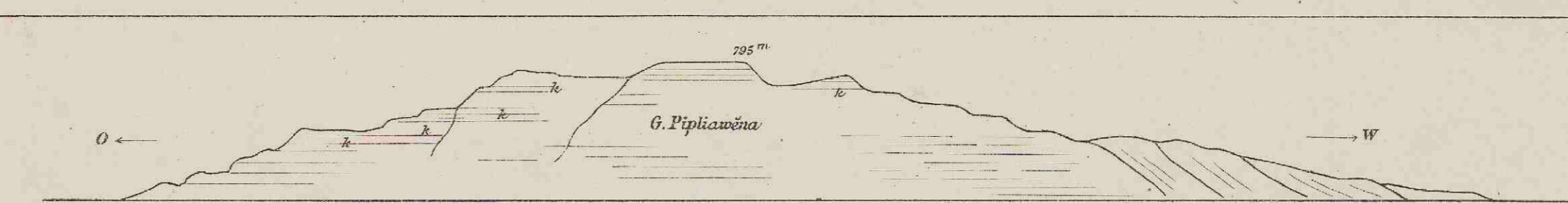


Fig. 384. De berg Pipliawéna van N., meer naderbij gezien dan in Fig. 383.

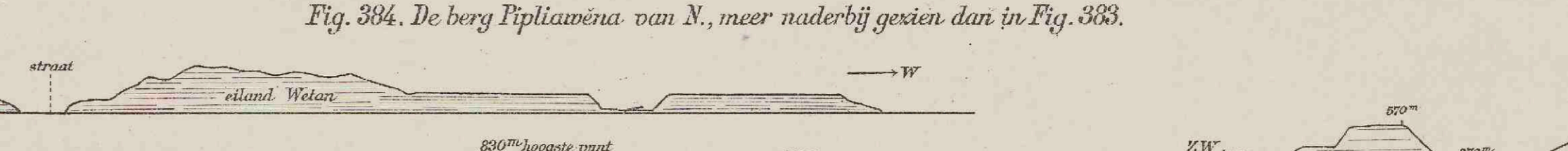


Fig. 386. Oost-en Noord-Oost-Babar, van N.O. gezien.

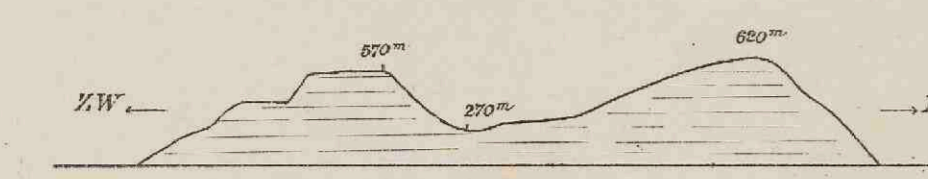


Fig. 388. Poeloe Dai, van Z.O. gezien.

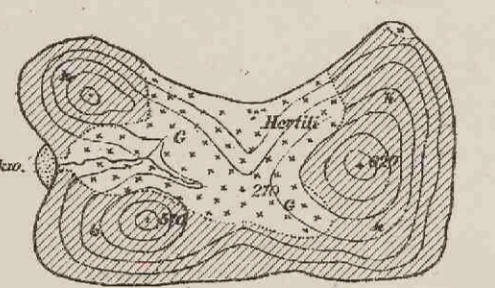


Fig. 389. Geologische schetskaart van Poeloe Dai.

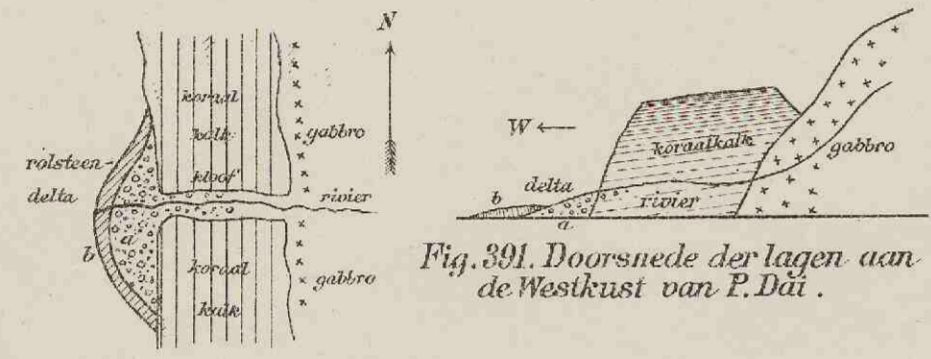


Fig. 390. De rivier aan de Westkust van P. Dai, met het rolstende delta a.

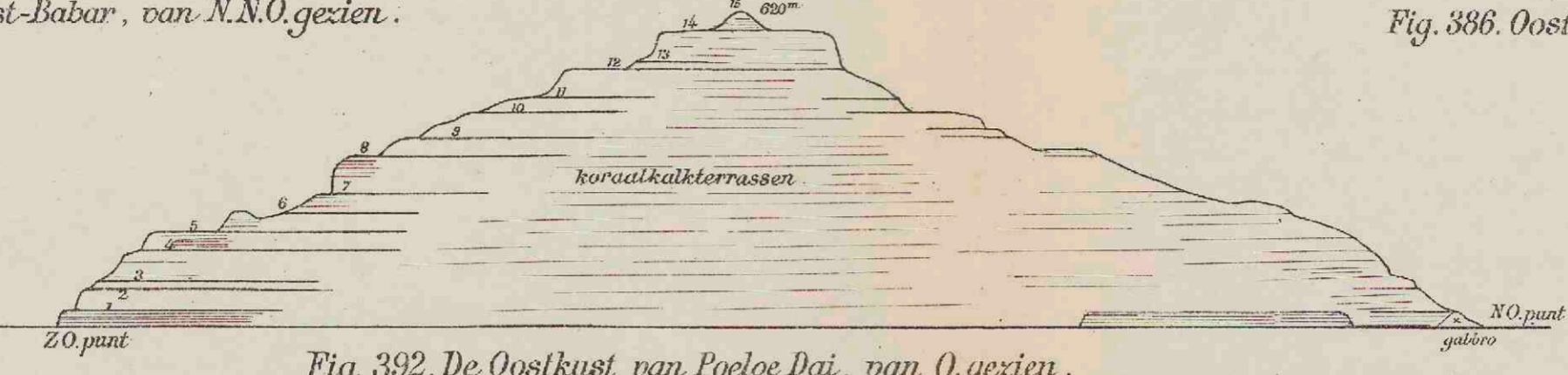


Fig. 392. De Oostkust van Poeloe Dai, van O. gezien.

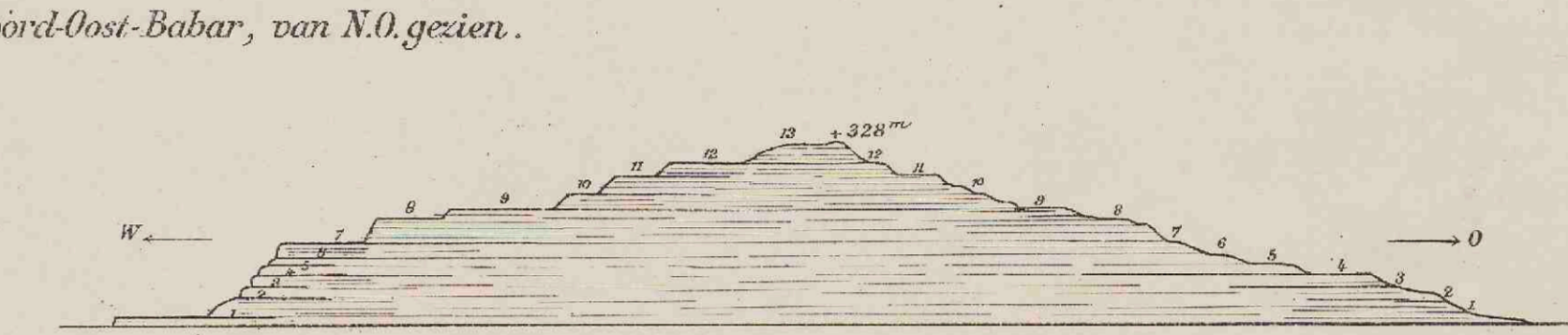


Fig. 393. Het eiland Dawëra, van Z. gezien.



Fig. 394. Het eiland Dawëloor, van Z.t.O. gezien.

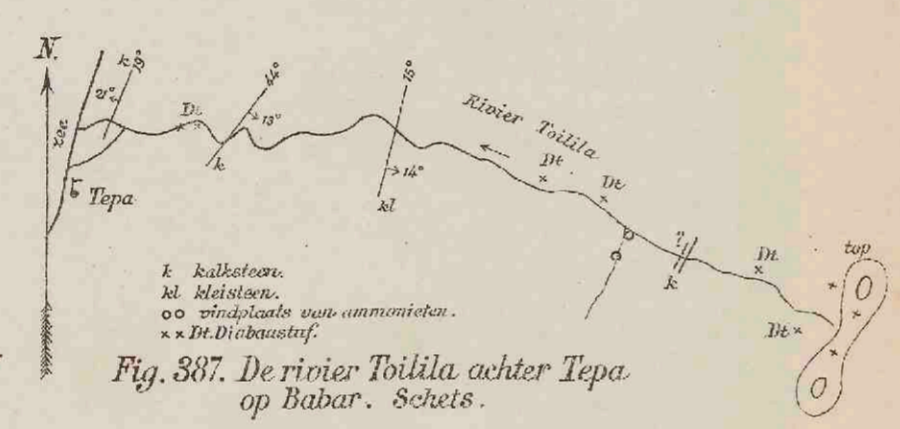


Fig. 387. De rivier Tbilila achter Tepa op Babar. Schets.



Fig. 398. De steen Batoe box in Straat Egeron, van N.O.

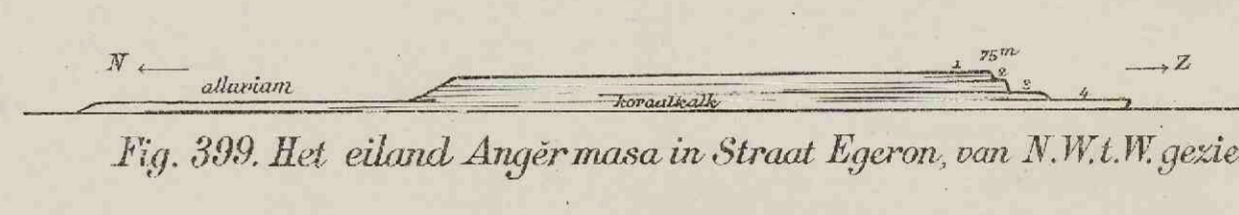


Fig. 399. Het eiland Angër masa in Straat Egeron, van N.W.t.W. gezien.



Fig. 400. De Z.W. punt van Angër masa, van W.t.N. gezien.

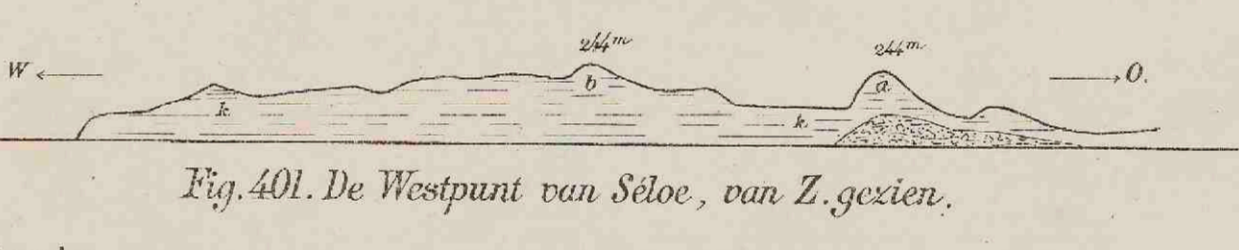


Fig. 401. De Westpunt van Seloë, van Z. gezien.

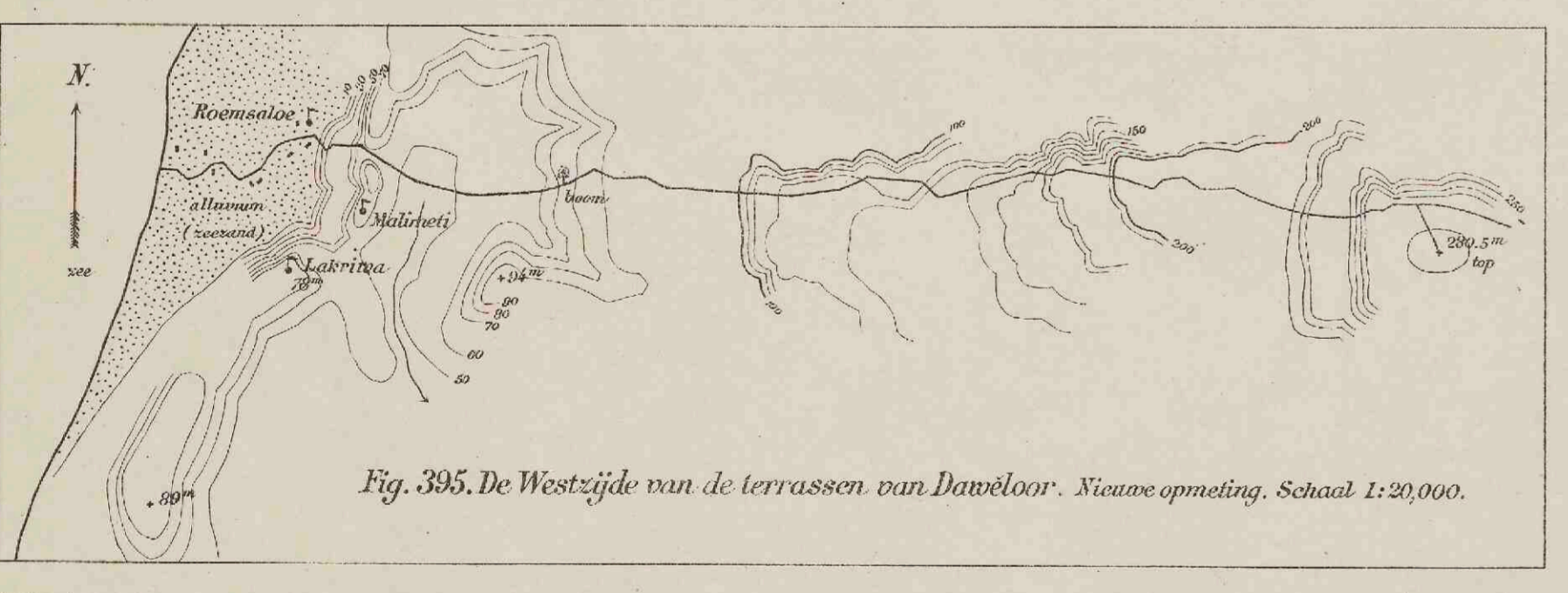


Fig. 395. De Westzijde van de terrassen van Dawëloor. Nieuwe opmeting. Schaaf 1:20,000.

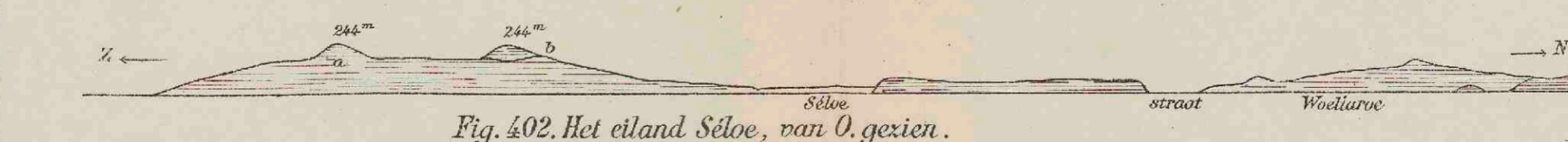


Fig. 402. Het eiland Seloë, van O. gezien.



Fig. 403. Het eiland Woeljaroe, van Z.

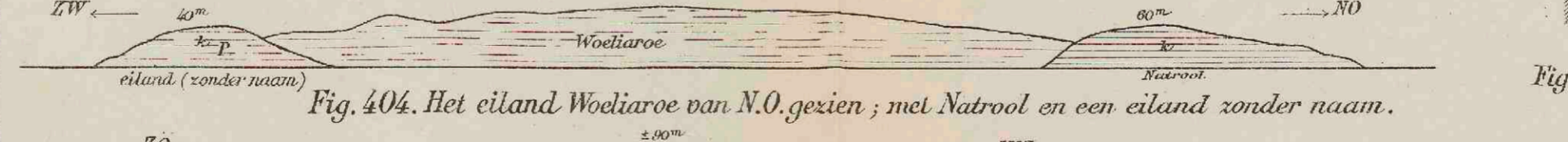


Fig. 404. Het eiland Woeljaroe van N.O. gezien; met Natrool en een eiland zonder naam.

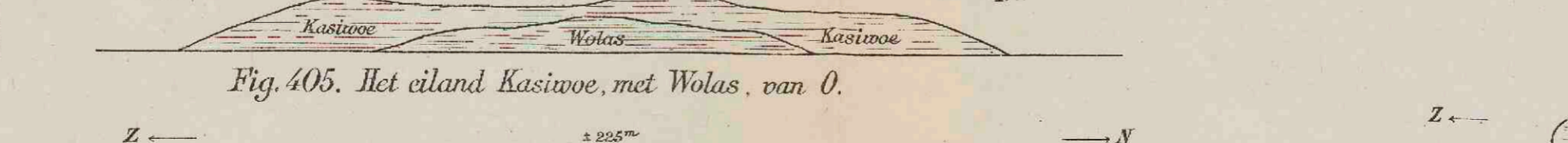


Fig. 405. Het eiland Kasiwoe, met Wolas, van O.

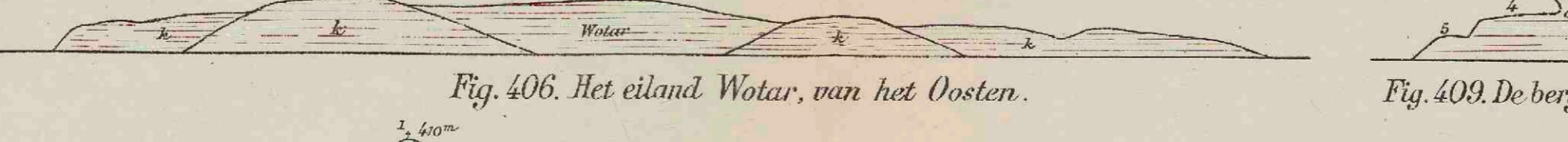


Fig. 406. Het eiland Wotar, van het Oosten.



Fig. 408. Het eiland Laibobar, van Z.t.W. gezien.

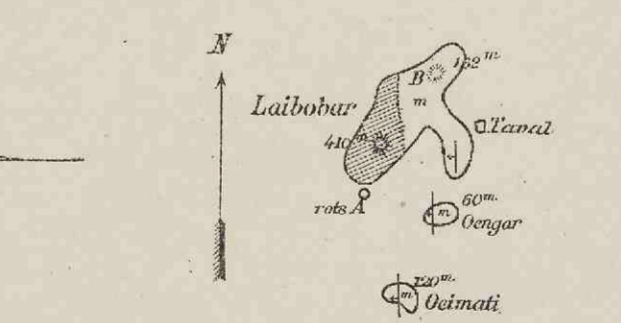


Fig. 407. Laibobar met Oengur en Oeinudi. Schaaf 1:400,000.



Fig. 409. De berg van Laibobar, van O.Z.O. gezien.



Fig. 410. Verweering van den kalksteen van Laibobar. Schets.

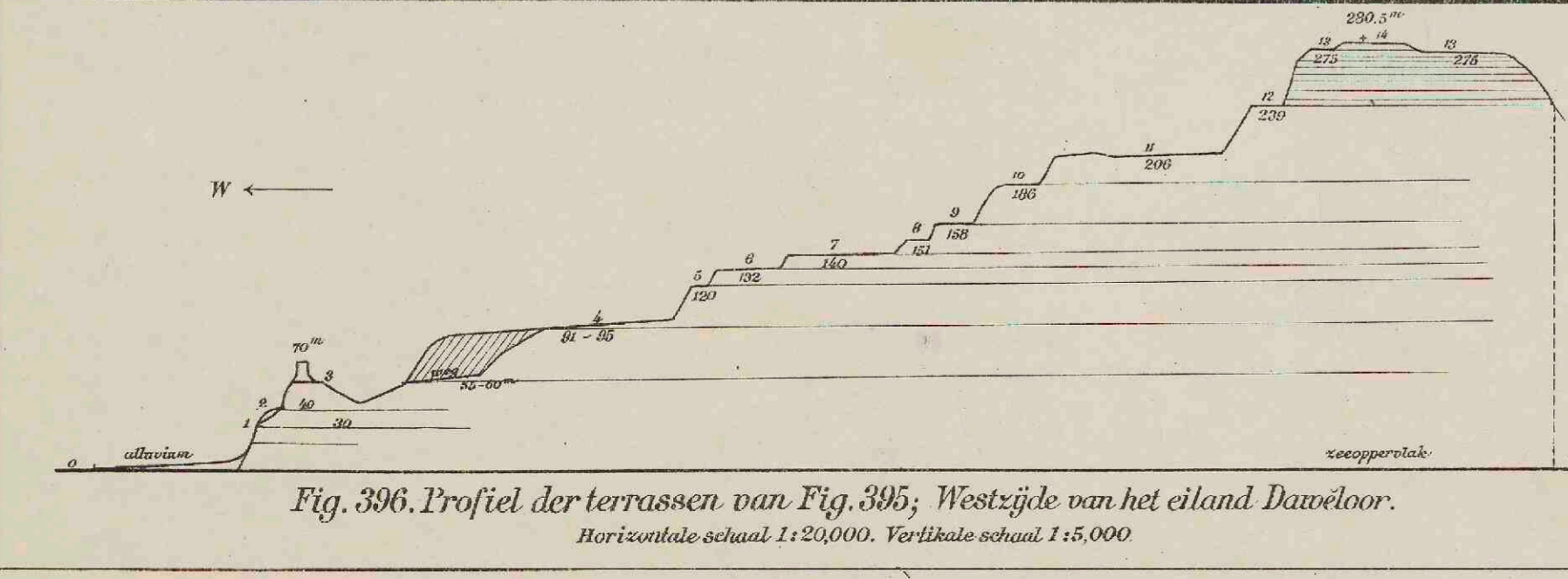


Fig. 396. Profiel der terrassen van Fig. 395; Westzijde van het eiland Dawëloor. Horizontale schaal 1:20,000. Vertikale schaal 1:5,000.

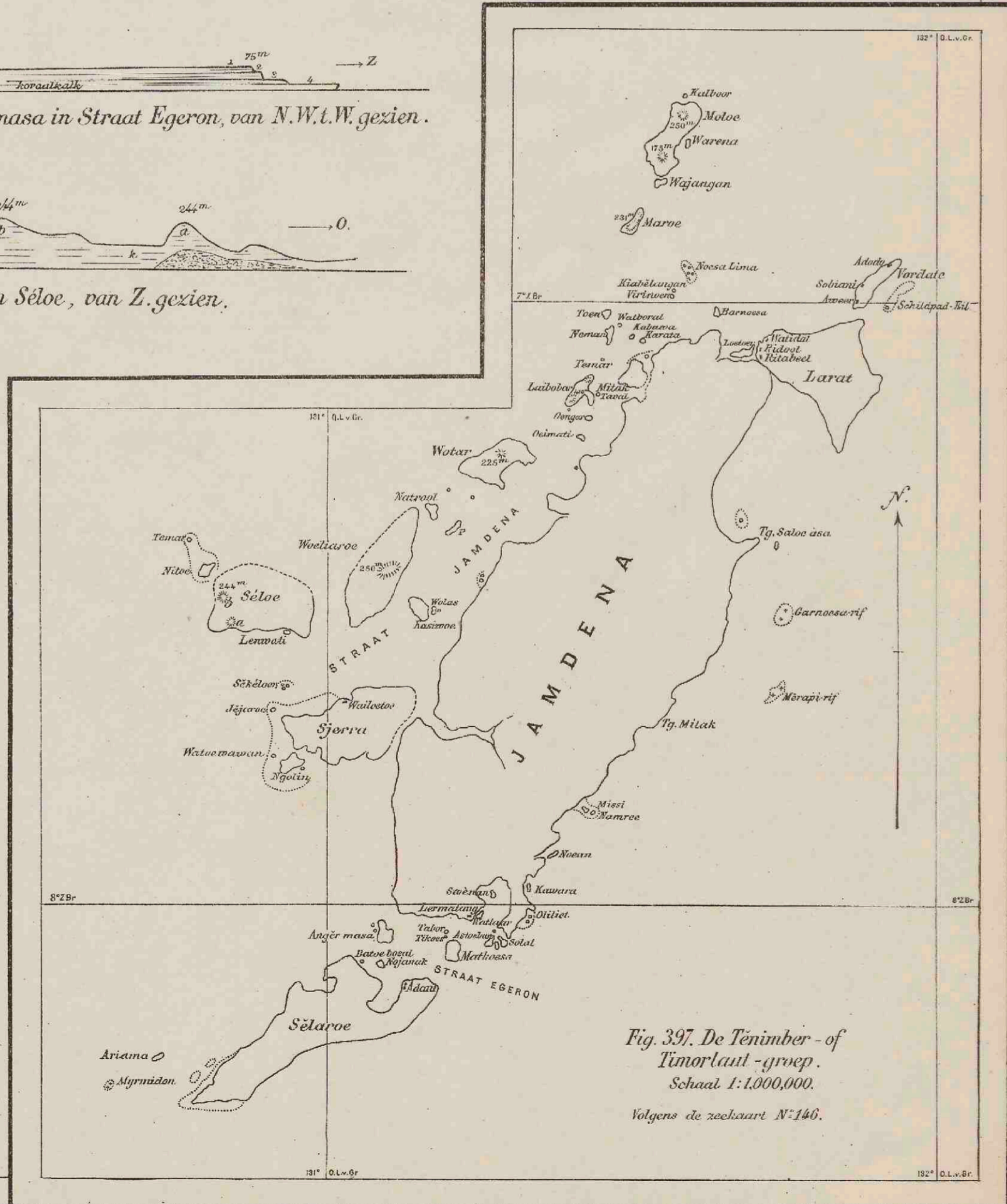


Fig. 397. De Tenimber- of Timorlaut-groep. Schaaf 1:1,000,000. Volgens de zeekaart N^o 146.

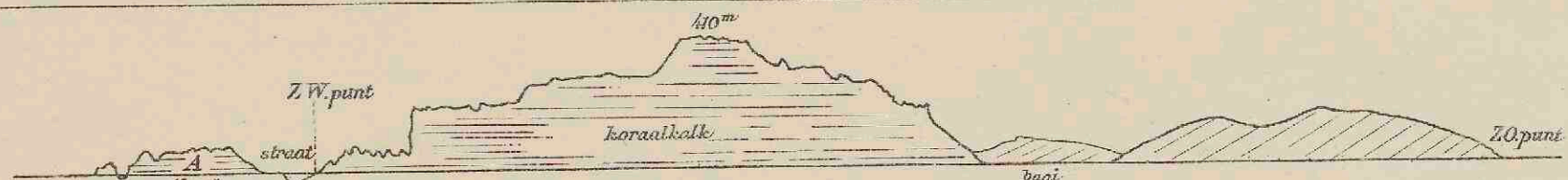


Fig. 411. Laibobar van dichtbij gezien, de top van z.Z.O.

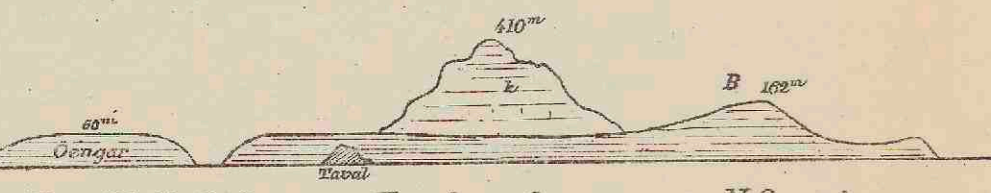


Fig. 412. Laibobar met Tawal en Oengar, van N.O. gezien.

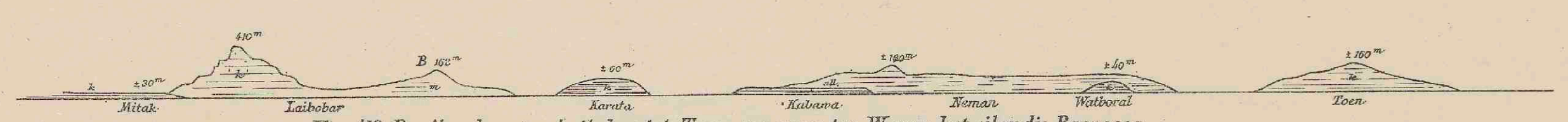


Fig. 413. De eilanden van Laibobar tot Toen, genomen ten W. van het eilandje Barnoesa.



Fig. 414. De eilanden Virinoen en Kiabelangan, genomen ten W. van Barnoesa.

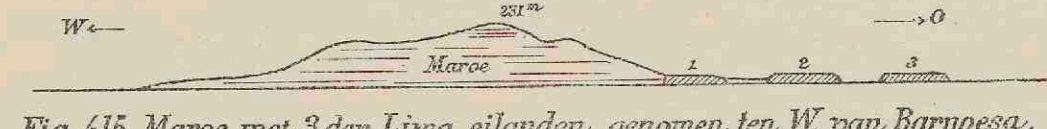


Fig. 415. Maroe met 3 der Linc-eilanden, genomen ten W. van Barnoesa.

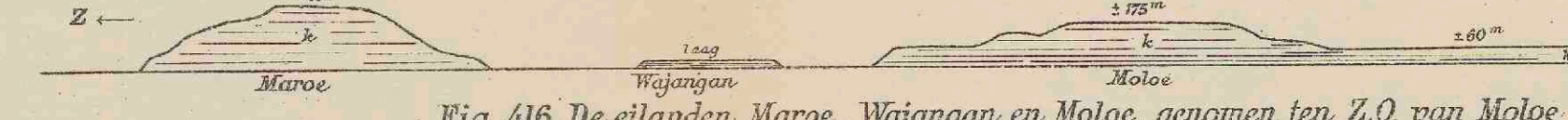


Fig. 416. De eilanden Maroe, Wajangan en Moloe, genomen ten Z.O. van Moloe.

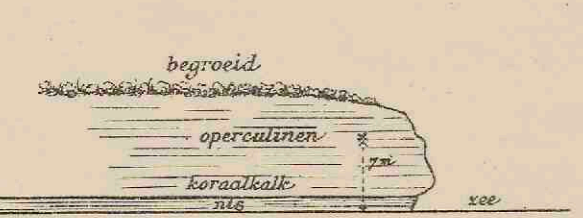


Fig. 417. Koraalkalk met nis bij Ritabeel, eiland Larat.

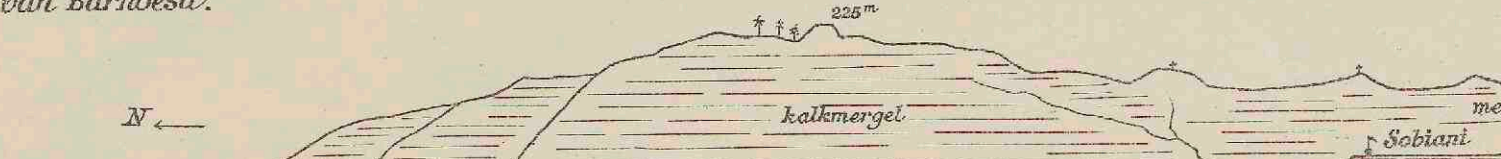


Fig. 418. Het eiland Vordate, van Z.W. gezien.

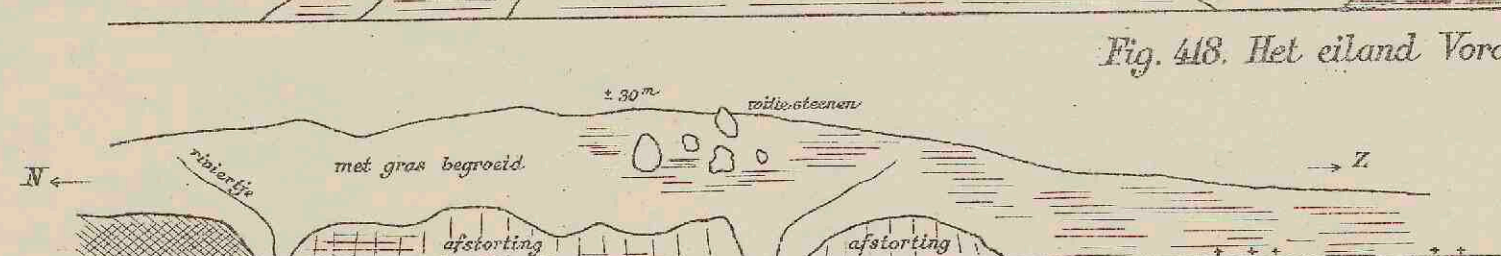


Fig. 420. De heuvel achter Ngaibor (Z.W. kust der Aroe-eilanden).

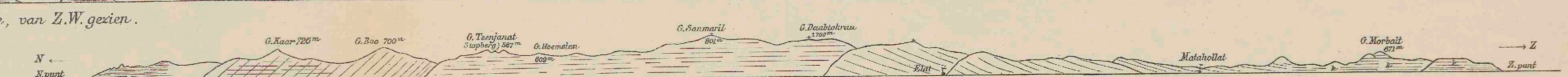


Fig. 422. Het eiland Groot-Kei, ten W. van den berg Saumaril genomen, komende van Klein-Kei.

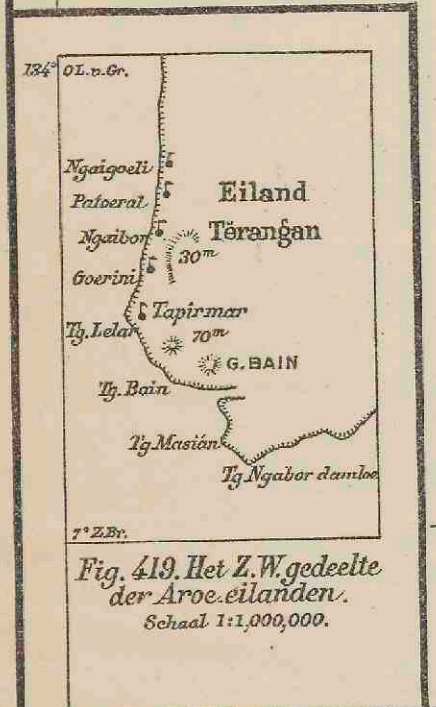


Fig. 419. Het Z.W. gedeelte der Aroe-eilanden. Schaal 1:1,000,000.

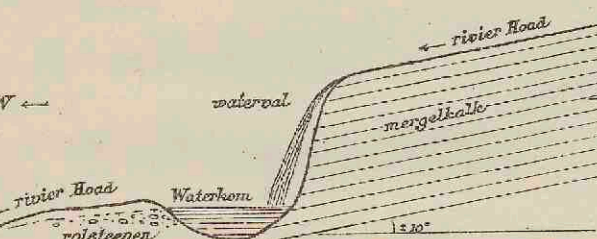


Fig. 423. Mergelkalklagen in de rivier Hoed, achter Aad, Groot-Kei.



Fig. 424. Berg bij Moen, van het Noorden bij Aad, gezien. Groot-Kei.

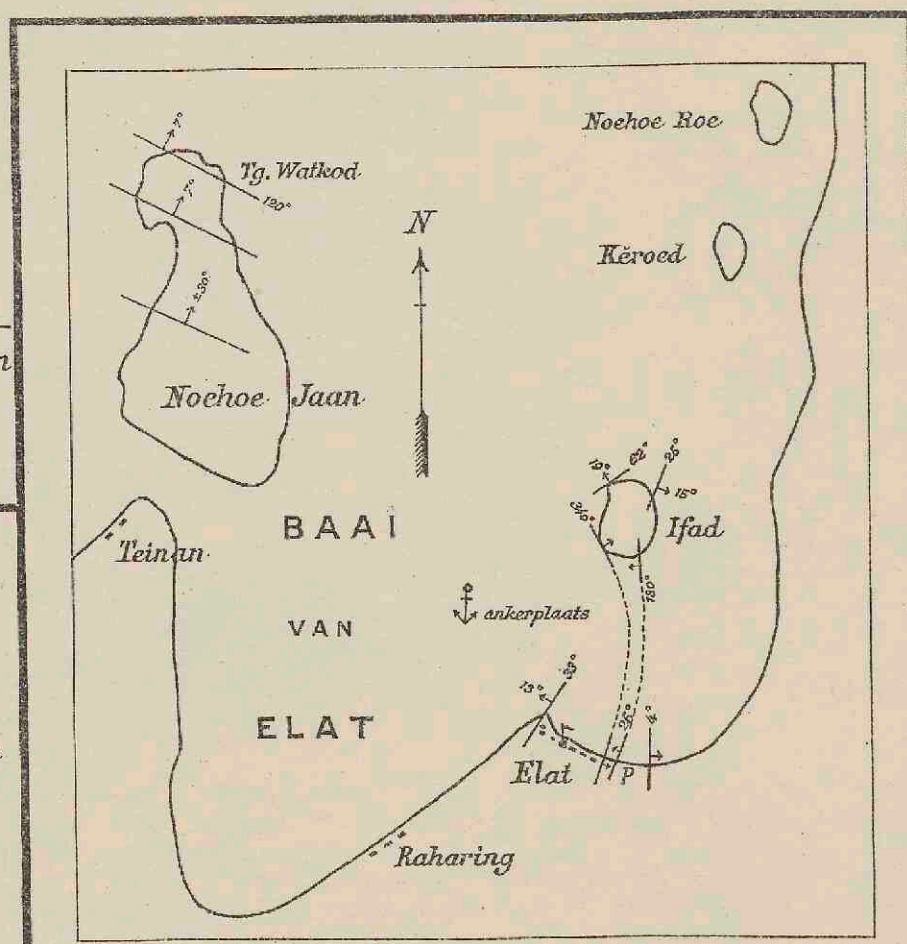


Fig. 425. De baai van Elat (Groot-Kei) met de eilanden. Schaal 1:40,000. Volgens de zeekaart N° 162.



Fig. 426. Zadel- en bekkenvorm der mergelkalklagen bij Elat (punt p der Fig. 425). Vertikale projectie.

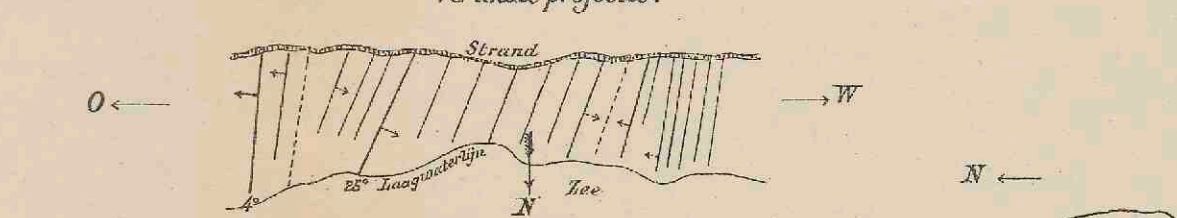


Fig. 427. Horizontale projectie der lagen van Fig. 426.

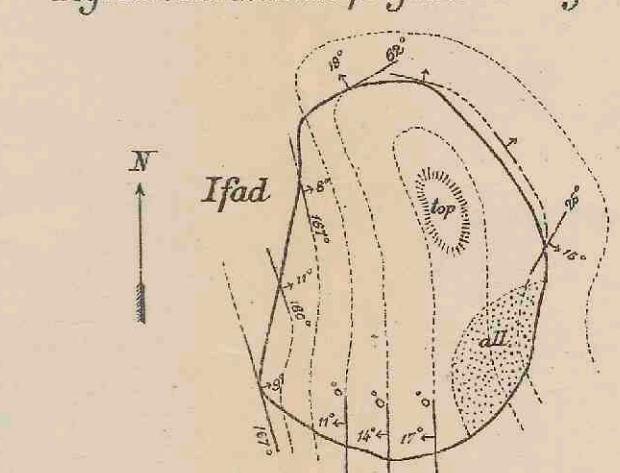


Fig. 428. Onregelmatige ligging der mergelkalklagen op het eil. Ifad, bij Elat, Groot-Kei. Schaal 1:2000.



Fig. 433. De bergen Saumaril en Daabokrau, van Enralang gezien.

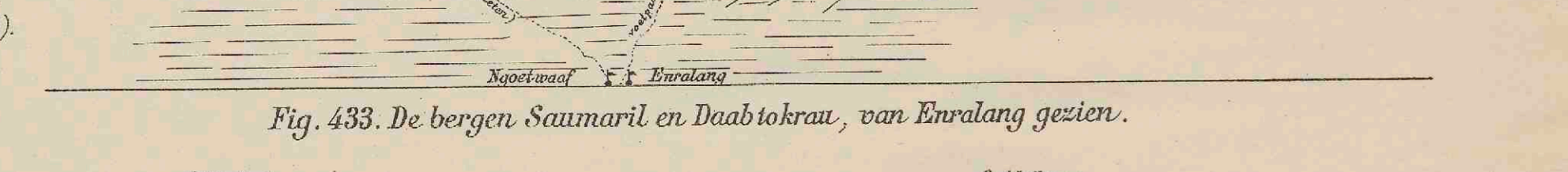


Fig. 434. De Westkust van Groot-Kei, van den berg Oearkoek tot den berg Advilnaas.

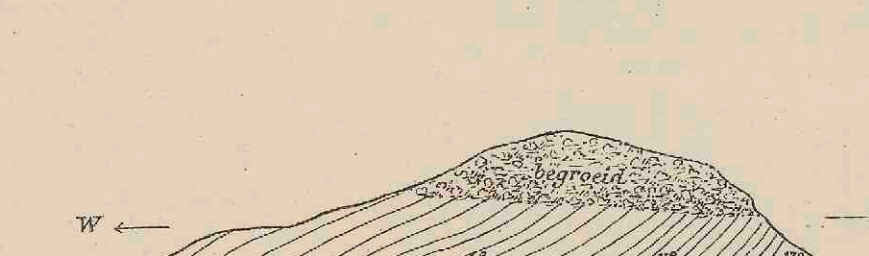


Fig. 429. De mergelkalklagen aan de Zuidkust van het eiland Ifad, bij Elat, Groot-Kei.

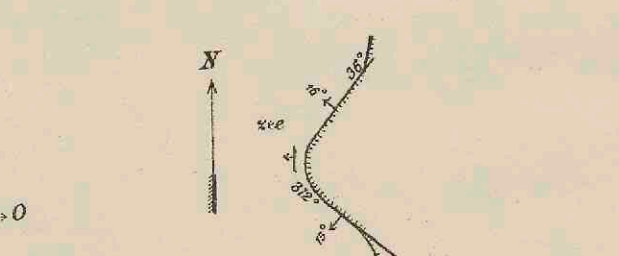


Fig. 435. Mergelkalklagen ten N. van Matahollat, aan het strand.

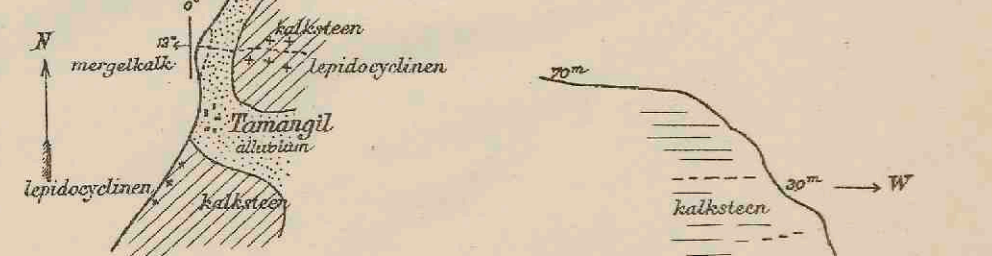


Fig. 436. Mergelkalk en kalksteen bij Tamangil.



Fig. 437. Kalksteen met lepidocyclinen aan het strand ten Z. van Tamangil.

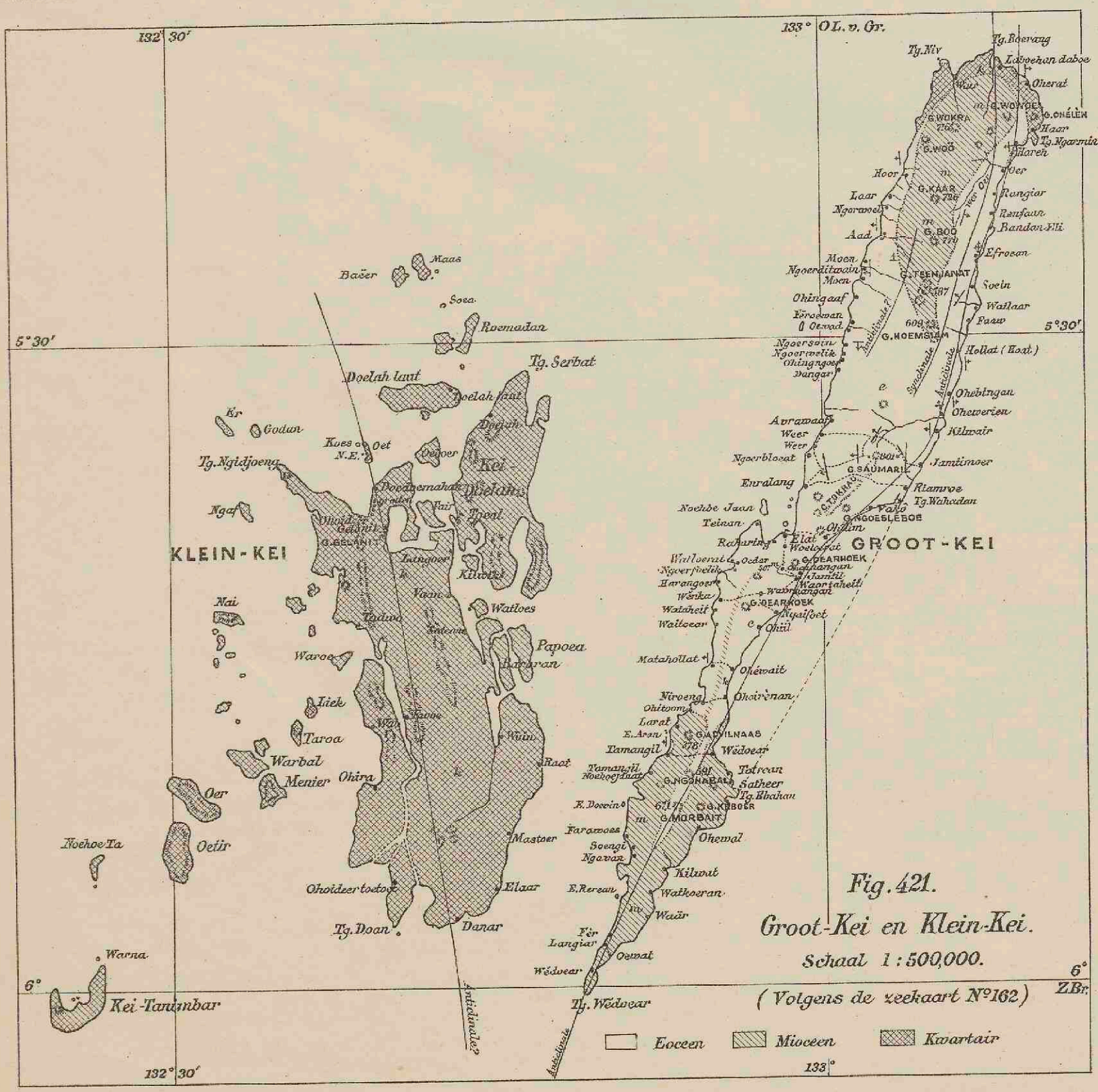


Fig. 421. Groot-Kei en Klein-Kei. Schaal 1:500,000. (Volgens de zeekaart N° 162).

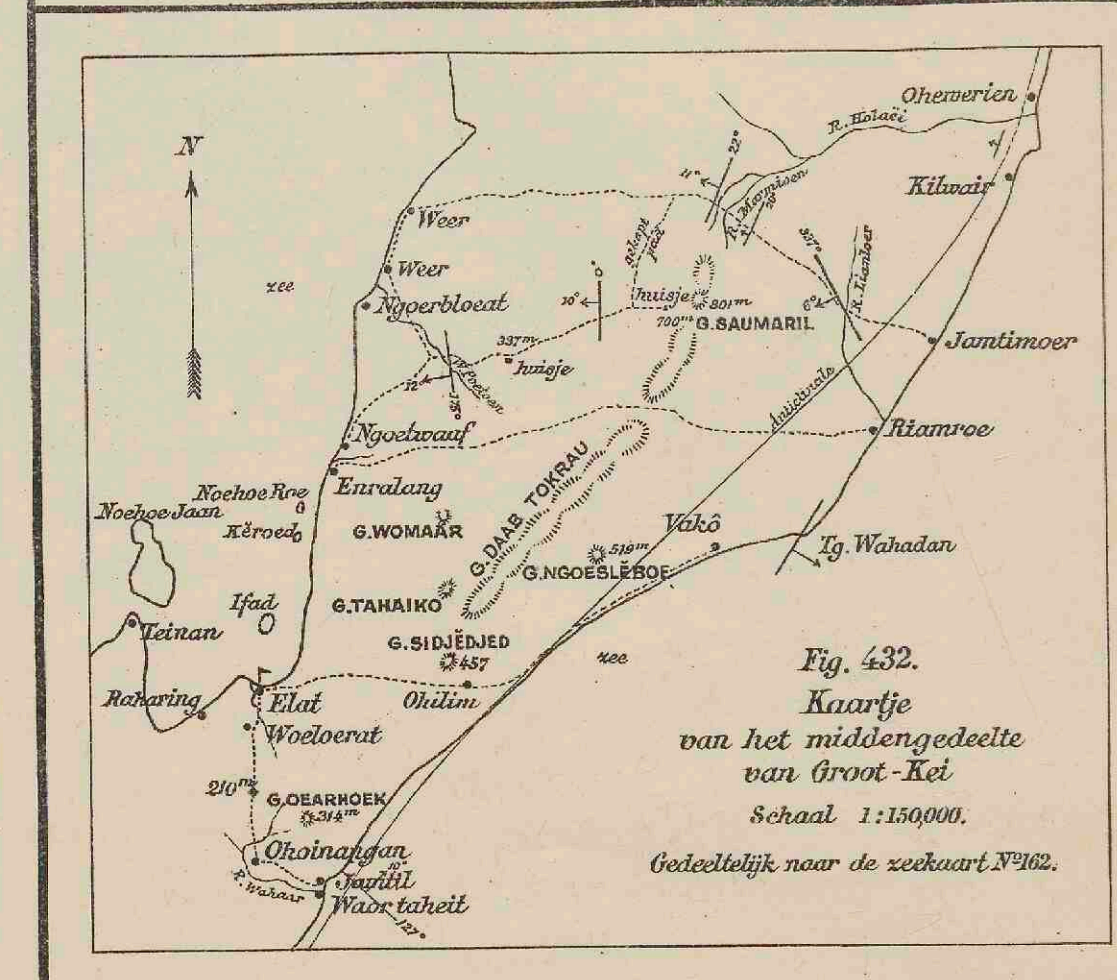


Fig. 432. Kwartje van het middengedeelte van Groot-Kei. Schaal 1:150,000. Geteeldelijk naar de zeekaart N° 162.

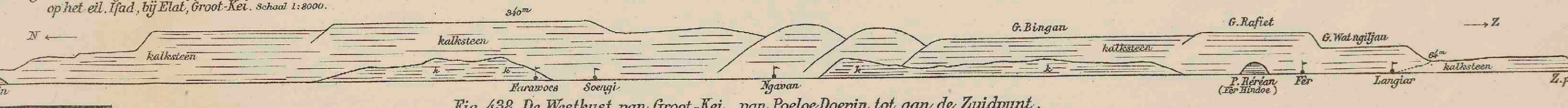


Fig. 438. De Westkust van Groot-Kei, van PoeloeDoevin tot aan de Zuidpunt.



Fig. 430. Witte en lichtgele mergels bij de kaap Watkod, op het eiland (Noehoe)Jaan bij Elat. (Groot-Kei).

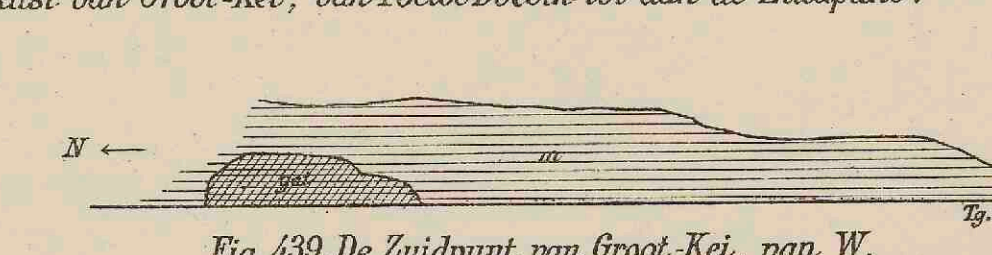


Fig. 439. De Zuidpunt van Groot-Kei, van W.

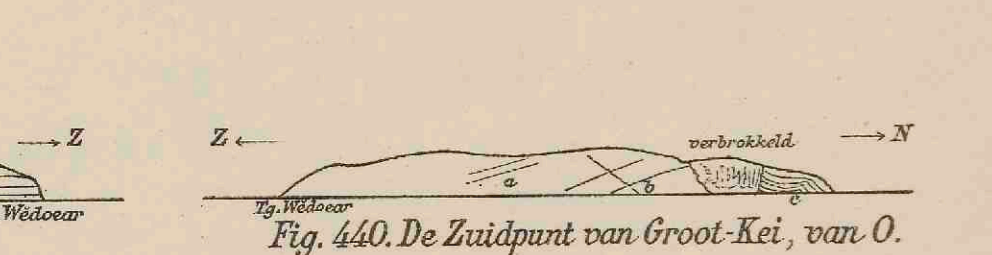


Fig. 440. De Zuidpunt van Groot-Kei, van O.

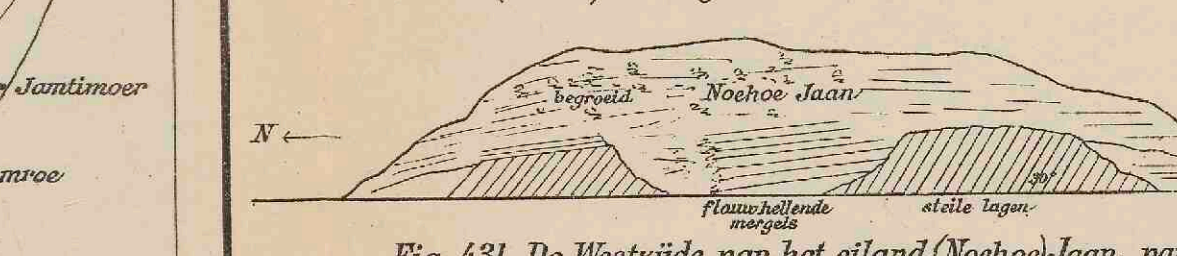


Fig. 431. De Westzijde van het eiland (Noehoe)Jaan, van W. gezien.

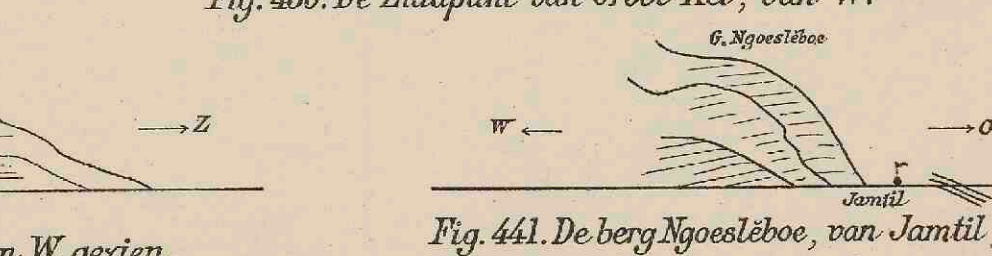


Fig. 441. De berg Ngoesleboe, van Jamtil gezien.

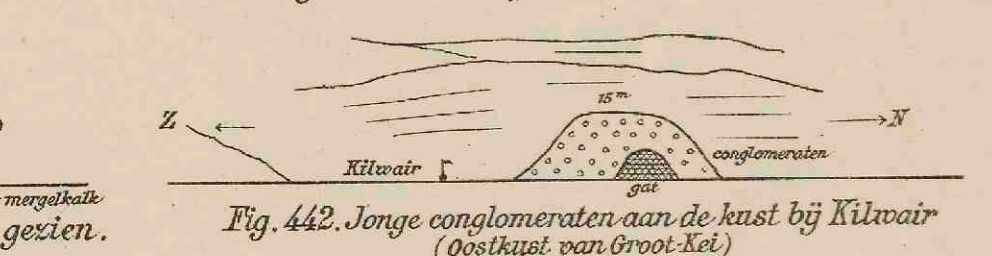


Fig. 442. Jonge conglomeraten aan de kust bij Kilwair (oostkust van Groot-Kei).



Fig. 443. De Oostkust van Groot-Kei, bij kampoeng Haar.

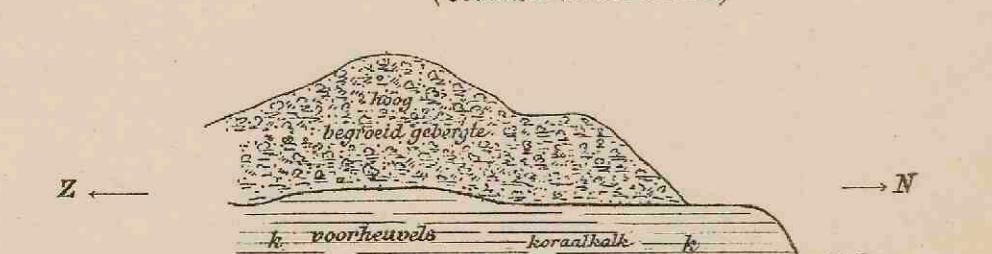
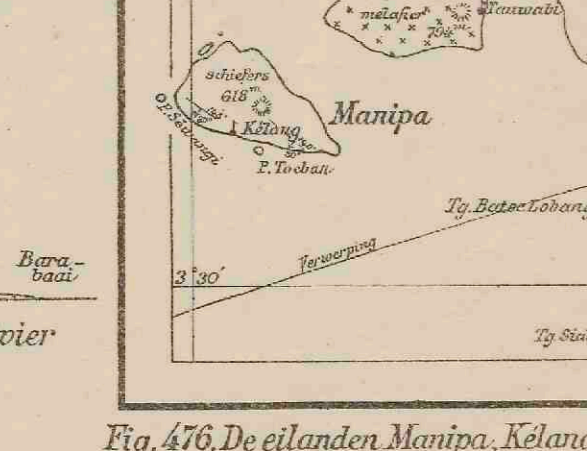
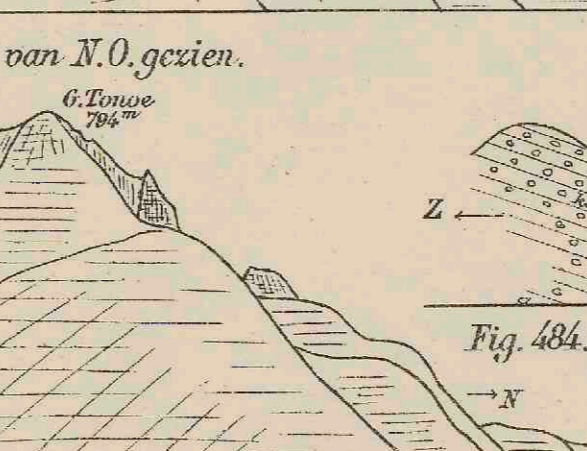
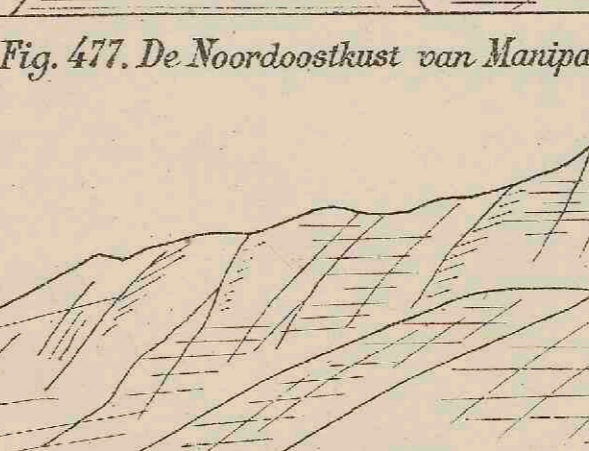
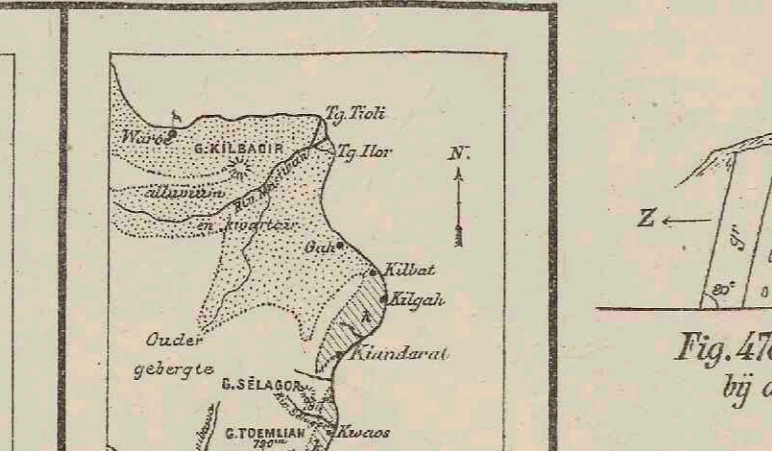
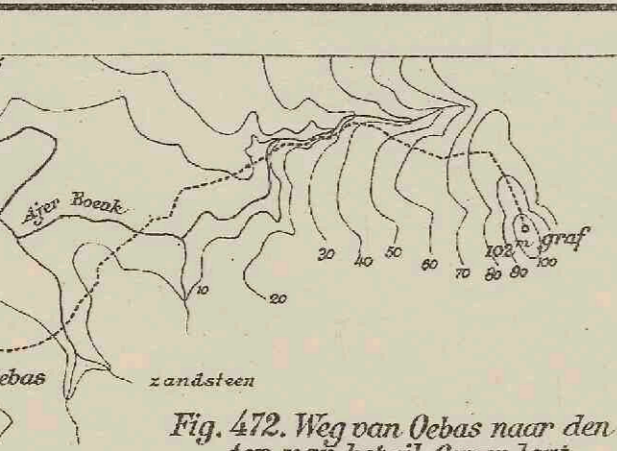
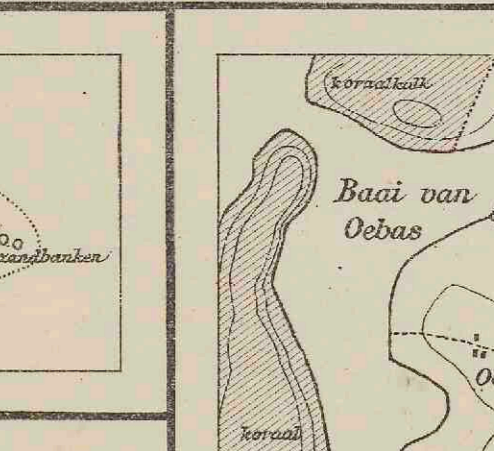
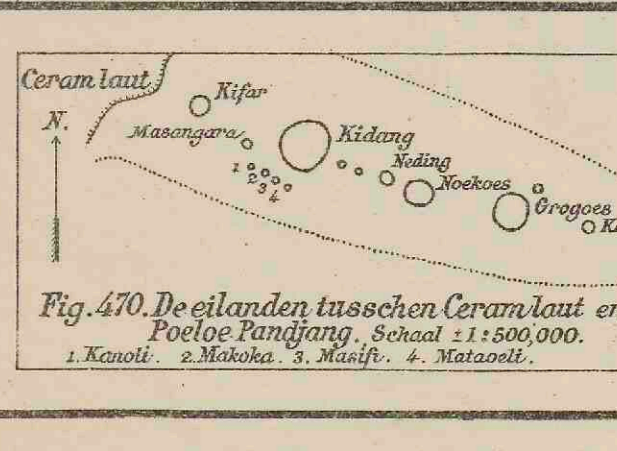
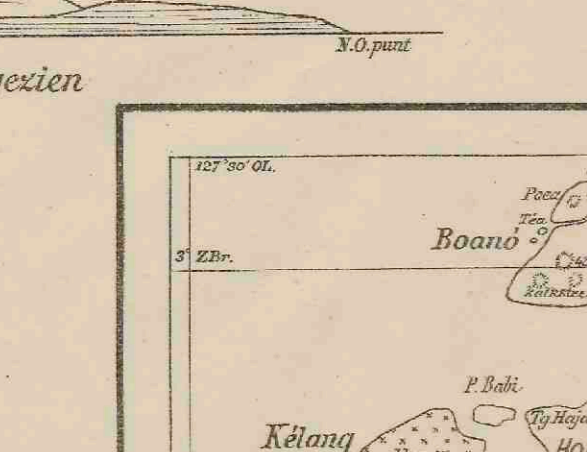
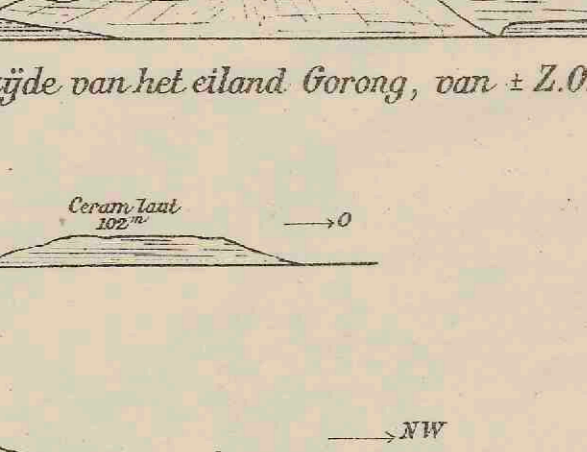
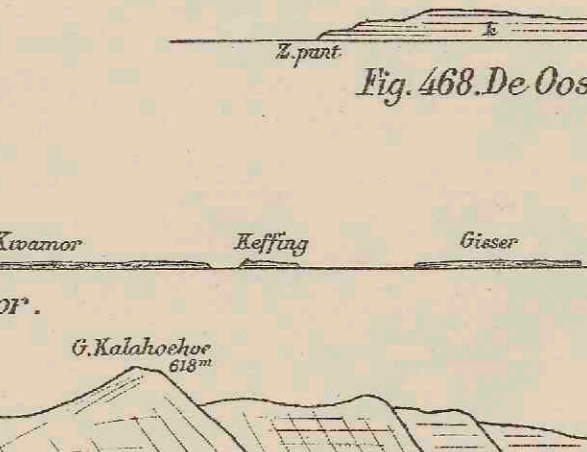
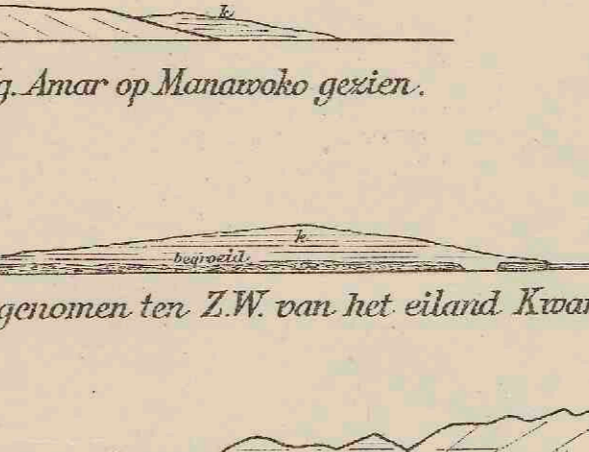
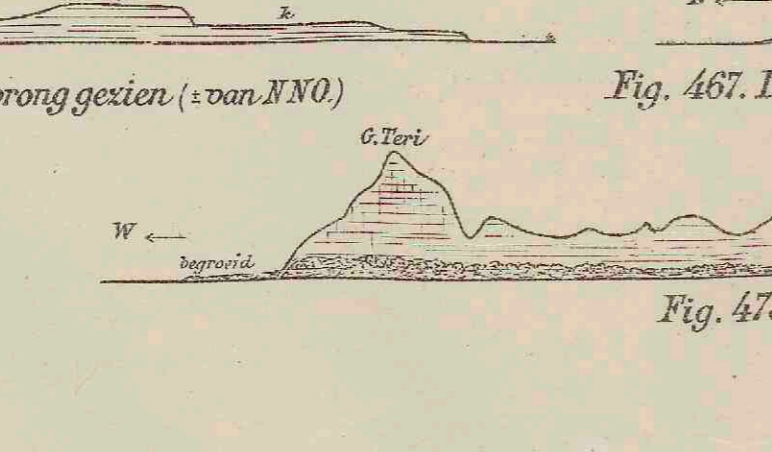
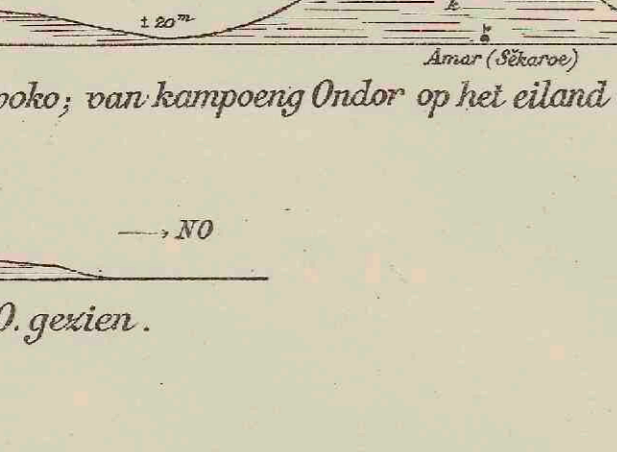
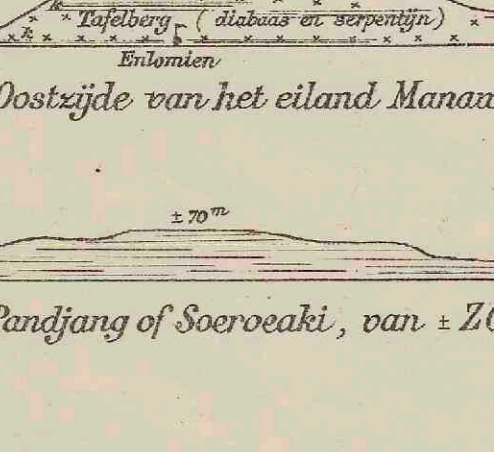
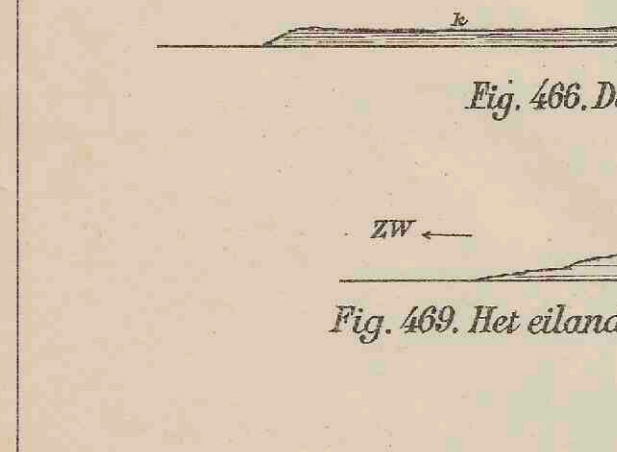
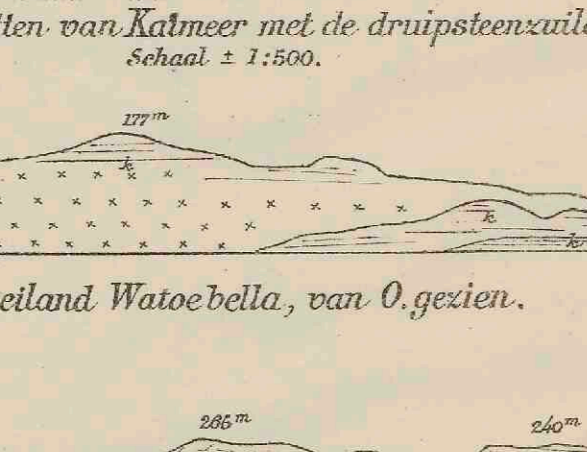
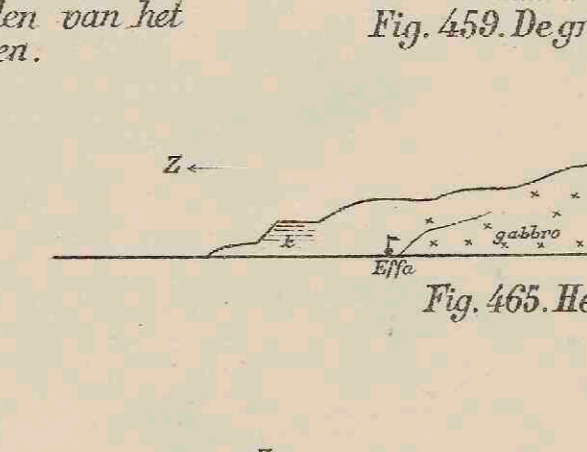
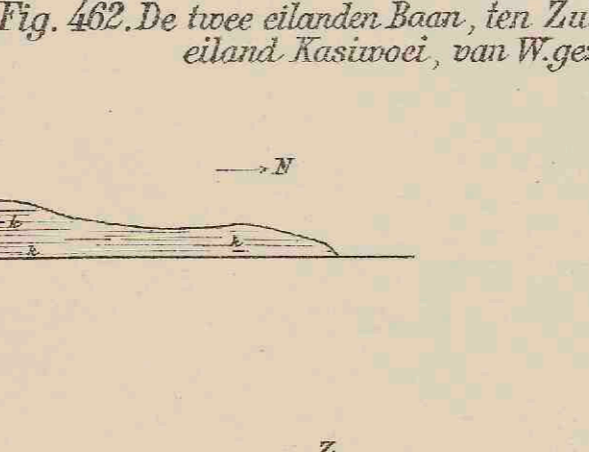
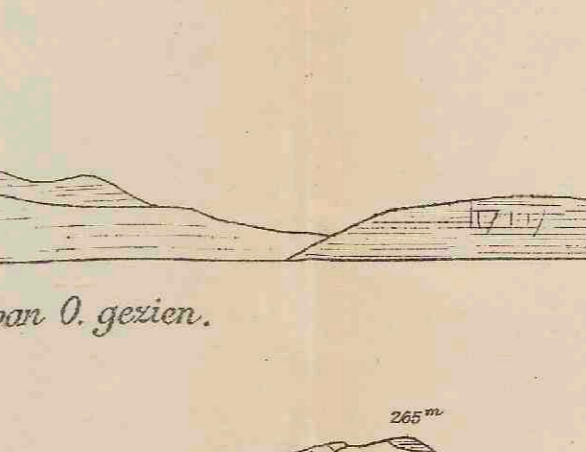
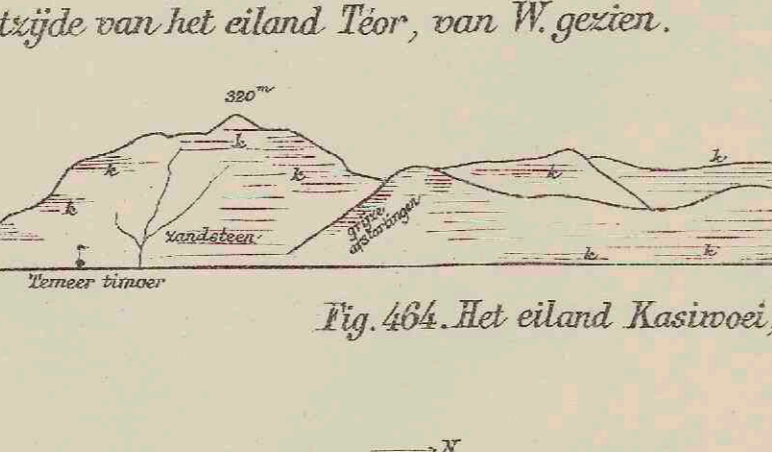
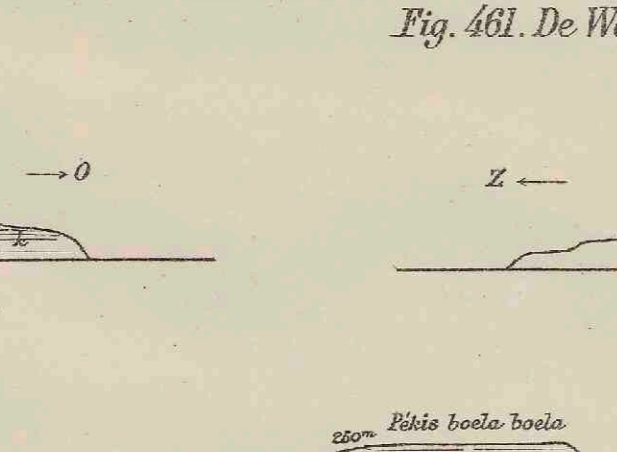
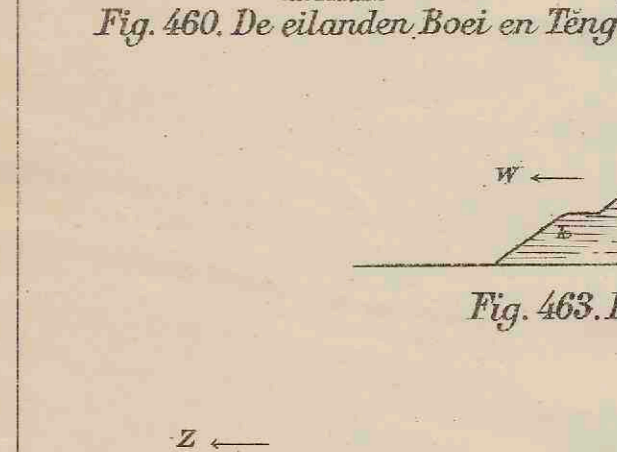
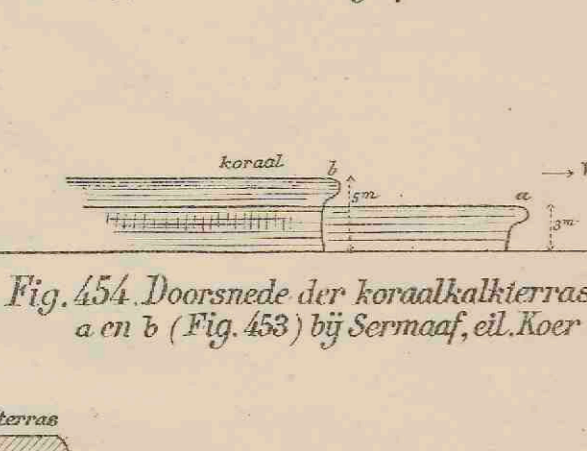
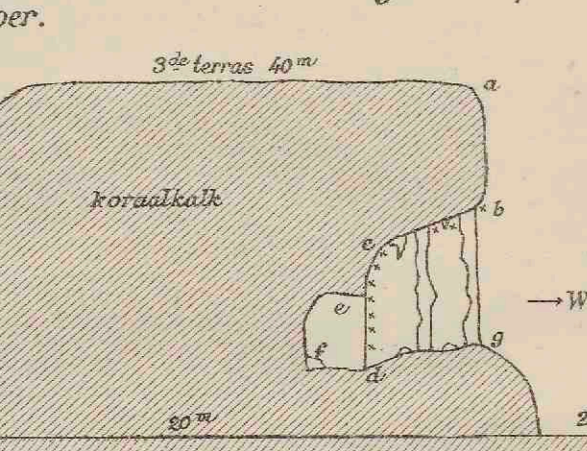
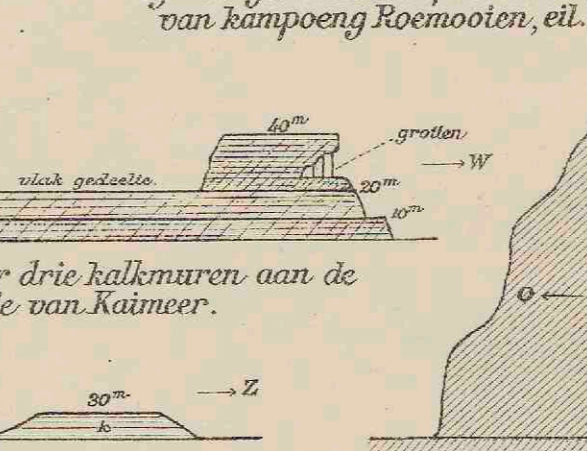
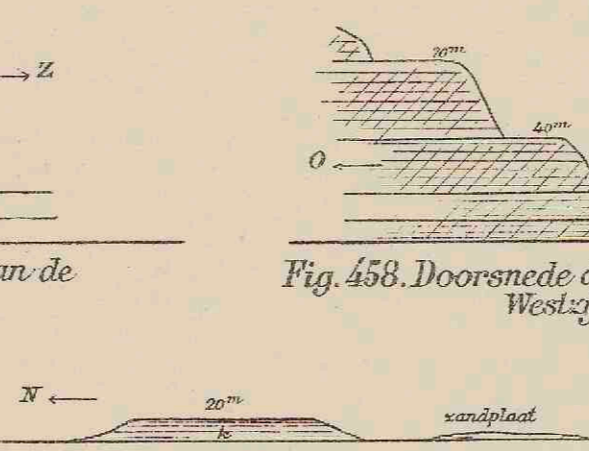
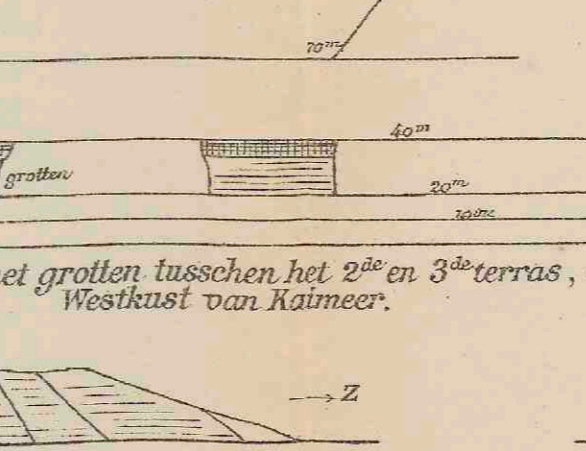
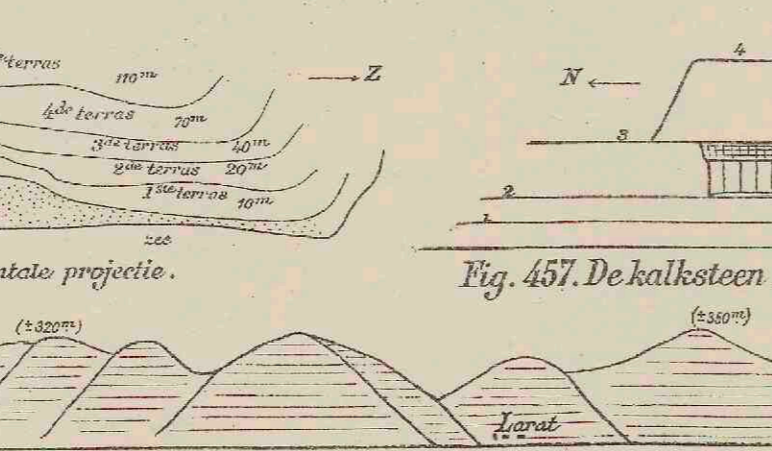
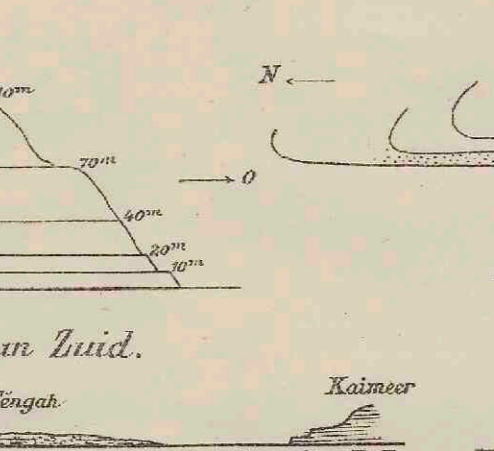
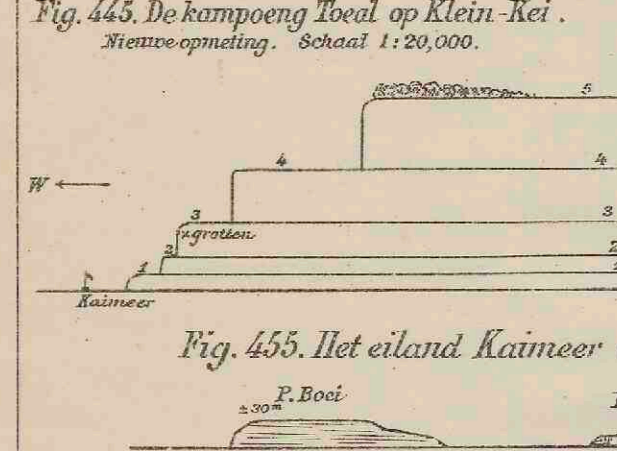
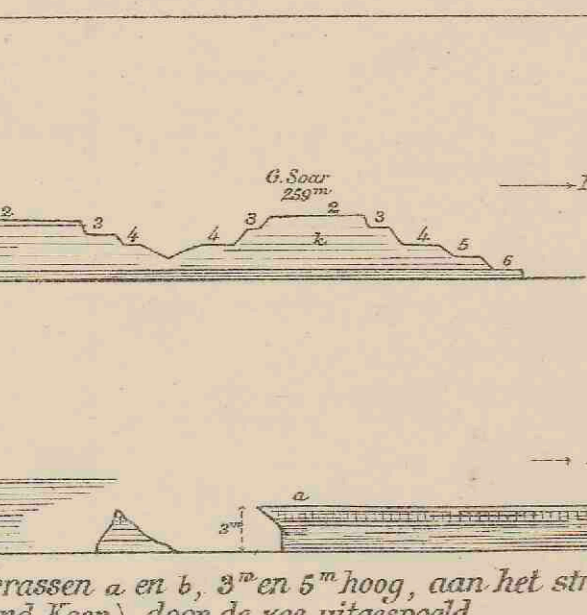
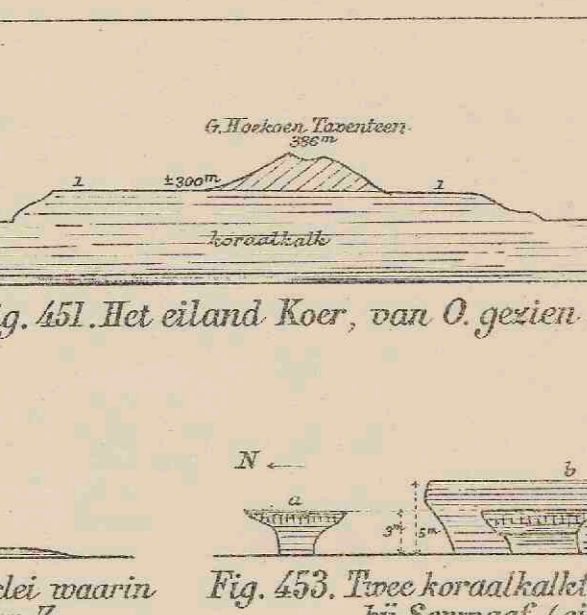
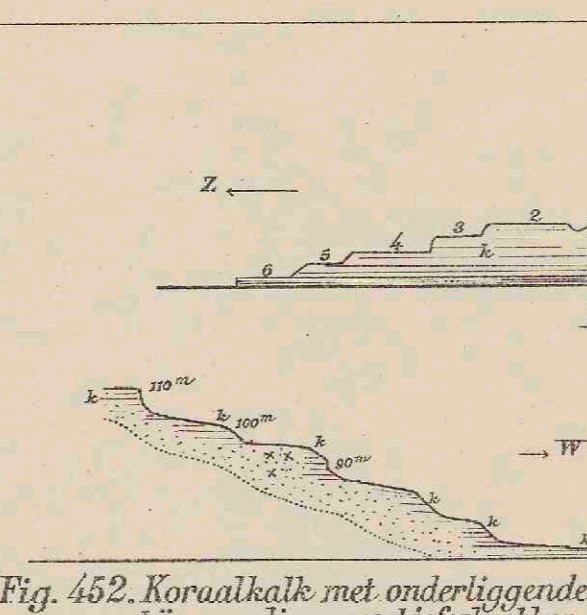
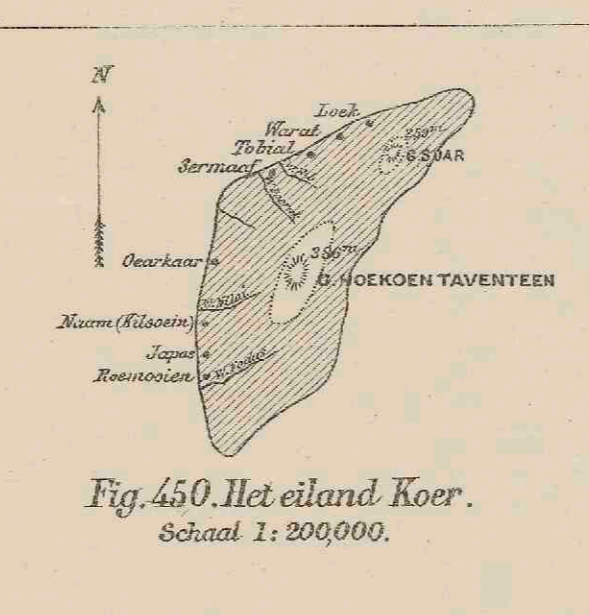
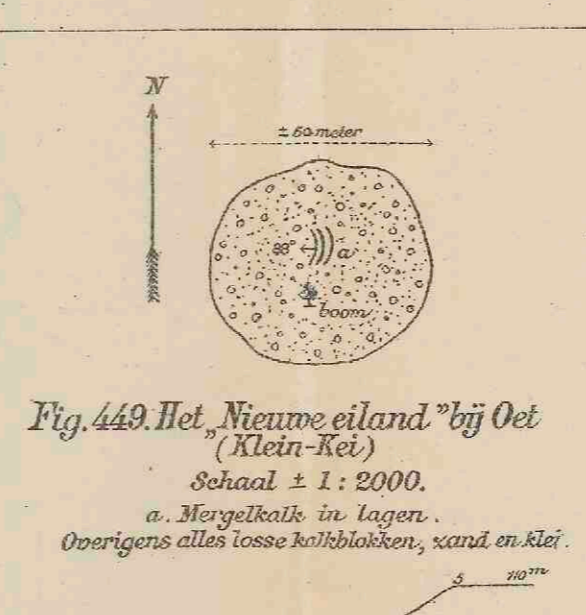
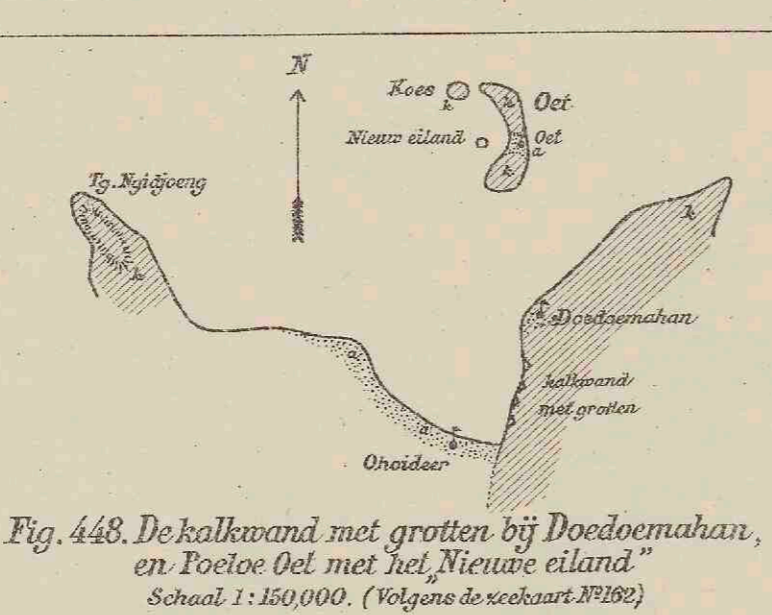
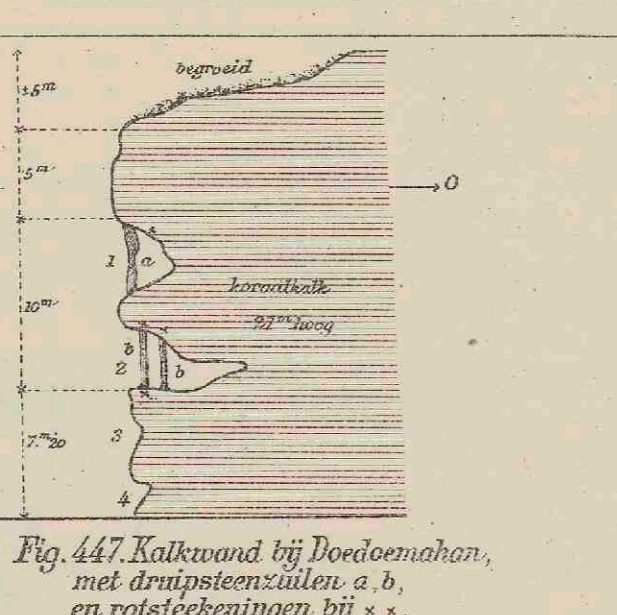
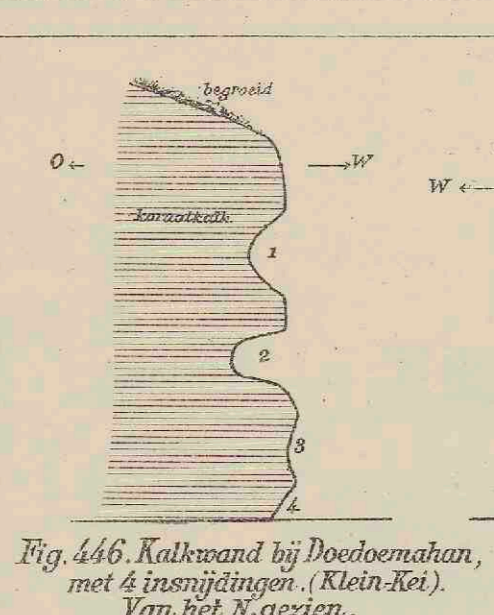
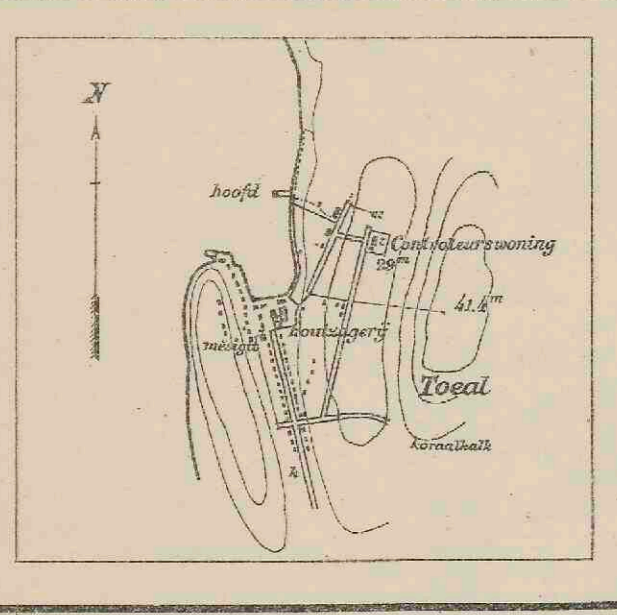


Fig. 444. De Noordpunt van Groot-Kei (Tj. Boerang) van O. gezien.



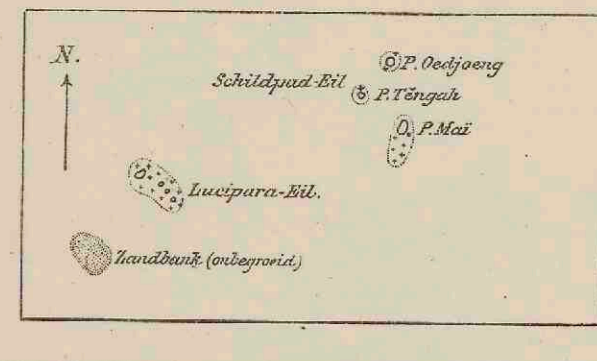


Fig. 487. De Schildpad- en Lucipara- eilanden (Poeloe Toefoe) in de Banda-zee. Schaal 1:1,000,000. (Volgens de zeekaart N°146.)

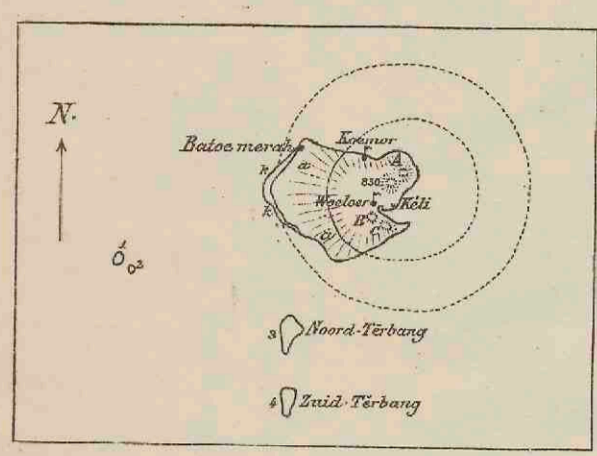


Fig. 495. De vier koraal- eilanden ten Z. van Daam, van N.N.W. gezien.

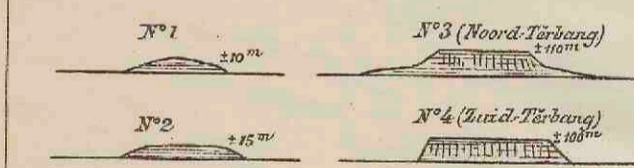


Fig. 496. De vulkaan Teon. Schets.

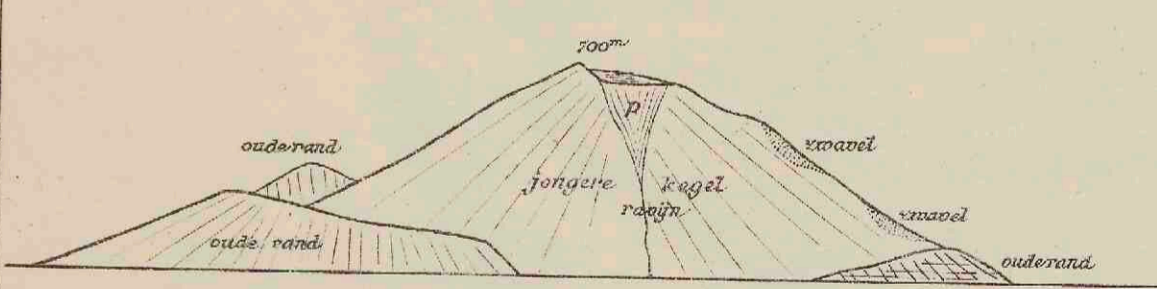


Fig. 499. Het eiland Nila, van Z.W. gezien.

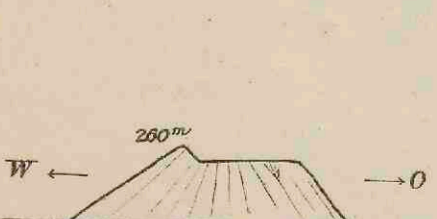


Fig. 503. De vulkaan Manok, van Z.Z.W. op grooten afstand.

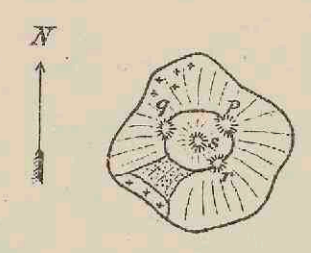


Fig. 488. De vulkaan Goenoeng Api bij Wetar. Schets.

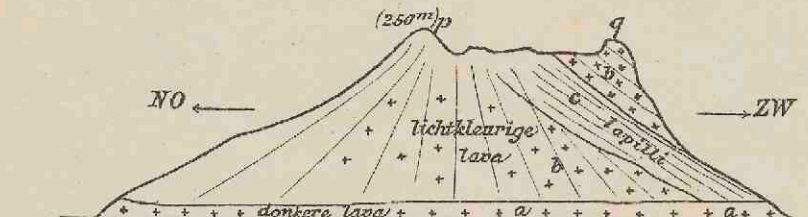


Fig. 489. De Goenoeng Api bij Wetar, van N.W. gezien.

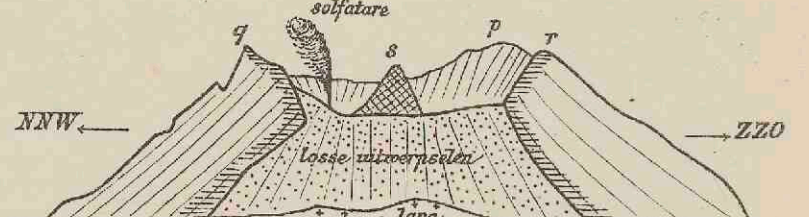


Fig. 490. De Goenoeng Api bij Wetar, van Z.W. gezien.



Fig. 492. Het eruptiepunt A van Daam, van O. gezien.



Fig. 493. Het eruptiepunt B van Daam, van O.N.O. gezien.



Fig. 494. Het eruptiepunt C van Daam, van O.N.O. gezien.

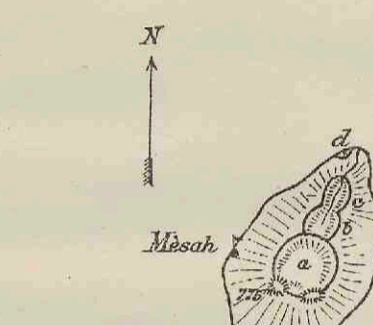


Fig. 496. De vulkaan Teon. Schets.

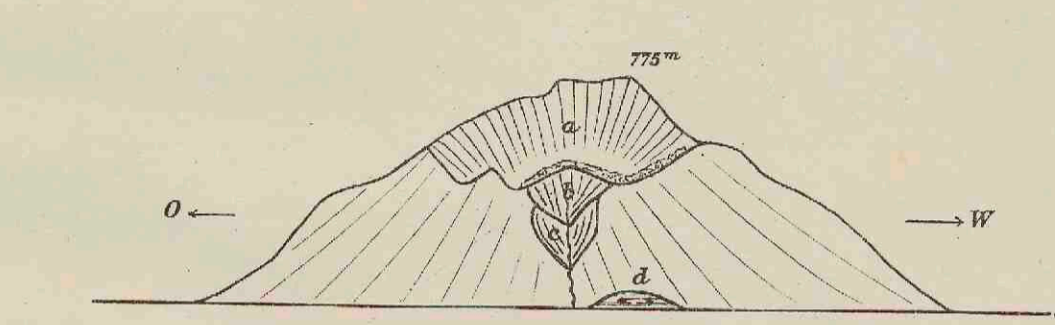


Fig. 497. Het eiland Teon, van N. gezien.

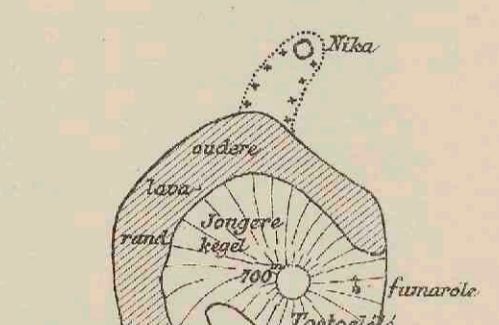


Fig. 498. De vulkaan Nila. Schets.

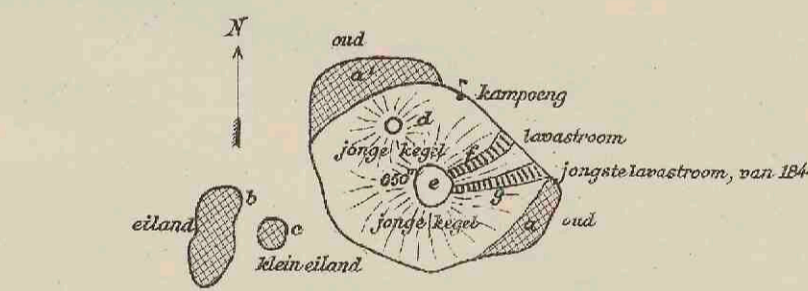


Fig. 500. Het eiland Seroea. Schets.



Fig. 501. De Zuidzijde van het eiland Seroea, van O.Z.O. gezien.



Fig. 502. Het eiland Seroea, van N.W. gezien.

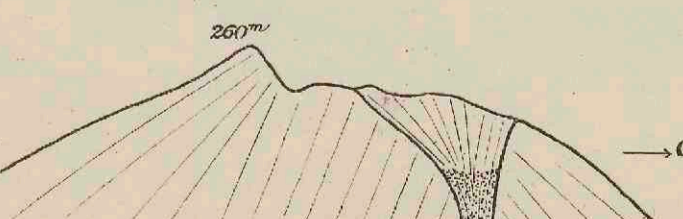


Fig. 504. De vulkaan Manok, van Z.Z.W., meer nabij gezien.

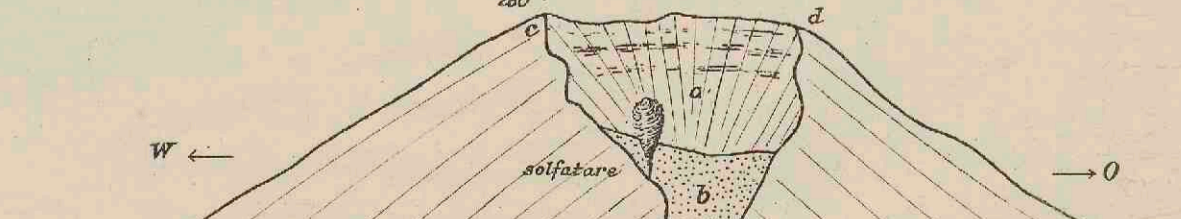


Fig. 505. De vulkaan Manok, van Z.Z.O. gezien.

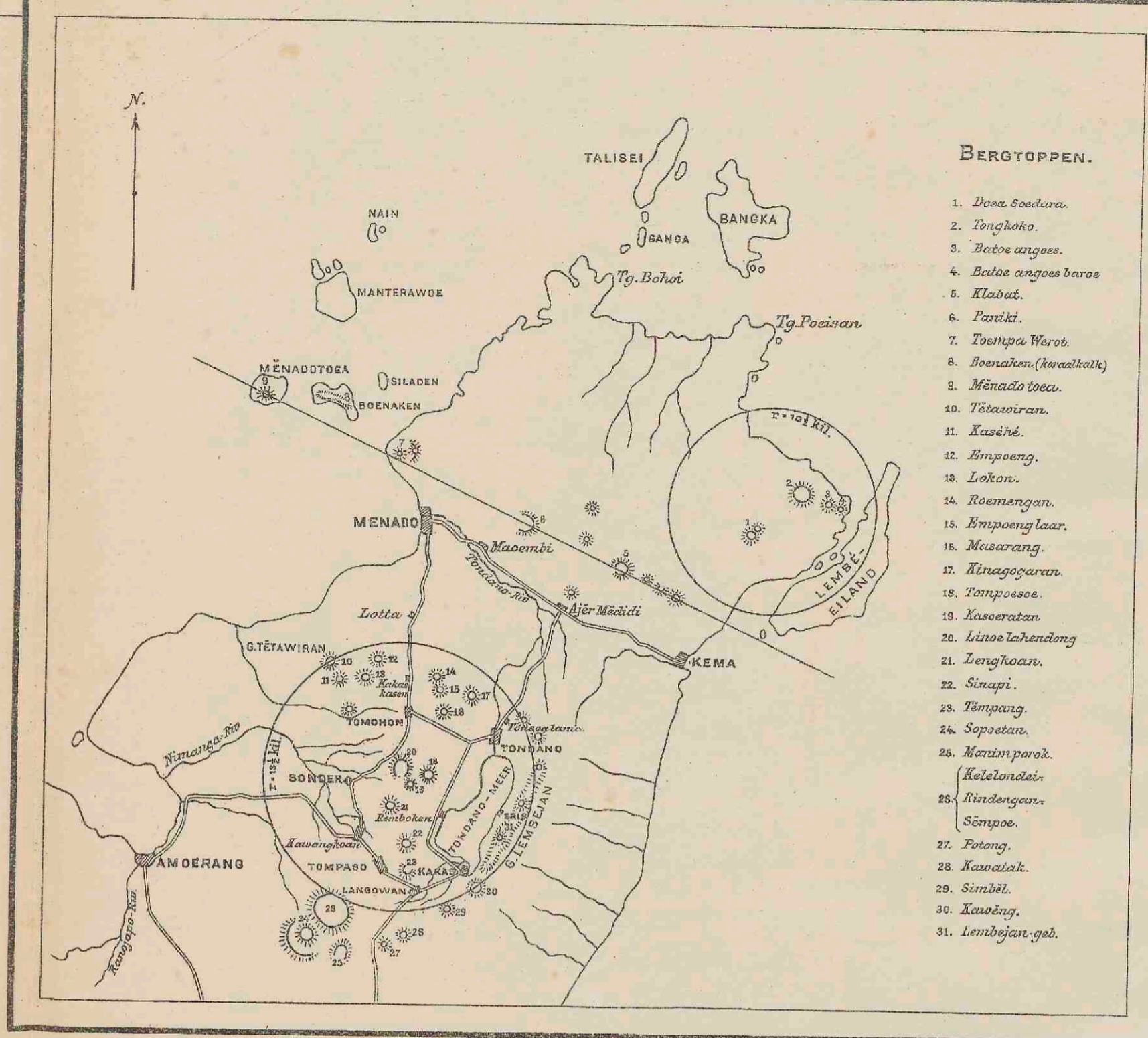


Fig. 506. Kaart van de Minahasa. Schaal 1:600,000. (De omtrek van het land en de ligging der bergen volgens P. en F. Sarasin.)

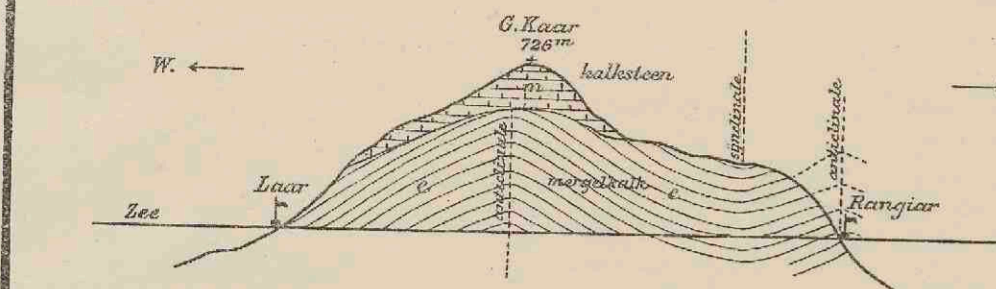


Fig. 507. Doorsnede van Groot-Kei, van Laar naar Rangiar. Horizontale schaal 1:150,000. Vertikale schaal 4:150,000.

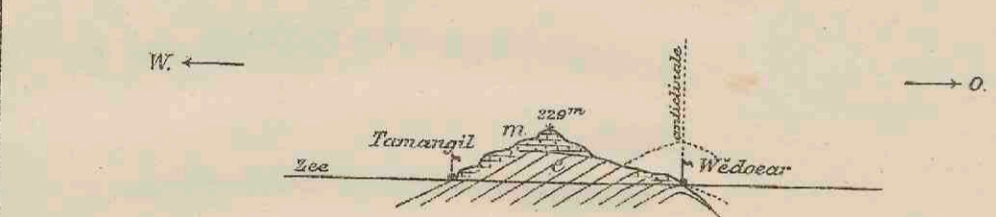


Fig. 508. Doorsnede van Groot-Kei, van Tamangil naar Wedoear. Horizontale schaal 1:150,000. Vertikale schaal 4:150,000.

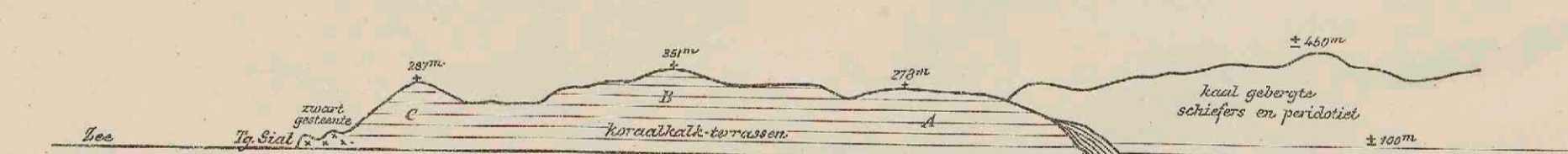
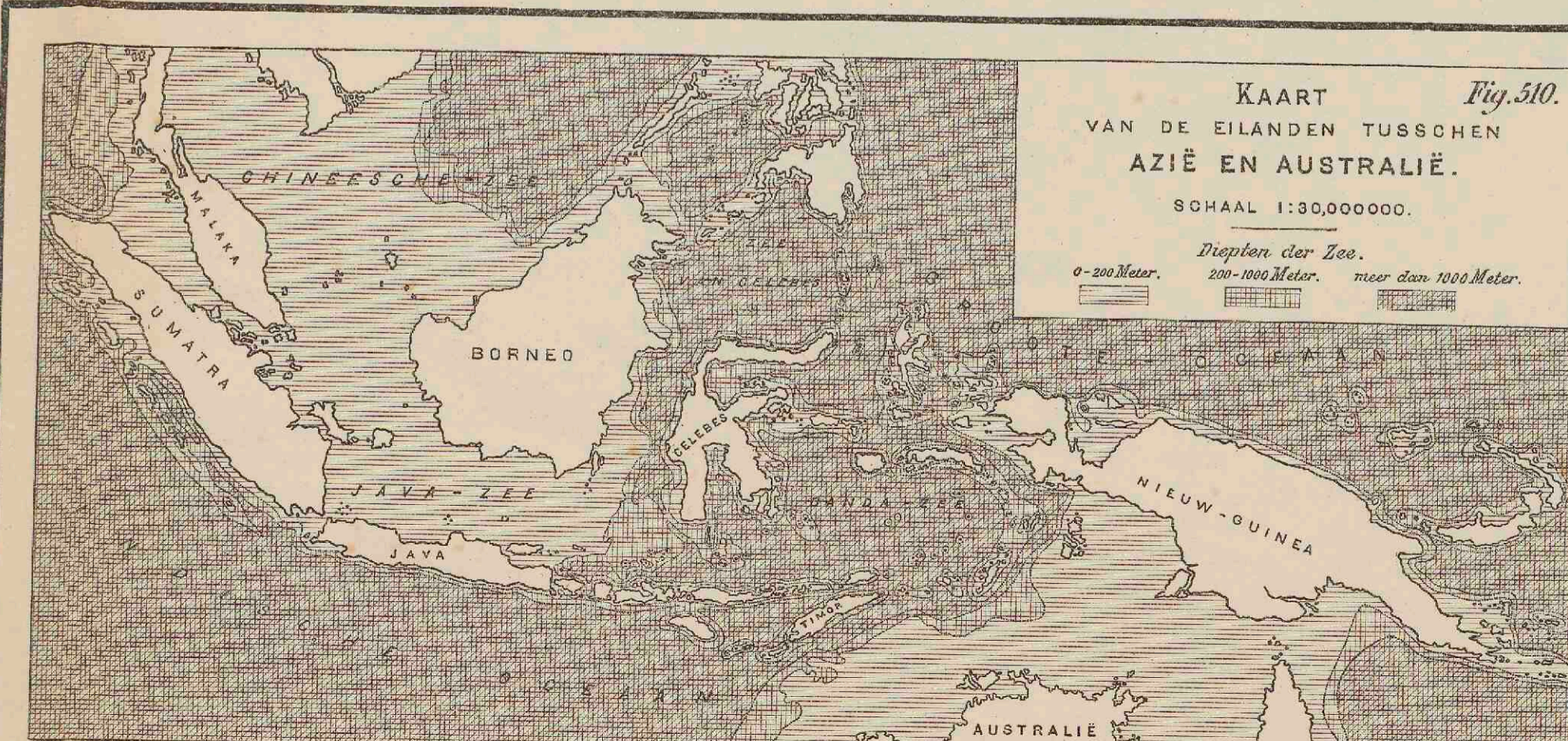


Fig. 509. Koraalkalkbergen in het Zuidelijke gedeelte van Hoamoel (West-Ceram), Schets.



KAART VAN DE EILANDEN TUSSEN AZIË EN AUSTRALIË. SCHAAFL 1:30,000,000. Diepten der Zee. 0-200 Meter. 200-1000 Meter. meer dan 1000 Meter.

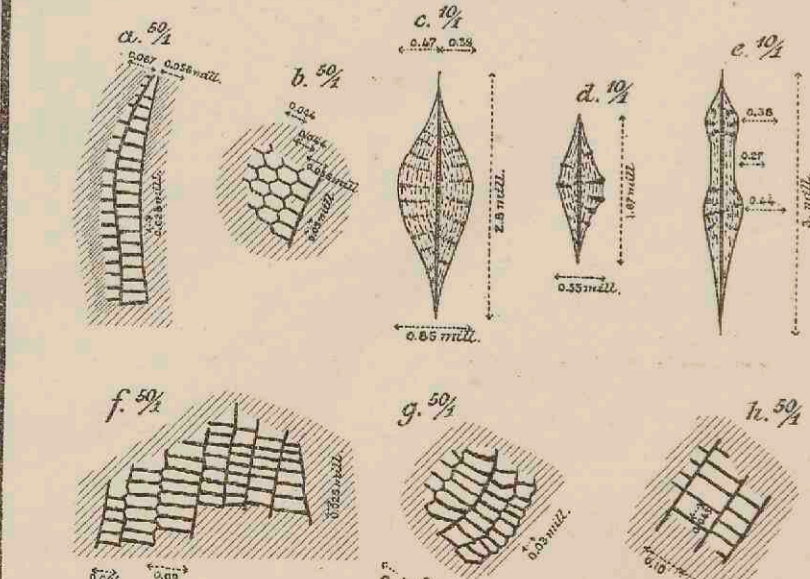


Fig. 511. a, b. Mediana-kamers van discocyclinen uit mergelkalk N°126 van Groot-Kei. c, d, e. Dwarsovernamen van discocyclinen uit mergelkalk N°126 van Groot-Kei. f, g, h. Mediana-kamers van discocyclinen uit mergelkalk N°115 van Groot-Kei. Vergrooting der figuren a, b, f, g, h. 2x, c, d, e. 4x.

